

UNIVERSIDAD NACIONAL AUTÓNOMA DE MÉXICO POSGRADO EN CIENCIAS BIOQUÍMICAS

"Desarrollo de un protocolo computacional para el diseño automatizado de oligonucleótidos a ser utilizados en ensayos de identificación altamente específica y sensible de muestras clínicas de *Candida glabrata* y otros organismos patógenos".

TESIS

QUE PARA OPTAR POR EL GRADO DE: Maestro en Ciencias Bioquímicas

PRESENTA: JUAN MANUEL SÁNCHEZ CONTRERAS

Tutor principal: Dr. Enrique Merino Pérez Instituto de Biotecnología - UNAM

Comité Tutorial:
Dra. Irene Beatriz Castaño Navarro
Instituto Potosino de Investigación Científica y Tecnológica A.C.

Dr. Víctor Manuel González Zúñiga Centro de Ciencias Genómicas – UNAM

CIUDAD DE MÉXICO, Mayo 2024





UNAM – Dirección General de Bibliotecas Tesis Digitales Restricciones de uso

DERECHOS RESERVADOS © PROHIBIDA SU REPRODUCCIÓN TOTAL O PARCIAL

Todo el material contenido en esta tesis esta protegido por la Ley Federal del Derecho de Autor (LFDA) de los Estados Unidos Mexicanos (México).

El uso de imágenes, fragmentos de videos, y demás material que sea objeto de protección de los derechos de autor, será exclusivamente para fines educativos e informativos y deberá citar la fuente donde la obtuvo mencionando el autor o autores. Cualquier uso distinto como el lucro, reproducción, edición o modificación, será perseguido y sancionado por el respectivo titular de los Derechos de Autor.

Reconocimientos

Esta tesis se realizó en el Grupo de Genómica Computacional del Instituto de Biotecnología - UNAM y recibió financiamiento del proyecto FORDECYT-PRONACES/610281/2020 "Plasticidad genómica de aislados clínicos secuenciales del hongo patógeno de humanos *Candida glabrata*: consecuencias para la resistencia a antifúngicos y la capacidad de adhesión" a cargo de los siguientes doctores:

- Dra. Irene Castaño Navarro Instituto Potosino de Investigación

Científica y Tecnológica A.C.

- Dra. Rosa Areli Martínez Gamboa Instituto Nacional de Nutrición

Salvador Zubirán

- Dr. Enrique Merino Pérez

Instituto de Biotecnología – UNAM

Los resultados experimentales de la identificación específica de *Candida glabrata* mediante ensayos de PCR usando los oligos diseñados con el programa desarrollado en esta tesis, y que se muestran en el Apéndice 1, fueron realizados por el **Dr. Marco Josué Hernández Chávez**, a quien le agradezco por permitirme incluir dichos resultados en mi tesis. Dicho trabajo experimental fue realizado en el laboratorio de la Dra. Irene Castaño Navarro.

Agradecimientos

Este trabajo está dedicado a:

Juan Manuel Sánchez Valencia, mi padre, una persona que admiro, que me ha apoyado en las dificultades que he enfrentado a lo largo de mi vida, de forma inconmensurable; despertando mi interés en el estudio de la carrera de derecho y litigar como el lo hace.

María Angélica Contreras González, mi madre, la persona que siempre ha dedicado su tiempo a mi progreso, con su sostén, inquebrantable templanza y enorme cariño, siempre ha sido de las personas más importantes en mi vida.

Mis hermanas **Laura**, **Lorena y Marisol**, ejemplo a seguir y personas sensatas, empáticas y que me han brindado útiles consejos a lo largo de este camino, es un honor estar a su lado en este camino de la vida.

Al amor de mi vida **Patricia Armas**, que me alentó desde el comienzo de la maestría, siendo una gran persona que ha creído siempre en mí, algo que siempre le agradeceré, además de haber construido su vida y futuro conmigo.

A grandes amigos Jorge, Mario, Elías, Jorge Luis, Nayeli, Alejandro, Eva, Tasia, Tere, Thalía, Sarita, Maricruz, Inocencio, Vero, que han hecho este período de estancia en Ciencias Bioquímicas, un tiempo muy grato y han contribuido a mi crecimiento emocional y profesional.

Una persona que merece una mención especial es el **Dr. Enrique Merino Pérez**, gran investigador e increíble persona, que me guió a lo largo de un proyecto que significaba mucho para mí, me encontraba en una situación difícil post pandemia, el confió en mí, por lo cual toda la vida le estaré agradecido enormemente, siendo un gran guía académico y personal.

Índice General

ABREVIATURAS7
ÍNDICE DE FIGURAS
ÍNDICE DE TABLAS10
RESUMEN1
INTRODUCCIÓN1
I. Candida glabrata1:
II. Clasificación Filogenética de Candida glabrata14
III. Patogenicidad de Candida glabrata y otros organismos de la clase Saccharomycetes1
IV. Características genómicas asociadas a la virulencia dentro del género Nakaseomyces2
IV.1 Expansión y diversificación de los genes que codifican para adhesinas y otras proteínas de pared celular en <i>C. glabrata</i> 23
IV.2 Incremento en la capacidad de la formación de biopelículas26
IV.3 Nivel de resistencia a varios tipos de estrés26
IV.4. Sobreexpresión de enzimas con actividad hidrolítica28
IV.5. Reducción del genoma29
V. Mutaciones de Candida glabrata que favorecen su resistencia a antifúngicos3
VI. Aspectos de diferenciación y similitud entre Candida glabrata con Candida albicans3
VII. Diagnóstico molecular. La importancia de contar con un método rápido, sensible y específico
JUSTIFICACIÓN43
HIPÓTESIS43
OBJETIVO44
OBJETIVOS PARTICULARES4
METODOLOGÍA45
Estrategia general de análisis4
I. Análisis de la frecuencia absoluta de todas las posibles palabras dentro de la secuencia genómica40
II. Análisis de las propiedades termodinámicas de los potenciales oligonucleótidos para el ensavo de amplificación por PCR

II.1. Recursos bioinformáticos para el diseño de oligonucleótidos47
II.2. Aspectos relevantes en el diseño de oligonucleótidos49
II.2.1. Longitud del oligonucleótido
II.2.2. Contenido de G/C del oligonucleótido50
II.2.3. Composición de nucleótidos en el extremo 3´50
II.2.4. Temperatura de fusión (Tm)51
II.2.5. Ecuación de Wallace51
II.2.6. Método de vecinos cercanos de (Nearest- Neighbor)51
II.2.7. Entalpía52
II.2.8. Entropía
II.2.9. Energía Libre de Gibbs (ΔG)53
II.2.10. Formación de dímeros53
II.2.11. Concentración de los Iniciadores53
II.2.13. Concentración de la DNA Polimerasa54
II.2.14. Factores que pueden modificar la fidelidad de la enzima DNA polimerasa54
II.2.15. Aditivos usados en la reacción de amplificación por PCR54
II.2.16. Recomendaciones generales para la reacción de amplificación por PCR54
RESULTADOS56
I. Análisis de la frecuencia absoluta de todas las posibles palabras dentro de la secuencia genómica
I.1. Obtención de secuencias genómicas de organismos de estudio56
I.2. Identificación de regiones altamente repetidas en el genoma de <i>C. glabrata</i> a partir de la frecuencia de palabras (k-meros)
I.3. Identificación de secuencias satélites en el genoma de C. glabrata60
I.4. Cálculo de frecuencias de palabras vecinas de los k-meros más frecuentes65
I.5. Índice de visibilidad relativa67
II. Análisis de las propiedades termodinámicas de los potenciales oligonucleótidos para el ensayo de amplificación por PCR
II.1 Efecto del contenido de G/C en la energía libre de hibridación de los oligonucleótidos71
II.B. Resultados representativos para un par de oligos identificados en el proceso de análisis

con el genoma de <i>C. glabrata</i>	
II.3. Organismos de estudio considerados como control negativo	
II.4. Descripción del programa de análisis 79	
II.D.1. Subrutina lee_parametros 79	
II.D.2. Subrutina lee_genoma81	
II.D.3. Subrutina reverso_complementario82	
II.D.4. Subrutina calcula_frecuencia_de_palabras82	
II.D.5. Subrutina analiza_palabras_repetidas82	
II.D.6. Subrutina identifica_posiciones83	
II.D.7. Subrutina seleccion_de_oligos_izquierdos_con_GC_en_extremo_3p83	
II.D.8. Subrutina calculo_de_la_TM_oligo_DNA84	
II.D.9. Subrutina identifica_el_valor_cutoff_DeltaG84	
II.D.10. Subrutina analisis_autocomplementariedad85	
II.D.11. Subrutina seleccion_de_oligos_derechos_con_GC_en_extremo_5p85	
II.D.12. Subrutina analisis_complementariedad_entre_oligos86	
II.D.13. Subrutina analisis_compatibilidad_DeltasG_entre_oligos86	
II.D.14. Subrutina busca_matches	
II.D.15. Subrutina hibrida_5p 87	
Subrutina hibrida_3p 87	
Programa RNAcofold87	
Subrutina compila_y_escribe_resultados_finales88	
II.E. Ensayos de amplificación de productos de PCR específicos de C. glabrata88	
CONCLUSIONES89	
PERSPECTIVAS90	
Apéndice 1. Resultados de ensayos de amplificación de productos de PCR específicos de C. glabrata realizados por el Dr. Marco Josué Hernández Chávez del laboratorio de la Dra. Irene Castaño del IPICYT94	
Apéndice 2. Lista de organismos considerados en el estudio97	
REFERENCIAS BIBLIOGRÁFICAS107	7

Abreviaturas

BSA: Medio de cultivo Bovino Serum Albúmina

BSI: Infección del torrente sanguíneo, por sus siglas en inglés

CgPdr1: Factor de transcripción de C. glabrata estructurado por racimos de zinc

CWP: Proteínas de pared celular, por sus siglas en inglés

CTG: Codón que codifica a la leucina diferenciando a C. glabrata de S. cerevisiae

dATP: Desoxiadenosíntrifosfato

DMSO: Acrónimo de dimetilsulfóxido

DNA: Ácido desoxirribonucleico, por sus siglas en inglés.

EPA: Adhesina epitelial

GPI: Glicosil-fosfatidil-inositol

HASH: Estructura de datos que relaciona a cada llave un valor dentro de un diccionario

ITS: Espaciador transcrito interno, por sus siglas en inglés

KEEG: Enciclopedia de genes y genomas de Kyoto

KMERO: Subcadenas de longitud K contenidas dentro de una secuencia biológica.

μM: Micrómetro

MSH2: Gen que da origen a una proteína que participa en reparación de DNA

NAD+: Nicotinamida adenina dinucleótido

PAMPS: Patrones moleculares asociados a patógenos

PCR: Reacción en cadena de la polimerasa

Python: Lenguaje de alto nivel de programación

QTL'S: Locus de caracteres cuantitativos

RFLP: Fragmentos de restricción de longitud polimórfica

RAPDS: Amplificación aleatoria de DNA polimórfico

SNP: Polimorfismo de nucleótido único

SSR: Marcador genético para análisis de levaduras

TRP: Canal iónico de potencial receptor transitorio, presente en levaduras

Tm: Temperatura de fusión, que representa la temperatura en la cual se separan el

50% de las dos hebras complementarias de un oligonucleótido

VNTR: Secuencias repetitivas que aparecen en múltiples zonas del genoma, organizando bloques dispersos de repeticiones en tándem.

Índice de Figuras

Figura 1	Relaciones filogenéticas entre <i>C. glabrata</i> y las otras especies de organismos de la clase Saccharomycetes	15
Figura 2	2. Distribución mundial de incidencia de las especies de la clase Saccharomycetes	20
Figura 3	Arbol Filogenético del género Nakaseomyces y posibles eventos relevantes que definen sus principales grupos	22
Figura 4	Estructura de la pared del celular de las levaduras del género Nakaseomyces	24
Figura 5	. Distribución filogenética de la familia de adhesinas en el género Nakaseomyces	25
Figura 6	Factores relacionados con la patogenicidad de C. glabrata	29
Figura 7	. Representación esquemática de familias genéticas específicas en el clado Nakaseomyces	31
Figura 8	B. Detección de un Polimorfismos de un solo nucleótido (SNP)	36
Figura 9	. Polimorfismo de Longitud de Fragmentos de Restricción (PCR-RFLP)	38
Figura 1	Principales tipos de marcadores de DNA y su principal uso en la identificación de C. glabrata	41
Figura 1	1. Principales tipos de marcadores de DNA y oligonucleótidos en <i>C. glabrata</i>	42
Figura 1	2. Portal web de OligoAnalyzer para el diseño de oligonucleótidos	48
Figura 1	3. Portal web de GenScript para el diseño de oligonucleótidos	48
Figura 1	4. Portal de Thermo Fisher para el diseño de oligonucleótidos	49
Figura 1	5. Diseño de Oligonucleótidos para la identificación de microsatélites	50
Figura 1	6. Ejemplo del cálculo de entalpía	52
Figura 1	7. Ejemplo del cálculo de entropía	53
Figura 1	8. Cálculo de frecuencias absolutas de palabras mediante el uso de estructuras Hash	57
Figura 1	9. Cálculo de la frecuencia esperado de k-meros en función de su longitud, considerando una secuencia del tamaño del genoma de <i>C. glabrata</i>	58
Figura 2	0. Evaluación de k-meros más frecuentes en el genoma de C. glabrata	59
Figura 2	1. Cálculo de la distancia entre palabras repetidas en el genoma de <i>C. glabrata</i> que pudieran indicar la presencia de secuencias satélites	60
Figura 2	2. Palabras más frecuentes equidistantes en el genoma de C. glabrata	61
Figura 2	3. Análisis de palabras que equidistan 300 nucleótidos en el genoma de C. glabrata	62

Figura 24	. Análisis de palabras que equidistan 141 nucleótidos en el genoma de C. glabrata	63
Figura 25	. Análisis de palabras que equidistan 450 nucleótidos en el genoma de <i>C. glabrata</i>	64
Figura 26	. Representación del cálculo de frecuencias de palabras vecinas	67
Figura 27	. Evaluación del <i>índice de la visibilidad relativa</i> para dos k-meros que se repiten 41 veces en el genoma de <i>C. glabrata</i>	70
Figura 28	. Efecto del contenido de G/C de oligos en su energía libre de hibridación	72
Figura 29	. Tipos de complementariedad de oligos y su compatibilidad para la amplificación en ensayos de PCR	73
Figura 30	Ejemplo de la salida final del programa del diseño automatizado de oligonucleótidos a ser usados en ensayos de amplificación específica por PCR	77
Figura 31	Diagrama de flujo para la identificación de K-meros frecuentes en secuencias genómicas y el diseño de oligonucleótidos considerando el análisis termodinámico de sus propiedades	80
Figura 32	. Página web para el diseño de óptimo de oligonucleótidos a ser usados en ensayos de identificación de organismos específicos	90
Figura 33	. Productos de la reacción de PCR utilizando los oligos # 1 y # 2 utilizando DNA genómico de <i>C. glabrata</i> y especies relacionadas	92
Figura 34	. Productos de la reacción de PCR utilizando los oligos # 3y # 4 utilizando DNA genómico de <i>C. glabrata</i> y especies relacionadas	92
Figura 35	. Productos de la reacción de PCR utilizando los oligos # 15 y # 16 utilizando DNA genómico de <i>C. glabrata</i> y especies relacionadas	93

Índice de Tablas

Tabla 1.	Acrónimos y funciones de las familias de genes de la Figura 8	31
Tabla 2.	Porcentaje de similitud de secuencia de nucleótidos de genes de <i>C. dubliniensis</i> a las secuencias correspondientes de microarreglos de <i>C. albicans</i>	40
Tabla 3.	Evaluación del <i>índice de la visibilidad relativa</i> de las palabras más frecuentes en el genoma de <i>C. glabrata</i>	
Tabla 4.	Organismos de estudio considerados como control negativo	78
Tabla 5.	Lista de oligonucleótidos elegidos en el ensayo de identificación de <i>C. glabrata</i> mediante la amplificación por PCR	91
Tabla 6.	Condiciones para las reacciones de PCR en el ensayo de identificación de <i>C. glabrata</i> usando los pares de oligos 1-2, 3-4 así como 15-16	91

Resumen

Las infecciones fúngicas se han vuelto cada vez más frecuentes en los hospitales de todo el mundo, por el aumento de la aparición de ecotipos resistentes a antimicrobianos que se originan principalmente por el incremento de pacientes con sistemas inmunológicos severamente comprometidos. Dentro de estas infecciones micóticas, de particular preocupación son las infecciones del torrente sanguíneo (BSI, por sus siglas en inglés), algunas causadas por varias especies del género *Nakaseomyces*, anteriormente denominado *Candida* (candidemia). Estas infecciones están asociadas con altas tasas de mortalidad en hospitales (~ 30 a 70%) y representan la cuarta causa más común de infecciones hematógenas (se propagan vía sanguínea) en las unidades de cuidados intensivos en los E.E.U.U. (Casadevall *et al.*, 2018).

En México, las infecciones del torrente sanguíneo (BSI, por sus siglas en inglés) causadas por el género *Nakaseomyces* representan casi el 4% de las infecciones nosocomiales, con una tasa de mortalidad que oscila entre el 35% y el 45% (Corzo-León, et al., 2014). Aproximadamente el 90% de las candidemias son provocadas por cuatro especies: *Candida albicans*, *Candida glabrata*, *Candida parapsilosis* y *Candida tropicalis*. Es importante destacar que cada una de estas especies presenta diferentes niveles de susceptibilidad a los distintos antifúngicos disponibles en el ámbito clínico. Por lo tanto, el diagnóstico preciso de la especie causante de la candidemia es crucial para el tratamiento efectivo.

Actualmente, los métodos clínicos de detección más comunes se basan en ensayos de reacción en cadena de la polimerasa (PCR, por sus siglas en inglés, Polymerase Chain Reaction) (Mullis *et al.*, 1986). Estos ensayos generalmente utilizan oligonucleótidos específicos de regiones variables entre las distintas especies, como las regiones espaciadoras transcritas internas (ITS) del arreglo de genes que codifican diferentes genes RNA ribosomales o polimorfismos específicos de especies. Sin embargo, la sensibilidad y especificidad alcanzadas por estos análisis suelen ser moderadas, y una desventaja adicional es el tiempo requerido para la realización del ensayo, lo que resulta en la obtención tardía de los resultados.

La presente tesis se enmarca en el proyecto de investigación titulado "Plasticidad genómica de aislados clínicos secuenciales del hongo patógeno de humanos *Candida glabrata*: consecuencias para la resistencia a antifúngicos y la capacidad de adhesión", financiado por FORDECYT-PRONACES/610281/2020. Tiene como objetivo desarrollar una metodología que permita el diseño óptimo de oligonucleótidos dirigidos a regiones específicas del genoma de *C. glabrata* que estén altamente repetidas, facilitando su detección mediante ensayos de PCR con alta sensibilidad y especificidad.

Es importante destacar que los principios utilizados en el desarrollo de nuestra metodología no se limitan exclusivamente a *C. glabrata*. Por lo tanto, nuestro método de diseño de oligonucleótidos puede ser aplicado para la detección de diversos organismos de interés en cualquier tipo de muestra.

Introducción

I. Candida glabrata

Los hongos, pertenecientes al reino Fungi, exhiben una enorme diversidad, con más de 1,5 millones de especies estimadas. Sin embargo, solo una pequeña porción de ellas es patógena para el ser humano (David *et al.*, 2001). Un ejemplo claro de importancia clínica por su potencialidad para causar enfermedades en el humano es el hongo *Candida glabrata*.

C. glabrata se nombró por primera vez como Cryptococcus glabratus y se describió en 1917 como un componente de la flora intestinal humana (Anderson et al., 1917; revisado en Bolotin-Fukuhara et al., 2014). Años más tarde, fue identificada como la fuente de varias infecciones denominadas Cryptococcus glabratus (Plaut et al., 1950) o Torulopsis glabrata (Grimley et al., 1965). A finales de la década de 1980, fue denominada Candida glabrata, y más recientemente, fue renombrada como Nakaseomyces glabratus.

C. glabrata es una especie de hongo unicelular que forma parte del género Nakaseomyces y está ampliamente distribuida, tanto en el medio ambiente, como en el cuerpo humano. C. glabrata es considerada un organismo comensal, ya que normalmente coexiste con su hospedero sin causar enfermedades. Sin embargo, C. glabrata puede transformarse en un patógeno oportunista y desencadenar infecciones graves, como la candidiasis invasiva, la candidemia en determinadas circunstancias, como en el caso de personas con sistemas inmunológicos debilitados, pacientes con VIH/SIDA o pacientes oncológicos sometidos a quimioterapia, receptores de trasplantes, personas mayores o niños prematuros recién nacidos y pacientes hospitalizados que están conectados a dispositivos médicos invasivos, como catéteres venosos centrales o sondas urinarias, o bien, pacientes que han tomado antibióticos por períodos de tiempos muy largos.(Brown et al., 2012)

El término candidiasis es usado *de facto* y por semántica, para designar una infección por hongos, cuya etiología sea cualquier tipo de levadura del género Nakaseomyces. Estas infecciones pueden afectar varias superficies o mucosas del cuerpo,

se encuentra comúnmente en la piel, en el tracto gastrointestinal y en el tracto genitourinario, o pueden volverse invasivas y llegar a los órganos internos, a través del torrente sanguíneo y diseminarse por todo el cuerpo, en cuyo caso la infección se llama candidemia. (Ghannoum *et al.*, 2010).

II. Clasificación Filogenética de Candida glabrata

Según el Centro Nacional de Información Biotecnológica (NCBI, por sus siglas en inglés) (https://www.ncbi.nlm.nih.gov/taxonomy) de los Institutos Nacionales de Salud (NIH), *C. glabrata* se puede clasificar taxonómicamente de la siguiente manera: **Superreino**: Eucariota, **Reino**: Fungi, **Filo**: Ascomycota, **Clase**: Saccharomycetes, **Orden**: Saccharomycetales, **Familia**: Saccharomycetaceae y **Género**: Nakaseomyces.

Con el propósito de ubicar evolutivamente a *C. glabrata* con otras especies pertenecientes al orden Saccharomycetales, Gabaldón y colaboradores realizaron un estudio filogenético usando las secuencias de 603 proteínas ortólogas comunes entre los organismos de este clado filogenético. Dichas secuencias fueron concatenadas y alineadas para su comparación usando el método de Máxima verosimilitud implementado en el programa phyML (Gabaldón *et al.*, 2013). El resultado de dicho estudio se muestra en la Figura 1.

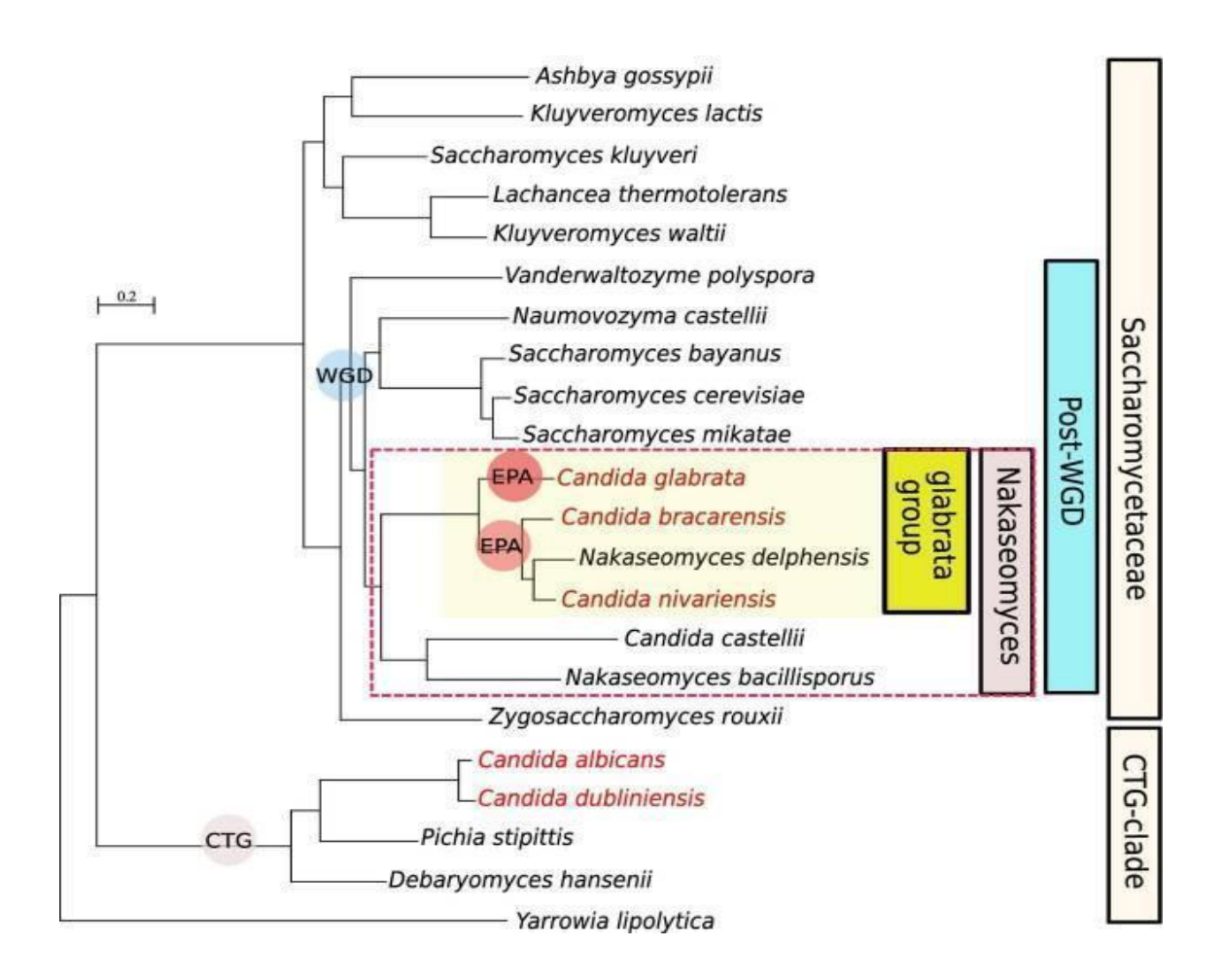


Figura 1. Relaciones filogenéticas entre C. glabrata y las otras especies de organismos de la clase Saccharomycetes. El árbol filogenético de la figura se construyó mediante la alineación concatenada de 603 genes ortólogos y comunes a organismos de la clase Saccharomycetes. Los genes ortólogos se identificaron utilizando el algoritmo de búsqueda de Smith-Waterman, con un valor de corte de 0.00001 y considerando únicamente aquellas secuencias cuya región de similitud abarcara al menos el 50% respecto a la secuencia de consulta. La construcción del árbol se llevó a cabo utilizando el método de Máxima Verosimilitud, implementado en el programa PhyML. En el rectángulo azul se agrupan los Nakaseomyces y otros integrantes del género Nakaseomyces. Las letras "WGD" dentro de un círculo azul representan el evento de la duplicación del genoma completo en algunos Saccharomycetes. Estos organismos comparten el evento de duplicación de los genes de adhesinas de la pared celular (EPA), representados mediante círculos rojos. Los nombres en rojo indican patógenos fúngicos de humanos. Las letras "CTG" dentro de un círculo café indican una transición del código genético, en donde el codón CTG codifica el aminoácido serina en lugar de leucina, como es comúnmente codificado en la mayoría de los organismos. Para la construcción del árbol se utilizó como grupo externo al hongo Yarrowia lipolytica (Tomado del artículo de Gabaldón et al., 2016).

En el árbol de la Figura 1 se identifican dos grandes ramas en las que se dividen los organismos de la clase Saccharomycetes: En la primera rama se agrupan los organismos de la familia Saccharomycetaceae, mientras que la segunda rama corresponde al grupo CTG.

La primera de las ramas de la clase Saccharomycetes correspondiente a la familia Saccharomycetaceae se divide a su vez en dos ramas. En la primera de ellas se encuentran levaduras como *Ashbya gosspii, Saccharomyces kluyveri, Lachancea thermotolerans, Kluyveromyces waltii y Kluyveromyces lactis.* Éste último, es considerado como un organismo modelo y ha sido ampliamente estudiado debido a su relevancia biotecnológica y a su fácil manipulación genética. *K. lactis* se encuentra comúnmente en productos lácteos fermentados, donde desempeña un papel importante en la producción de sabores y texturas características. Además, es capaz de fermentar la lactosa, lo que la hace útil para la producción de productos lácteos libres de este azúcar. Adicionalmente, la capacidad de secreción de *K. lactis* ha sido utilizada para el desarrollo de sistemas de producción de proteínas recombinantes que pueden ser eficientemente secretadas al medio. Desde el punto de vista básico, la regulación genética y la biología del desarrollo de *K. lactis* han sido estudiadas por décadas y son bien conocidas.

Los organismos de la segunda rama en la que se divide la familia Saccharomycetaceae se caracterizan por haber sufrido un evento de duplicación que abarcó la totalidad de sus genomas, evento que se calcula haya sucedido hace 100 a 200 millones de años, aunque ahora se propone que este ancestro fue una especie híbrida (Wolfe et al., 1997; Marcet-Houben et al., 2015) (Figura 1, indicado por el círculo azul, con las letras WGD, o Whole Genome Duplication y por el rectángulo de color azul aqua con la leyenda Post-WGD). Los organismos pertenecientes a esta segunda rama de la familia Saccharomycetaceae a su vez se subdividen en dos grupos. En el primero de ellos se ubican diversas especies de la clase Saccharomyces, como Saccharomyces bayanus, Saccharomyces mikatae y Saccharomyces cerevisiae. Esta última especie es ampliamente conocida por su utilización en la elaboración del pan y de la cerveza y porque es uno de los organismos eucariontes modelo para el cual se han desarrollado un gran conjunto de técnicas de biología molecular, por lo que ha sido ampliamente estudiada. Los organismos

de la segunda de las ramas en la que se divide la familia Saccharomycetaceae pertenecen al género Nakaseomyces (Kurtzman et al., 2003), entre los cuales se encuentran diversas especies del género Candida, tales como, Candida glabrata, Candida bracarensis, Candida nivariensis, Nakaseomyces delphensis, Candida castellii y Nakaseomyces bacillisposrus. Recientemente, debido a su inclusión en este clado, C. glabrata ha sido renombrada como Nakaseomyces glabratus (Takashima et al., 2022), sin embargo, para evitar confusiones y dada su relevancia clínica, el nombre de Candida glabrata sigue usándose como referencia.

Por otra parte, la segunda rama de la familia Saccharomycetaceae está conformada por organismos del grupo denominado CTG. El nombre de este grupo ha sido asignado debido a que los organismos que lo conforman comparten la característica de que el codón CTG codifica al aminoácido serina, a diferencia de la mayoría de los organismos en el que dicho codón codifica al aminoácido leucina. En este grupo se encuentran especies de levaduras tales como *Candida albicans*, *Candida dubliniensis*, *Pichia stipttis*, y *Debaryomyces hansenii* (Figura 1).

III. Patogenicidad de *Candida glabrata* y otros organismos de la clase Saccharomycetes

La virulencia se define como la capacidad de un organismo de causar una enfermedad en un hospedero determinado. Por tanto, la virulencia microbiana es necesariamente el resultado de una interacción específica entre el hospedero y el microorganismo, y los cambios en el hospedero en el microorganismo pueden afectar el grado de virulencia. Además, la virulencia puede considerarse una propiedad emergente (Casadevall *et al.*, 2011). Esta interacción entre los organismos patógenos y sus hospederos depende en gran medida, si estos son especializados u oportunistas. En el caso de los patógenos especializados, las interacciones forman parte intrínseca de su ciclo de vida. Por el contrario, en el caso de los patógenos oportunistas, la virulencia tiende a manifestarse principalmente cuando el hospedero está debilitado y se presentan condiciones propicias para su adaptación y proliferación. No obstante, estas interacciones

suelen ocurrir con frecuencias inferiores a las necesarias para que los rasgos adaptativos estén sujetos a selección en el contexto de toda la población y la historia evolutiva de una especie dada. Por lo anterior, es difícil considerar la virulencia en patógenos oportunistas como un fenotipo adaptativo *per se* (Cui *et al.*, 2013). En este mismo sentido, es común que en especies que interactúan regularmente con el hospedero, como los comensales, la selección actúe para atenuar la virulencia en condiciones regulares, porque la supervivencia del hospedero está vinculada a la supervivencia del comensal. Además, en patógenos oportunistas, podemos considerar la virulencia como un fenotipo mayoritariamente latente, que sólo se expresa en infecciones bajo condiciones particulares. (Arendrup *et al.*, 2012).

Muchas especies de la clase Saccharomycetes son importantes patógenos oportunistas en humanos y otros organismos, lo que las convierte en objeto de estudio en microbiología médica y biología molecular. Ejemplo de dichos organismos son los mostrados con letras en color rojo de la Figura 1. La candidiasis es un tipo de infección causada por este tipo de organismos y representa aproximadamente el 85% de todas las infecciones fúngicas invasivas, por lo que se considera una seria amenaza para la vida, particularmente en individuos inmunodeprimidos, con tasas de mortalidad que alcanzan el 46% -75% (Mayer et al., 2013). Se han identificado más de 20 especies de *Candida* que pueden causar candidiasis, aunque la incidencia varía mucho de una especie a otra. Entre éstas, las más relevantes por su distribución mundial son: *Candida albicans*, *C. glabrata*, *Candida tropicalis* y *Candida parapsilosis*.

Durante mucho tiempo se creyó que *C. glabrata* era la única especie patógena entre las Saccharomycetaceae, postulando que su patogenicidad surgió como una discontinuidad drástica en términos evolutivos debido a la duplicación total de su genoma. (Jones *et al.*, 2004). En general, la información sobre el hábitat y la ecología de las diversas especies que componen la familia Saccharomycetaceae es escasa. La única información disponible se deriva de sus aislamientos: *C. castellii* fue encontrado en una muestra de suelo ácido en un pantano de pinos en Finlandia (Capriotti *et al.*, 1961), *N. delphensis* fue aislado de un depósito de higos secos en Sudáfrica, y *N. bacillisporus* fue aislado de exudados del roble rojo de Emory en Arizona, EE. UU. (Kurtzman *et al.*, 2011). Esta primera información llevó a asociar al estilo de vida ambiental de los organismos del clado Saccharomycetaceae con

plantas, alimentándose de fuentes frutales y dispersándose por insectos, en lugar de considerarlos patógenos humanos. Sin embargo, poco después de definir el clado Nakaseomyces, se describieron dos nuevas especies dentro de este grupo a partir de muestras clínicas humanas: *C. nivariensis* (Alcoba-Flórez *et al.*, 2005) y *C. bracarensis* (Correia *et al.*, 2006) (Warren *et al.*, 2010). Inicialmente, estas especies se caracterizaron fenotípicamente, utilizando pruebas bioquímicas como CHROMagar, y mediante amplificación, secuenciación y análisis de los dominios D1/D2, que tienen una longitud de 600 nucleótidos y se localizan en el extremo 5' de la subunidad 26S del ADNr 26S, que permite la clasificación eficiente del reino Fungi (Kurtzmann *et al.*, 1991).

La identificación de C. nivariensis y C. bracarensis dentro del clado Saccharomycetaceae llevó a considerar la posibilidad de que varios aislamientos clínicos previamente clasificados como C. glabrata pudieran, en realidad, pertenecer a estas especies (Bishop et al., 2008; Lockhart et al., 2009). Aunque aún falta mucha información fenotípica sobre estos patógenos emergentes, los primeros análisis sugieren que estas especies también comparten algunos de los atributos de virulencia de C. glabrata, aunque en menor medida, lo que sugiere una incidencia considerablemente menor que la de C. glabrata (Moreira et al., 2015). Este nuevo panorama ha reducido el enfoque en la patogenicidad exclusiva de *C. glabrata*, por lo que se ha pensado que su origen podría estar en un clado ambiental que también incluye patógenos menos virulentos. Específicamente, la presencia de patógenos estrechamente relacionados con una virulencia intermedia hacia los humanos ha generado la idea de que pudiera existir un aumento gradual de la virulencia en diversas especies dentro del clado, tal y como se muestra en la Figura 2 (Kurtzman et al., 2011). Además, la capacidad que C. glabrata tiene para desarrollar resistencia a los antifúngicos comúnmente empleados complica su tratamiento y aumenta el riesgo de infecciones recurrentes y persistentes. Este fenómeno ha despertado un interés creciente en la comunidad científica por comprender mejor la biología, la patogénesis y los mecanismos de resistencia de *C. glabrata* y de otros hongos filogenéticamente cercanos, con el objetivo de desarrollar estrategias terapéuticas más efectivas y abordar eficazmente las infecciones fúngicas.

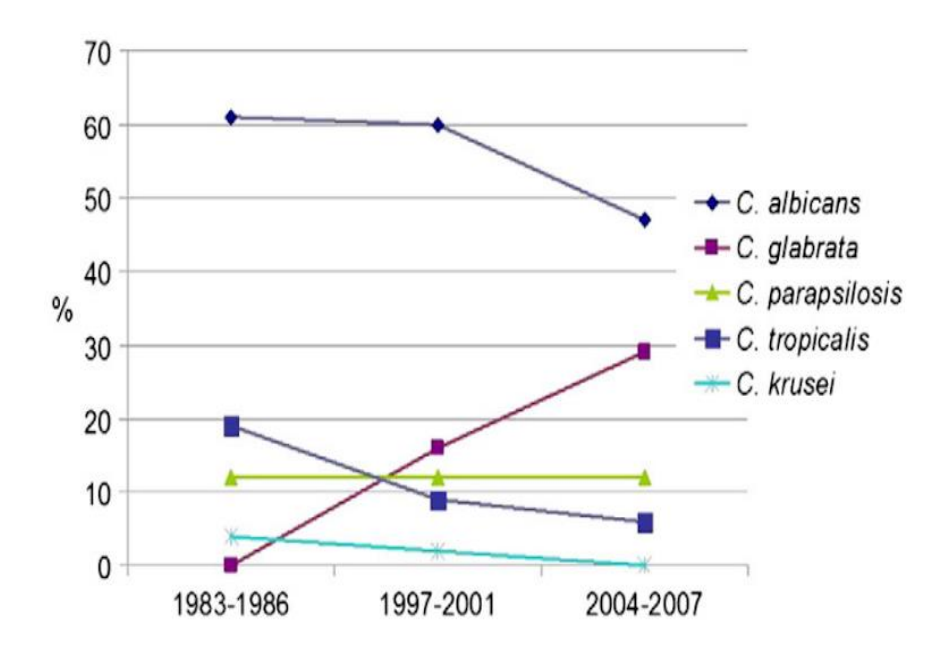


Figura 2. Distribución mundial de incidencia de las especies de la clase Saccharomycetes. Se aprecia el aumento de los casos de infección por *C. glabrata* desde su detección como patógeno de humanos (Tomado de Diekema *et al.*, 2012).

Las comparaciones de las secuencias genómicas de organismos patógenos y no patógenos del género Nakaseomyces permite identificar aquellos cambios potencialmente relacionados al surgimiento de la de virulencia, como son el aumento en la capacidad de adherencia y de generar biofilm (Kaur et al., 2005). Se ha propuesto que dichas propiedades existían en los organismos no patógenos de vida libre, pero que las mucosas de mamíferos pudieron haber ofrecido las condiciones idóneas para su crecimiento y el surgimiento de especies patógenas. En términos evolutivos, este proceso se conoce como exaptación, un término que indica que, un rasgo que se seleccionó inicialmente para un propósito determinado puede servir para otro completamente diferente, que en el caso del clado Nakaseomyces, es la patogenicidad. El hallazgo de otros patógenos cercanos a C. glabrata y la observación de que formaron un clado estrecho en el que tres de las cuatro especies conocidas pueden infectar a los humanos, aunque no son monofiléticos, sugiere que el grupo Glabrata comparte algunos antecedentes genómicos que predisponen al clado a la aparición de rasgos de virulencia. De los muchos rasgos que son relevantes para la patogénesis de *C. glabrata*, la adherencia se destaca como uno de los pasos importantes en el camino para convertirse en una especie con potencial patógeno. El hecho de que las

expansiones de los genes que codifican a las adhesinas hayan aparecido dos veces de forma independiente y que correspondan a linajes con especies patógenas refuerza la idea de que el cambio en las propiedades de adherencia, dado un trasfondo genómico apropiado, puede predisponer a las especies de este clado a convertirse en patógenos oportunistas (Ho *et al.*, 2015).

IV. Características genómicas asociadas a la virulencia dentro del género Nakaseomyces.

Con el propósito de tener una mejor idea de las características genómicas asociadas a la virulencia dentro del género Nakaseomyces, Gabaldón y colaboradores secuenciaron los genomas de dos especies patógenas de este clado, *Candida nivariensis* y *Candida bracarensis*, y tres no patógenas, *Nakaseomyces delphensis*, *Candida castellii* y *Nakaseomyces bacillisporus* (Gabaldón *et al.*, 2013). El análisis comparativo de las secuencias genómicas de estas especies en relación al de la secuencia genómica de *Saccharomyces cerevisiae* permitió identificar eventos de pérdida y ganancia de genes y funciones relacionadas que pudieran haber sido relevantes en la definición del género *Nakaseomyces*. Éstas se resumen de forma esquemática en la Figura 3.

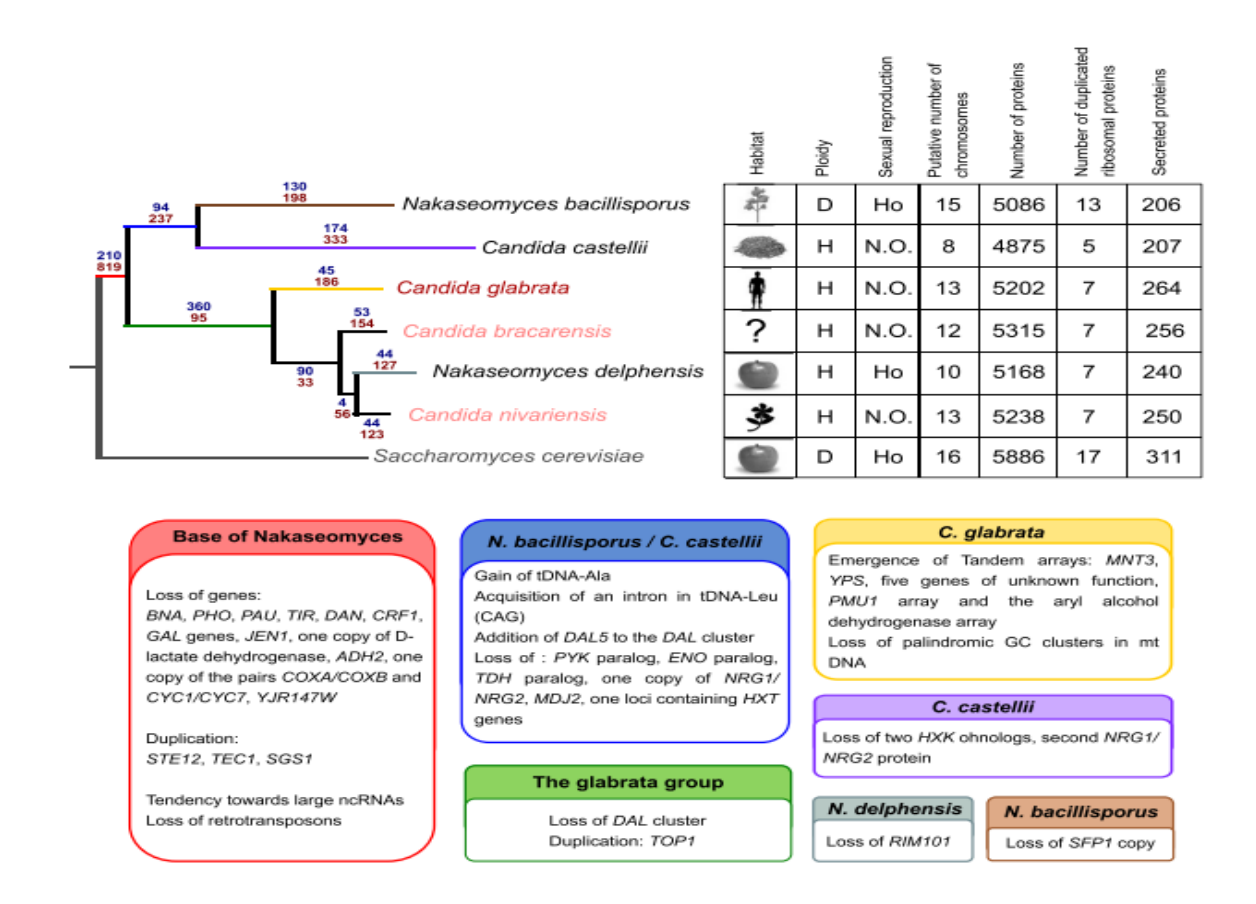


Figura 3. Árbol Filogenético del género Nakaseomyces y posibles eventos relevantes que definen sus principales grupos. Los nombres de las especies en colores rojo corresponden a patógenos de humano, mientras que los de colores más claros indican patógenos emergentes recientemente reportados. Los números azules indican los genes obtenidos durante la evolución del género de Nakaseomyces; los rojos indican el número de los genes perdidos. Los colores de las ramas del árbol corresponden al de los cuadrados en la parte inferior, que esquematizan eventos importantes en la evolución del género de Nakaseomyces. El árbol fue construido tomando en cuenta a *S. cerevisiae* como grupo externo (Tomada de Gabaldón *et al.*, 2013).

La mayoría de las personas sanas son portadoras de varios patógenos oportunistas de levadura como miembros normales de su microbiota (Cui *et al.*, 2013). La virulencia de los organismos del género de Nakaseomyces generalmente surge de alteraciones en las interacciones hospedero-microorganismo, principalmente iniciadas en el lado del hospedero. No obstante, dadas las mismas alteraciones en el lado del hospedero, algunas especies como *C. albicans* o *C. glabrata*, tienen una mayor probabilidad de causar enfermedades en comparación con otras levaduras coexistentes, dado el mismo contexto de alteraciones en el hospedero, lo que sugiere preguntar sobre el tipo de modificaciones y reordenamientos genómicos que subyacen el surgimiento de la virulencia en este grupo

filogenético (Arendrup *et al.*, 2012). Dentro de las diferencias más significativas identificadas al comparar el tipo de genes adquiridos y perdidos entre organismos patógenos y no patógenos se encuentran las siguientes:

IV.1. Expansión y diversificación de los genes que codifican para adhesinas y otras proteínas de pared celular en *C. glabrata*.

Una de las características asociadas a las especies patógenas del género Nakaseomyces es su capacidad de sobreexpresión de adhesinas. Las adhesinas son proteínas de superficie que las células microbianas utilizan para adherirse a diferentes tipos de superficies. En el caso de las levaduras, estas adhesinas desempeñan un papel crucial en la patogenicidad, incrementando su capacidad para colonizar y causar infecciones en los tejidos humanos, ya que pueden aumentar significativamente su capacidad para adherirse a las células hospedadoras o a los tejidos, lo que facilita la colonización y la formación de biofilm, que pueden proteger a las levaduras de los ataques del sistema inmunológico y de los tratamientos antimicrobianos (Groot et al., 2013; Fanning et al., 2012). Por ejemplo, en *C. albicans*, la sobreexpresión de adhesinas como Als3 ha sido asociada con una mayor capacidad de unión a las células epiteliales y a la formación de biofilm en mucosas (Arendrup et al., 2012), mientras que la lectina dependiente de calcio, *EPA1*, juega un papel relevante en la adhesión de *C. glabrata* a las células epiteliales y a los macrófagos (Kuhn et al., 2012).

Se ha determinado que la cepa de referencia de *C. glabrata* ATCC 200, posee aproximadamente 18 genes que codifican para proteínas de la pared celular (CWPs, por sus siglas en inglés), que incluye una señal de anclaje a la membrana a través del grupo glicosilfosfatidilinositol (GPI). (Hazen *et al.*, 1995). Estas proteínas son similares a las adhesinas y median en parte la virulencia y la adherencia a las células del hospedero. Las proteínas CWPs-GPI están compuestas por un dominio N-terminal de unión al ligando y una región de baja complejidad con repeticiones internas en tándem, rica en los aminoácidos serina y treonina, seguidas de un sitio de unión de anclaje de GPI en el extremo carboxilo (Groot *et al.*, 2013) (Figura 4).

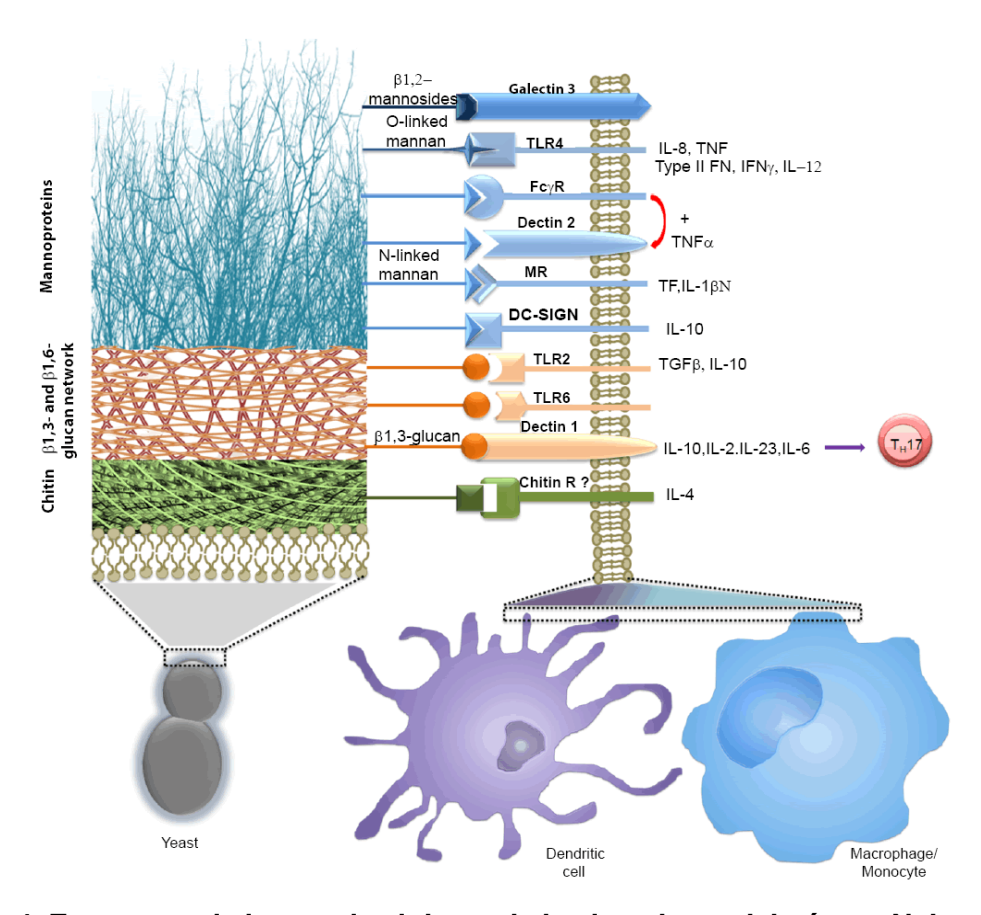


Figura 4. Estructura de la pared celular de las levaduras del género Nakaseomyces. Se muestran diversos elementos que conforman a la pared celular, como la quitina, manoproteínas y glucanos, entre otros. La pared celular desencadena la activación del sistema inmune como monocitos, macrófagos y células dendríticas, estimulando la producción de citocinas antiinflamatorias y proinflamatorias (Tomada de Pérez-García *et al.*, 2012).

En 2013, Gabaldón y colaboradores realizaron un estudio bioinformático para la identificación y comparación de los genes homólogos de los genes EPA de *C. glabrata* en los organismos del género Nakaseomyces. El estudio reveló que existe una correlación positiva entre el nivel de patogenicidad de las cepas y el número de genes EPA de sus correspondientes genomas. Así, por ejemplo, la secuencia genómica del patógeno más frecuente considerado en el estudio, la cepa BG2 de *C. glabrata*, posee 18 miembros de la familia EPA, mientras que, en especies menos patógenas, *C. bracarensis* y *C. nivariensis*, se identificaron 12 y 9 genes EPA, respectivamente. Por el contrario, la especie no patógena, *N. delphensis*, sólo posee una única copia de un gen homólogo lejano a los genes

EPA de *C. glabrata*. La distribución filogenética de los genes identificados en el estudio se representa en la Figura 5.

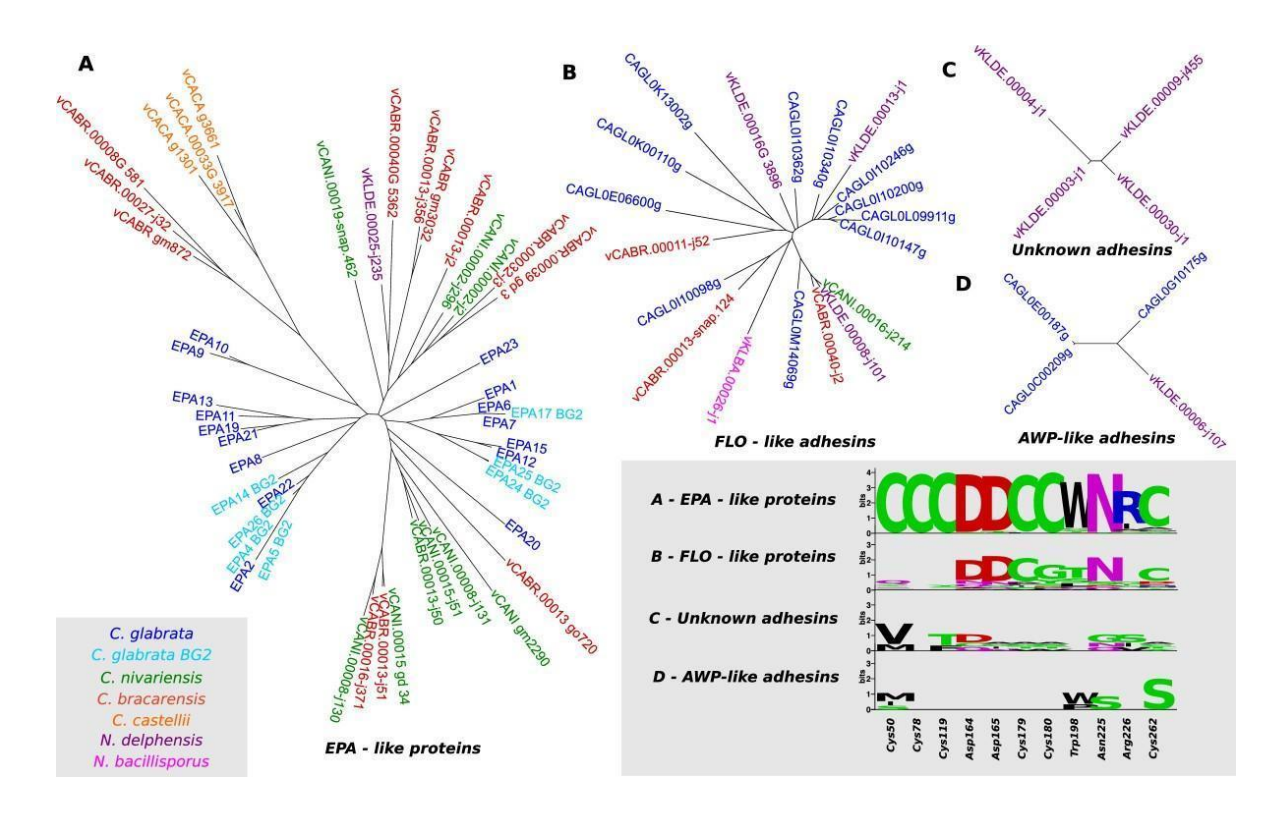


Figura 5. Distribución filogenética de la familia de adhesinas en el género Nakaseomyces, A) Proteínas agrupadas con los genes EPA (Adhesina Epitelial) de *C. glabrata* conocidos, B) Proteínas similares a la proteína floculina de levadura. C) Grupo de adhesinas de función desconocida. D) Secuencias relacionadas con adhesinas AWP. El color indica cada una de las especies con su respectiva proteína: *C. glabrata* en azul oscuro, cepa de *C. glabrata* (BG2) en azul claro, *C. bracarensis* en rojo, *C. nivariensis* en verde, *N. delphinensis* en morado, *N. bacilisporus* en amarillo y *C. castellii* en naranja. El cuadro inferior derecho, representa la conservación en cada uno de los grupos de adhesinas de sitios que se consideran importantes en la estructura de *EPA1* (Tomada de Gabaldón *et al.*, 2013).

Algunos factores pueden predisponer a los genes de adhesinas de la pared celular (EPA) a una rápida amplificación y generación de variabilidad entre sus secuencias (Gabaldón *et al.*, 2013). En primer lugar, la mayoría de los genes EPA se encuentran ubicados en regiones subteloméricas. En *S. cerevisiae*, se ha observado que estas regiones forman conglomerados cerca de la periferia nuclear (Maillet *et al.*, 1996), lo que podría facilitar la recombinación homóloga no alélica. De hecho, las regiones subteloméricas son

propensas a sufrir rearreglos y duplicaciones génicas (Lafontaine *et al.*, 2004). Además, los genes EPA contienen repeticiones internas en tándem de serina/treonina que actúan como un espaciador entre el sitio de anclaje de la pared celular y el medio ambiente. Estas repeticiones, presentes en un número variable, se cree que afectan la unión al ligando, ya que su longitud determina la capacidad de llevar el dominio N-terminal hasta la superficie de la pared celular (Miramón *et al.*, 2016). Además, al recombinar las regiones repetidas de diferentes genes EPA, se generarían extremos N-terminales distintos, lo que también alteraría la especificidad. Estos factores podrían haber facilitado una rápida adaptación de las propiedades de adherencia en *C. glabrata* (Kaur *et al.*, 2005; Cormack *et al.*, 1999).

IV.2. Incremento en la capacidad de la formación de biopelículas.

Como resultado del aumento en la expresión de los genes de adhesinas de la pared celular (EPA), los organismos patógenos del género Nakaseomyces han aumentado su capacidad para sintetizar biopelículas y con ello, la posibilidad de generar biofilm. Estas biopelículas, pueden aumentar la resistencia a los antifúngicos y al sistema inmunológico del hospedero, lo que facilita su persistencia en el organismo hospedero. Además, las biopelículas formadas en otras superficies, como catéteres u otros materiales, pueden ser una fuente de infecciones hospitalarias. Un fenotipo de mayor adherencia de una especie en particular suele correlacionarse con una mayor virulencia y con una expansión subyacente de genes relacionados con la adhesión (Butler *et al.*, 2009; Gabaldón *et al.*, 2013).

IV.3. Nivel de resistencia a varios tipos de estrés

El éxito de *C. glabrata* como patógeno está estrechamente relacionado con su capacidad para resistir estos diversos estreses y adaptarse a los cambios ambientales dentro de su hospedero durante el proceso de infección. Estos pueden incluir:

- Estrés osmótico, que se origina por cambios en la concentración de solutos y la presión osmótica durante el proceso de colonización. *C. glabrata* tiene la capacidad de regular la concentración de solutos dentro de la célula para contrarrestar el estrés osmótico, como, por ejemplo, mediante la acumulación o liberación de ciertos solutos, como el glicerol o trehalosa. Esta adaptación permite mantener el equilibrio osmótico y proteger la célula contra la deshidratación o la ruptura celular.
- Estrés térmico, ya que la temperatura corporal puede variar dependiendo de la ubicación de la infección. Por ejemplo, la temperatura en la piel puede ser ligeramente más baja que la temperatura interna del cuerpo, mientras que en el tracto vaginal la temperatura puede ser más estable. Además, durante la fiebre, que es una respuesta del hospedero ante la infección, la temperatura corporal puede elevarse significativamente. Para contender al estrés térmico, *C. glabrata* expresa proteínas de choque térmico como las chaperonas *Heat-shock protein* 70 y 90 (Hsp70 y Hsp90, respectivamente), que ayudan a proteger otras proteínas contra el daño inducido por el calor y facilitan el correcto plegamiento de las proteínas en condiciones de estrés térmico.
- Estrés ácido, que se genera en entornos ácidos, como el estómago o el tracto vaginal, en donde *C. glabrata* necesita resistir la exposición a pH bajos para establecer y mantener la infección. Al igual que en el caso del estrés por temperatura, la expresión de las chaperonas Hsp70 y Hsp90, permiten contender a *C. glabrata* al estrés inducido por entornos ácidos. Adicionalmente, *C. glabrata* expresa proteínas de transporte de protones que le permiten ajustar el pH intracelular.
- Estrés oxidativo, que es generado por la exposición de *C. glabrata* a especies reactivas de oxígeno (ROS, por sus siglas en inglés), que son generadas por las células del hospedero. Dichas especies reactivas de oxígeno incluyen a los radicales superóxidos, peróxido de hidrógeno, o el radical hidroxilo. Estas especies reactivas son altamente tóxicas para las células fúngicas y pueden dañar lípidos, proteínas y ácidos nucleicos. Para contrarrestar el estrés oxidativo, *C. glabrata* emplea varios mecanismos de defensa antioxidante, que incluyen enzimas, como la superóxido dismutasa, la catalasa y la peroxirredoxina. Adicionalmente, *C. glabrata* también contiende al estrés oxidativo produciendo glutatión, que es un antioxidante celular que participa en la neutralización de los ROS y en la regeneración de otras moléculas antioxidantes. Finalmente, *C.*

- glabrata también combate al estrés oxidativo mediante la síntesis de bombas de eflujo, que le permite eliminar las especies reactivas de oxígeno de su interior, ayudando a mantener el equilibrio celular redox. (Li et al., 2007)
- Estrés nutricional, que se origina por las variaciones de la disponibilidad de nutrientes puede variar dentro del cuerpo del hospedero en donde *C. glabrata* requiere de un proceso de adaptación para utilizar nutrientes alternativos y sobrevivir a largos períodos de inanición durante su ingestión por macrófagos. (Li et al., 2007) (Mason et al.,2012)

IV.4. Sobreexpresión de enzimas con actividad hidrolítica

Durante el proceso de infección, *C. glabrata* sintetiza diferentes tipos de enzimas hidrolíticas que desempeñan un papel crucial en su patogenicidad, que incluyen proteasas, fosfolipasas y lipasas (Figura 6). La actividad enzimática de las proteasas de *C. glabrata* le permiten degradar componentes de la matriz extracelular y proteínas del sistema inmunológico del huésped, lo que facilita la invasión y la evasión de la respuesta inmunitaria, mientras que la expresión de las fosfolipasas permiten la hidrólisis de los enlaces éster de los fosfolípidos, lo que conduce a la lisis de las membranas celulares del huésped, contribuyendo a la diseminación del hongo en los tejidos hospedantes y al daño tisular. Finalmente, las lipasas expresadas por *C. glabrata*, durante el proceso de infección, le permiten a este organismo degradar los lípidos, que son utilizados como nutrientes y adicionalmente tienen un papel relevante en la modulación de la respuesta inmunitaria del huésped (Figura 6) (Frías de León et al., 2021)

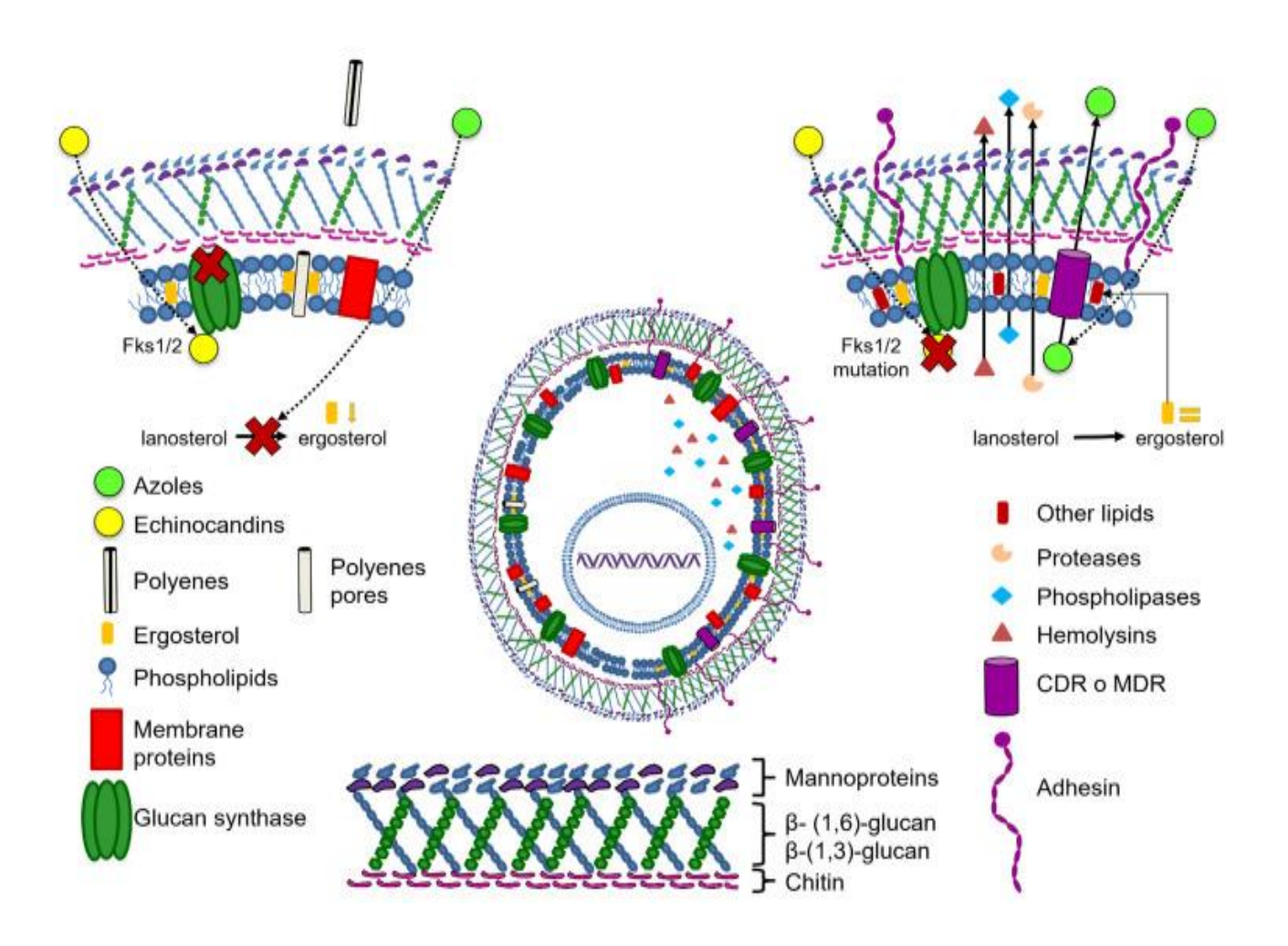


Figura 6. Factores relacionados con la patogenicidad de *C. glabrata.* La formación de biofilm y la producción de enzimas hidrolíticas como proteasas, fosfolipasas y hemolisinas, contribuyen a la adherencia, daño celular e invasión tisular en el hospedero. Tales factores de virulencia les otorgan la capacidad de evadir la respuesta inmune del hospedero, generando resistencia (Tomada de Frías de León *et al.*, 2021).

IV.5. Reducción del genoma

En términos generales. la reducción del genoma es una consecuencia general de los estilos de vida comensales y patógenos debido a que el hospedero mantiene de manera mucho más estable la temperatura, el pH, la presión y la disponibilidad de nutrientes, por lo que los organismos patógenos podrían prescindir de las funciones de diversos conjuntos de genes, como los involucrados en la biosíntesis de componentes esenciales, que pueden ser tomados del entorno (Andersson *et al.*, 1998 ; Ehrlich, *et al.*, 2008).

En los hongos, los patógenos microsporidios representan un caso extremo de reducción del genoma debido a un estilo de vida patógeno especializado, con algunos de sus genomas codificando menos de 2000 proteínas (Corradi et al., 2011). La reducción del genoma de C. glabrata, que no es un patógeno especializado, puede parecer comparativamente escasa. Su repertorio de genes codificantes de proteínas 5202 es "sólo " 688 genes menos que el de S. cerevisiae, lo que representa una reducción de tamaño relativo del 11,7%. Sin embargo, la naturaleza de algunas de las pérdidas apuntaba a una posible mayor dependencia del hospedador para superar la auxotrofía de algunas vitaminas como la piridoxina, la tiamina y el ácido nicotínico (Kaur et al. 2005) (Kumar et al. 2019). En particular, se considera de gran relevancia la pérdida de toda la vía para sintetizar el ácido nicotínico, el cual es un precursor del NAD+, y sin la capacidad de sintetizarse de novo, C. glabrata depende de una fuente externa, en este caso, el hospedero mamífero. En este sentido, es importante mencionar que el agotamiento de los precursores de NAD+ en algunos tejidos humanos, como, por ejemplo, en el tracto urinario, tiene un efecto positivo en la regulación transcripcional de algunas adhesinas *EPA* y, por lo tanto, en la adhesión. Se ha propuesto que esta regulación positiva es el producto de una adaptación de C. glabrata hacia su hospedero humano para favorecer el proceso de infección (Domergue et al., 2005).

Adicionalmente, una de las diferencias más notables al comparar el genoma de *S. cerevisiae* con los organismos del género Nakaseomyces es la reducción significativa en el número de copias parálogas del gen PAU. Este gen codifica para manoproteínas que desempeñan un papel crucial en la respuesta a diversos tipos de estrés (Luo and van Vuuren., 2009). Mientras que en *S. cerevisiae* el número de copias parálogas de este gen alcanza los 20, en los organismos del género Nakaseomyces suele variar entre 1 y 2 (ver Figura 7).

Otras pérdidas evidentes en la mayoría de los organismos del género Nakaseomyces incluyen genes del Clúster DAL, los cuales regulan la biosíntesis del ácido aspártico, un aminoácido esencial para la síntesis de proteínas y para la vía de asimilación de nitrógeno. Asimismo, se observa la ausencia de familias de genes que codifican para las fosfatasas

ácidas PHO, así como los genes SNZ y SNO, cuya función está poco caracterizada en *S. cerevisiae*, pero se sabe que su expresión se induce en la fase estacionaria (ver Figura 7).

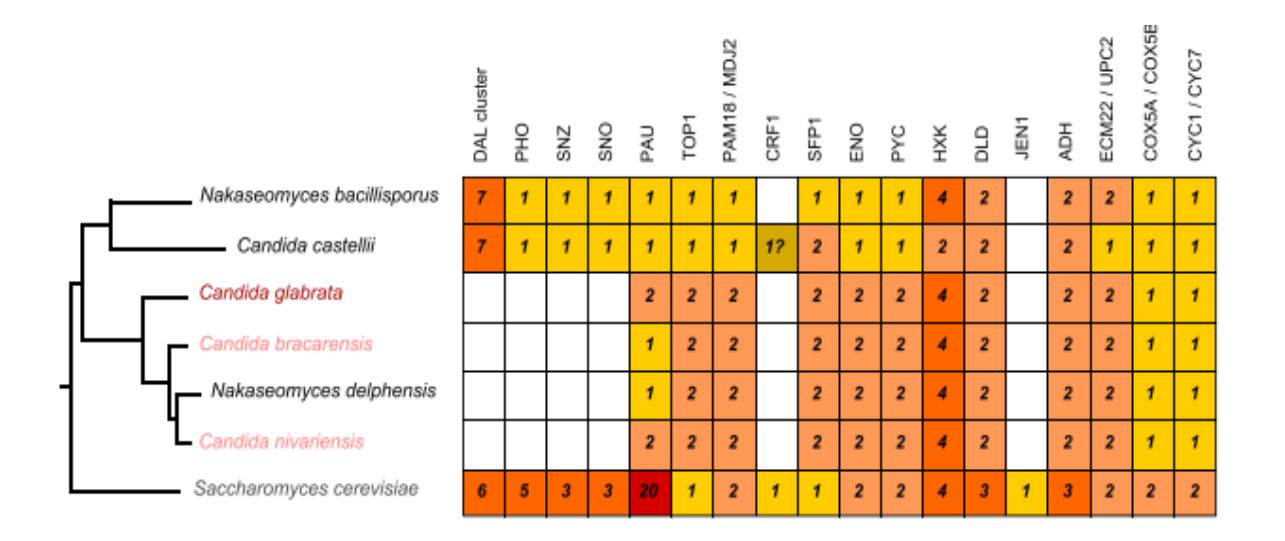


Figura 7. Representación esquemática de familias genéticas específicas en el clado *Nakaseomyces*. Se muestra la relación evolutiva de las especies con las familias de los genes en dicho clado. Los recuadros blancos indican la ausencia de una familia o ruta particular, mientras que los números de color (amarillo, naranja y rojo) indican las copias parálogas de esa familia de genes, la intensidad del color indica el aumento de parálogos presentes de cada familia. Los acrónimos y las funciones de las familias de genes se muestran en la Tabla 1 (Tomada de Gabaldón *et al.*, 2013).

Tabla 1. Acrónimos y funciones de las familias de genes de la Figura 7

DAL	PHO	SNZ	SNO	PAU	TOP1	PAM 18
Adhesina Leucocitaria	Regulador de Fosfato	Represor de gen FT	Resistencia a azoles	Codificación a manoproteínas	Topoisomerasa tipo1	Codificación a translocasa de membrana interna en mitocondria
ADH	ECM22	UPC2	CRF1	SFP1	ENO	PYC
Enzima Alcohol deshidrogenasa	Filamentación en levaduras	Síntesis de ergosterol	Liberador de Corticotropina tipo 1	Factor de transcripción para el crecimiento	Factor de transcripción que codifica para la familia Apetala2	Gen de Piruvato carboxilasa
HXK	DLD	JEN1	COX5A	MDJ2	CYC1	
Enzima glucolítica	Enzima Dihidrolipoamida deshidrogenasa	Gen de Resistencia a Fluconazol	Gen Ciclooxigenasa tipo 5	Gen involucrado en la respiración mitocondrial	Citocromo C	

V. Mutaciones de *Candida glabrata* que favorecen su resistencia a antifúngicos

Candida glabrata es considerada un patógeno relevante en entornos clínicos, ya que puede presentar una menor susceptibilidad intrínseca a los antifúngicos de la clase azólicos y desarrollar una mayor resistencia a estos antifúngicos cuando invade a los pacientes. Se sabe que los tratamientos con azoles conducen frecuentemente a una resistencia a estos antifúngicos mediante la sobrexpresión de bombas de flujo de xenobióticos. Son varios los factores que se han identificado en *C. glabrata* que puede incluir al incremento de resistencia a antifúngicos. A continuación, se mencionan los más relevantes. (Rodrigues *et al.*, 2014)

Algunas mutaciones específicas de ganancia de función en el regulador transcripcional Pdr1 dan como resultado un incremento significativo en la síntesis de los transportadores de bombas de flujo de xenobióticos, contribuyendo al incremento de la virulencia en los modelos de animales. La inactivación de este regulador, mediante experimentos de mutagénesis por transposones mostró que la disrupción del gen PDR1 origina un incremento de 8 a 16 veces en la susceptibilidad al fluconazol de *C. glabrata*. (Tsai *et al.*, 2006). En este mismo sentido, la caracterización de aislados clínicamente resistentes al fluconazol, ha revelado la presencia de mutaciones puntuales en este regulador transcripcional (Tsai *et al.*, 2006).

Adicionalmente, la comparación de las secuencias genómicas de aislados clínicos de C. glabrata, han mostrado que ciertos rearreglos cromosómicos pueden generar resistencia a los azoles (Dujon et al., 2013). Se ha reportado que el gen de reparación de errores de apareamiento de bases nucleotídicas MSH2, puede favorecer la resistencia a los fármacos cuando su actividad se ve comprometida por cambios de un solo nucleótido específicos (SNP, por sus siglas en inglés), que dan lugar fenotipo hipermutador (Hagman et al., 2013). En este mismo sentido, los aislados clínicos que provienen de un paciente, antes y después del tratamiento con el antifúngico fluconazol, portan una mutación no sinónima V239L en el gen MSH2, que favorece el fenotipo hipermutador (Healey et al., 2016). Cabría esperar que este fenotipo pudiera generar diversidad genética dentro del contexto de las condiciones del hospedador. En este mismo sentido, un estudio que analizó la acumulación de mutaciones debidas a defectos de MSH2 en S. cerevisiae durante 170 generaciones in vitro, reveló que las tasas de mutación estuvieron en el rango de 5 a 9 \times 10⁻⁸, que correspondieron a una frecuencia de 8 a 16 mutaciones puntuales y de 110 a 180 deleciones/inserciones en el genoma haploide de S. cerevisiae (Marcet-Houben et al., 2013).

La literatura actual sobre el efecto de defectos en los sistemas de reparación de DNA demostró que la ocurrencia de mutaciones no es aleatoria: regiones de DNA con una densidad mayor de repeticiones son más mutables en células con defectos en los sistemas de reparación del DNA (Pryszcz et al., 2011). En el contexto de las adhesinas, que están enriquecidas en elementos repetitivos, las mutaciones de MSH2 quizás contribuyan a incrementar la diversidad de esta familia de genes a lo largo de generaciones.

VI. Aspectos de diferenciación y similitud entre *Candida glabrata* con *Candida albicans*

Dada su relevancia clínica, *C. glabrata* y *C. albicans* ocupan una posición destacada entre los organismos de la clase Saccharomycetes, lo que ha impulsado la investigación comparativa de sus características. Ambas especies pertenecen a grupos taxonómicos compuestos principalmente por organismos comensales no patógenos para los seres humanos, ubicándose en el filo Ascomycota, clase Saccharomycetes y orden Saccharomycetales. Sin embargo, es importante señalar que pertenecen a familias taxonómicas diferentes. Mientras que *C. glabrata* forma parte de la familia Saccharomycetaceae, *C. albicans* es miembro del clado CUG-Ser1 de la familia Debaryomycetaceae.

Otra diferencia importante entre *C. glabrata* y *C. albicans* está relacionada con su La ploidía, o número de conjuntos completos de cromosomas en una célula. Haploide, en el caso de *C. glabrata* y diploides en el caso de *C. albicans*. Estas diferencias en la ploidía pueden generar a su vez, diferencias notables en su tamaño, forma y disposición de estructuras reproductivas. Adicionalmente, el crecimiento de *C. glabrata*, como células

haploides, no pueden formar hifas verdaderas, en comparación con las células diploides de *C. albicans* que tienen la capacidad de desarrollar hifas. De hecho, el cambio a crecimiento de hifas es un mecanismo de virulencia conocido en *C. albicans*, que le permite ser más invasivo y escapar de los macrófagos una vez que estos la han fagocitado (Mayer *et al.*, 2013). Por el contrario, *C. glabrata se* enfrenta a la fagocitosis de macrófagos de una manera totalmente diferente. En particular, se ha demostrado que *C. glabrata* puede persistir dentro de los macrófagos durante largos períodos de tiempo e incluso dividirse dentro de ellos (Kaur et al., 2009, Roetzer *et al.*, 2008; Rai *et al.*, 2012). Aunque tanto *C. albicans*, como *C. glabrata*, y muchos otros hongos patógenos humanos, se han descrito como especies asexuales, también difieren en este sentido. Se ha descrito un ciclo parasexual en *C. albicans* mediante el cual, células de diferente tipo de apareamiento se fusionan para formar un tetraploide transitorio que luego revierte a una forma diploide por la pérdida concertada de cromosomas (Bennett *et al.*, 2014). Dicho ciclo no se ha descrito en *C. glabrata*, donde los datos genéticos sugieren que el verdadero apareamiento sexual podría ocurrir, aunque con una frecuencia muy baja (Dodgson *et al.*, 2005).

Según la base de datos de ortología MetaPhOrs (Gabaldón et al., 2013), 1557 (29,5%) genes que codifican para proteínas en *C. glabrata* carecen de un ortólogo en *C. albicans*, y lo contrario es cierto para 2257 (36,3%) de los genes de *C. albicans*. Por tanto, se esperan grandes diferencias fisiológicas simplemente debido a la composición genética intrínsecamente diferente de ambas especies. Además, incluso si los ortólogos correspondientes están presentes, la función puede haber divergido y así afectar su papel en la virulencia. Esto puede ser especialmente cierto para proteínas versátiles como factores de transcripción y otros reguladores transcripcionales que pueden reconectar fácilmente su red de genes blanco. Un ejemplo de este caso lo proporciona el hallazgo de que las mutantes nulas en el gen que codifica para el factor de transcripción ACE2 tienen una virulencia ligeramente atenuada en *C. albicans*, mientras que son hipervirulentas en *C. glabrata* (MacCallum *et al.*, 2009). Todas estas consideraciones subrayan el hecho de que *C. albicans* y *C. glabrata* han desarrollado mecanismos de virulencia muy diferentes (Brunke *et al.*, 2013).

Finalmente, las estrategias empleadas durante la infección de estas dos especies de Candida son claramente diferentes. Mientras que C. albicans tiende a emplear una estrategia más agresiva para desencadenar la respuesta inmunitaria del hospedero y obtener nutrientes para su supervivencia, C. glabrata muestra un comportamiento basado en el sigilo y la evasión inmune y procurando su supervivencia sin causar daños severos al hospedero en un principio. Esto lo logra mediante mecanismos complejos de evasión inmune (Brunke et al., 2012) (Diekema et al., 2012), (Kumar et al., 2019). Lo anterior sugiere que C. albicans y C. glabrata pudieron haber seguido rutas evolutivas independientes hacia la patogénesis. Identificar los mecanismos de virulencia y los componentes genómicos de estas rutas, así como comprender las variaciones en la susceptibilidad a diferentes fármacos entre las especies de Candida, puede facilitar el camino para seleccionar los tipos de tratamientos más efectivos para combatirlas. Por ejemplo, los equinocandinos, como la caspofungina, la micafungina y la anidulafungina, resultan más efectivos en el tratamiento de infecciones provocadas por *C. glabrata*; mientras que los azoles, como el fluconazol, itraconazol y voriconazol, se emplean con eficacia contra infecciones causadas por C. albicans. Es relevante señalar que uno de los factores que contribuye al aumento en el desarrollo de resistencia a los fármacos en ciertas especies es el uso inadecuado de los antifúngicos, lo que resulta en una mayor probabilidad de desarrollo de resistencia, como se ha observado en ciertas cepas de Candida (Diekema et al., 2012).

VII. Diagnóstico molecular. La importancia de contar con un método rápido, sensible y específico

Todos los organismos de una misma especie presentan variabilidad en sus secuencias genómicas de forma inherente que se originan por cambios o mutaciones espontáneas en su material genético, a lo que se le conoce como «polimorfismo». Estas variaciones pueden presentarse como polimorfismos de un solo nucleótido (SNP, por sus siglas en inglés), inserciones o deleciones de segmentos de DNA, o bien, por alteraciones en la repetición de secuencias nucleotídicas. Estos polimorfismos pueden tener un impacto en la apariencia, función o susceptibilidad a enfermedades de un organismo y en términos

del diagnóstico molecular, pueden ser utilizados como marcadores genéticos (Figura 8) (Dodgson *et al.*, 1997).

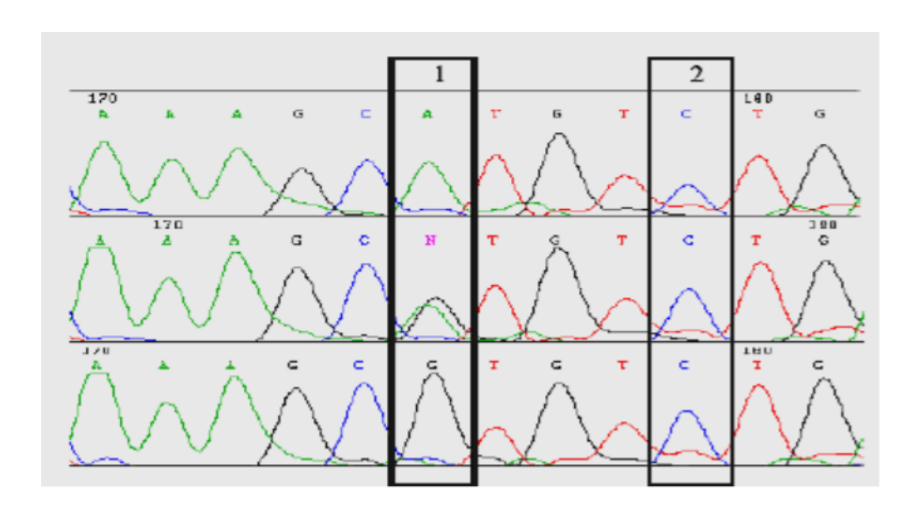


Figura 8. Detección de un Polimorfismos de un solo nucleótido. El alineamiento de fragmentos a partir de secuenciación directa de productos de PCR permite la identificación de regiones en donde existe (1), o no (2), variabilidad en las bases en una posición específica de las secuencias, o SNPs (Tomada de Vignal *et al.*, 2002).

Otro tipo de variaciones en las secuencias de DNA utilizadas en la tipificación de cepas son los Microsatélites o Secuencias Repetidas Cortas (o SRS, por sus siglas en inglés). Los microsatélites son segmentos cortos de DNA de 1 a 6 pares de bases (pb) que se repiten en tándem y de forma aleatoria en el genoma de los seres vivos. Algunas de las características de estos marcadores *versus* otros (como son los minisatélites, RFLPs, RAPDs, etc.) que son considerados por la mayoría de los autores como una poderosa herramienta para estudios filogenéticos son: 1) Presentan un elevado grado de polimorfismo, 2) Su herencia es mendeliana simple, 3) Son codominantes (por lo tanto se pueden diferenciar de los individuos homocigotos de los heterocigotos), 4) Son fáciles de medir y analizar, 5) Tienen una confiabilidad del 100%, y 6) Son repetitivos y automatizables. Estos marcadores se encuentran generalmente en regiones no codificantes del genoma (Goldstein *et al*, 1999).

Para realizar los estudios de identificación antes mencionados, se utiliza la técnica de la reacción en cadena de polimerasa (PCR), la cual es una reacción enzimática

catalizada por una DNA polimerasa que permite la amplificación o reproducción «in vitro» de una región particular del DNA, a partir de una pequeña cantidad original de DNA molde. Esta enzima requiere, para la síntesis, de un par de oligonucleótidos denominados iniciadores o «primers», cuyas secuencias son complementarias a la de las regiones flanqueantes 5' y 3' del segmento particular de DNA que se aspira a amplificar. Un buen marcador molecular debe reunir una serie de características para maximizar su utilidad, entre ellas, debe tener una buena distribución a lo largo del genoma y alto grado de polimorfismo. La técnica para analizar el marcador debe ser rápida, práctica y debe mantener una gran repetibilidad (Cheng y Crittenden *et al.*, 1994). Los minisatélites y microsatélites, se encuentran entre las regiones que presentan múltiples alelos y sus valores de heterocigosis superan el 70%, por lo que son excelentes marcadores.

Entre los marcadores moleculares efectivos se destacan las "Repeticiones en Tándem de Número Variable" (VNTR, por sus siglas en inglés), los cuales son marcadores polimórficos detectados en ciertas pruebas de hibridación para secuencias repetitivas (Jeffreys *et al.*, 1985). Estas pruebas generan un patrón complejo de bandas que reflejan un polimorfismo heredable. Los VNTR consisten en repeticiones al azar en tándem de 10 a 60 pares de bases, son altamente polimórficos y presentan elevadas tasas de heterocigosis en las poblaciones (Vance *et al.*, 1998).

El Polimorfismo de Longitud de Fragmentos de Restricción (RFLP) constituye una de las primeras técnicas empleadas antes de la popularización de la técnica de PCR. Se basa en la visualización de las variaciones a nivel de la secuencia del DNA, mediante el uso de enzimas de restricción (Botstein *et al.*, 1980), cuya actividad puede variar entre individuos. Posteriormente, con el avance del PCR, surgió un método denominado RFLP-PCR, el cual se ha revelado útil en el diagnóstico de mutaciones puntuales, así como de pequeñas deleciones o inserciones que generan o eliminan un sitio de restricción. Al cortar el DNA con enzimas de restricción, se analizan los fragmentos de ADN de distinto peso molecular o de longitudes diferentes (Figura 9).

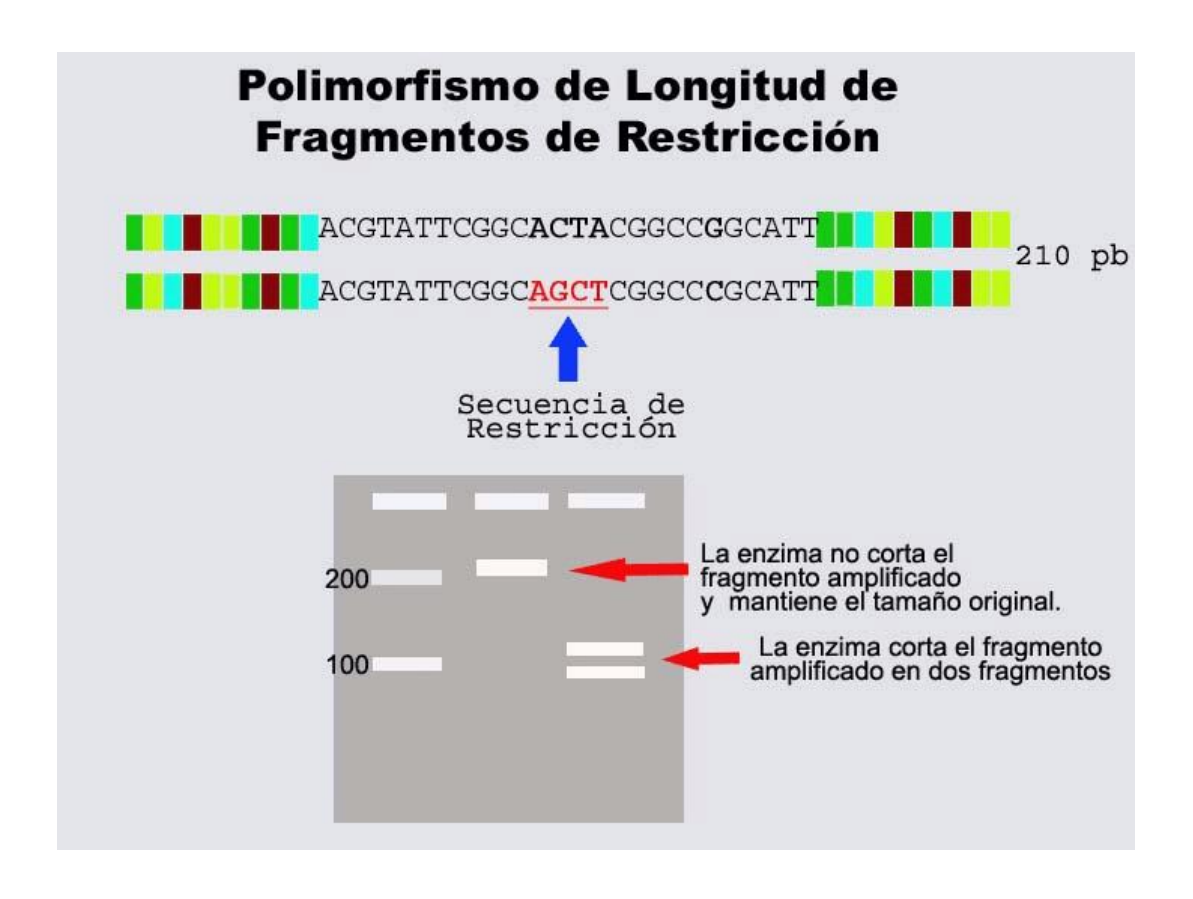


Figura 9. Polimorfismo de Longitud de Fragmentos de Restricción (PCR-RFLP). La enzima reconoce el sitio AGCT y corta la cadena de DNA en 2 fragmentos. (Tomada de Villamasmil *et al.*, 2007).

Los polimorfismos y las regiones satélites pueden ser mapeados utilizando oligonucleótidos cortos, conocidos como iniciadores, a través de una reacción de PCR que se caracteriza por tener temperaturas de alineamiento (annealing) bajas. Esto genera una serie de fragmentos de amplio espectro a partir del DNA molde. La clave radica en identificar aquellos fragmentos amplificados que resulten ser polimórficos, los cuales pueden ser posteriormente mapeados. Esta técnica se conoce como Polimorfismo Amplificado Aleatoriamente (RAPD) (Levin *et al.*, 1994).

Dado que los microsatélites se distribuyen parcialmente a lo largo de todo el genoma de los eucariotas, aunque con baja frecuencia en las regiones codificantes y posiblemente también en los telómeros, su presencia en regiones codificantes se ha asociado con enfermedades (Armour *et al.*, 1994; Hancock *et al.*, 1999; Tautz *et al.*, 1994). Sin embargo, aún no se comprende completamente el significado funcional de estas secuencias, aunque

la hipótesis más aceptada sugiere que pueden estar relacionadas con el empaquetamiento y la condensación del DNA en los cromosomas (Vanhala *et al.*, 1998).

Desde su introducción en 1989 (Litt et al., 1989; Weber et al., 1989), el uso de microsatélites ha tenido un impacto significativo en el estudio de la genética de animales y plantas. El análisis con microsatélites implica la detección de fragmentos específicos de DNA y proporciona la medida de los alelos, medidos en pares de bases, en cada una de las regiones. Otra aplicación importante de los microsatélites es la construcción de mapas de ligamiento más completos y detallados, así como la identificación de genes de interés (QTLs) (Tabla 2). Todos los marcadores pueden utilizarse para construir mapas de ligamiento; sin embargo, es necesario que los alelos se segreguen de manera independiente y que además puedan ser monitoreados. La descendencia puede ser informativa si los progenitores son dobles heterocigotos en los loci analizados. Los loci ubicados en cromosomas distintos pueden recombinarse libremente durante la gametogénesis parental hasta en un 50% (segregación independiente); mientras que, si se encuentran en el mismo cromosoma, recombinarían con una frecuencia que oscila entre 0 y 50%, dependiendo de la distancia que los separa. Por lo tanto, un mapa genético bien poblado de marcadores se convierte en una herramienta muy útil para identificar genes responsables de caracteres de interés. Se trata de buscar asociaciones entre varios alelos en cualquiera de los marcadores, segregando en poblaciones que presenten el carácter de interés, para identificar regiones del genoma donde es más probable que se encuentre el gen responsable de ese carácter (Cheng et al., 1995).

Gene	Percentage homology	Normalized ratio*	GenBank accession no.	Reference
ACT1	98.8	>1.5	AJ236897	Donnelly et al. (1999)
URA3	93.0	>1.5	AJ302032	Staib et al. (2001)
MDR1	92.0	1.4	AJ227752	Moran et al. (1998)
CDR1	91.9	1.16	AJ439073	Moran et al. (2002)
CDR2	91.0	>1.5	AJ439075	Moran et al. (2002)
ERG3	90.1	1.17	AJ421248	Pinjon et al. (2003)
ERG11	90.4	>1.5	AY034876	Perea et al. (2002)
PHR2	90.5	1.40	AF184908	Kurzai et al. (1999)
PHR1	88.0	>1.5	AF184907	Kurzai et al. (1999)
SAP4	86.0	0.55	AJ634382	This study
SAP2	83.6	1.18	AJ634672	This study
CZF1	80.0	0.53	AJ634475	This study
IPF8147	79.6	0.29	AJ634476	This study
IPF1873	75.0	0.24	AJ634664	This study
RVS161	75.0	0.30	AJ634665	This study
IPF16104	74.0	0.25	AJ634666	This study
IFA8	70.4	0.36	AJ634667	This study
IPF9787	70.0	0.26	AJ634668	This study
IPF3448	69.6	0.42	AJ634669	This study
SSN6	68.0	0.30	AJ634670	This study
IPF2057	59.0	0.17	AJ634671	This study

Tabla 2. Porcentaje de similitud de secuencia de nucleótidos de genes de *C. dubliniensis* a las secuencias correspondientes de microarreglos de *C. albicans*. Un ejemplo de genómica comparativa. (Tomada de Moran *et al.*, 2004).

Los análisis con marcadores genéticos tipo microsatélite son extremadamente valiosos para el estudio de poblaciones. Además de evaluar la variabilidad genética, la información obtenida permite una caracterización molecular precisa de las poblaciones y/o razas, así como un estudio detallado de su estructura genética. Esta revisión también confirma la eficacia de los microsatélites para establecer relaciones genéticas entre poblaciones (Vale-Silva et al., 2017).

Cuando se encuentran fuera de regiones codificantes, los microsatélites suelen considerarse como regiones génicas sin función aparente. Sin embargo, se ha sugerido que, en ciertos genes, las regiones repetidas del extremo 5' no transcrito podrían tener una función reguladora, actuando como sitios de unión para factores de transcripción. Debido a su alta repetitividad, los microsatélites son conocidos como regiones con una alta frecuencia de recombinación (hot spots) (Oliveira et al., 2006). Las Figuras 10 y 11 muestran algunos tipos de marcadores de DNA y el principal uso que se les ha dado para el proceso de identificación de *C. glabrata*.

Tipo de Marcador	Acrónimo	Alias	Requiere:	Principal uso
Polimorfismo de base única	SNP's		ADN clonado, secuencias,	Mapas de Ligamiento
Polimorfismo de Longitud			etc.	
de Fragmentos de Restricción	RFLP		ADN clonado usualmente	Mapas de Ligamiento
Secuencias Repetidas Cortas	SSR	Microsatélites	AND clonado y secuencias	Mapas de Ligamiento
Secuencias de Sitios Marcados	STS		Secuencias de ADN	Mapas físicos
Secuencias Expresadas				-
Marcadas	EST	Subset de STS	Secuencias de ADNc	Mapeos físicos y de
ligamiento				
Polimorfismo Amplificado				
Aleatoriamente	RAPD	DAF, AP-PCR	Oligos aleatorios	Fingerprinting
Secuencias de Numero y				
Tamaño Variable	VNTR	Minisatélites	Secuencias repetitivas y	Fingerprinting
Polimorfismo de Longitud			pruebas de hibridación	
deFragmentos Amplificados	AFLP		Set de oligos diseñados y específicos	Mapas de ligamiento

Figura 10. Principales tipos de marcadores de DNA y su principal uso en la identificación de *C. glabrata* (Tomada de Dogson *et al.*, 1997).

Markers	Primers	Primer sequences
RPM2	Forward	FAM 5' ATCTCCCAACTTCTCGTAGCC
	Reverse	ACTTGAACGACTTGAACGCC
MTI	Forward	HEX 5' CAGCAATAATAGCTTCTGACTATGAC
	Reverse	GACAGGAGCAACCGTTAGGA
ERG3	Forward	TAMRA 5'AGTGCGAGTGTATGTAAAGAATG
	Reverse	CGTATACCTTATCTCCGTTCAA
GLM4	Forward	FAM 5' AGTGTTCATTGTCGCCTTC
	Reverse	AATGCAGGCTCACCATTTTC
GLM5	Forward	HEX 5' TGGGGATAGTGGGAACTCAA
	Reverse	CGATGATTTCATGTCCGATG
GLM6	Forward	TAMRA 5' GATGATTCTGCCCGTTAGGA
	Reverse	CCTGAAGTAGGTGCCGAGAG

Figura 11. Principales tipos de marcadores de DNA y oligonucleótidos en *C. glabrata*. La definición funcional de los genes blanco usadas en el diagnóstico molecular corresponden a: RPM2: RNAasa P mitocondrial; MT1: Metalotioneína; ERG3: 5,6-esterol desaturasa; GLM4, GLM5 y GLM6: Secuencias de marcadores en microsatélites (Tomado y modificado de Kiasat *et al.*, 2019).

JUSTIFICACIÓN

Candida glabrata es la segunda causa de candidemia en muchos países, siendo una de las especies de levadura nosocomiales más preocupantes debido a su tendencia a desarrollar resistencia a los fármacos antifúngicos, incluidos los aislados multirresistentes emergentes. Alrededor del 90% de los casos de candidemia son atribuibles a solo cuatro especies de Candida, cada una con distintas susceptibilidades a los antimicóticos. En C. glabrata, diversos factores como la regulación de la expresión de múltiples adhesinas, el agrupamiento de los telómeros y subtelómeros cerca de la envoltura nuclear que favorece la recombinación homóloga no alélica entre familias de genes de adhesinas, y la presencia de arreglos genómicos de gran escala, contribuyen a su capacidad de adhesión y persistencia en el hospedero. Este problema es de gran importancia, ya que las infecciones asociadas con C. glabrata, especialmente en el torrente sanguíneo, tienen una alta mortalidad y conllevan un considerable costo en términos de salud pública. Actualmente, la identificación de la especie de Candida en pacientes infectados, mediante cultivos microbiológicos, o pruebas bioquímicas, suele tomar tiempos muy largos, de hasta 7 días, sin que ellos brinden una suficiente especificidad. Dado lo anterior, es necesario el desarrollo métodos de detección más eficaces, específicos y rápidos. La metodología de PCR ... Luego mencionas tu metodología. de herramientas computacionales que permitan el diseño óptimo de oligonucleótidos a ser usados en la amplificación de secuencias repetidas en el genoma de C. glabrata mediante la técnica de PCR. Esperamos que el desarrollo de dichas herramientas conduzca al desarrollo de un ensayo molecular rápido, específico y sensible que impacte de manera significativa en el diagnóstico preciso de enfermedades intrahospitalarias, favoreciendo un tratamiento adecuado y oportuno.

HIPÓTESIS

La especificidad y sensibilidad de los ensayos de identificación de microorganismos patógenos en muestras clínicas mediante ensayos de amplificación de PCR, será incrementada significativamente al considerar oligonucleótidos que reconozcan loci

repetidos en los genomas de estudio. Esto ya está demostrado. Tú quieres desarrollar un método que ayude a identificar sitiosadecuados.

OBJETIVO

Desarrollar un protocolo bioinformático para el diseño óptimo de oligonucleótidos a ser utilizados en ensayos de detección molecular por PCR de *Candida glabrata*, considerando que la mayor especificidad y sensibilidad de los ensayos serán obtenidos mediante la amplificación de secuencias altamente repetitivas y específicas.

OBJETIVOS PARTICULARES

Desarrollar un protocolo bioinformático para el diseño automatizado de oligonucleótidos a ser utilizados en ensayos clínicos de identificación de *C. glabrata*, altamente específicos y sensibles, considerando criterios de:

- a) Especificidad: asegurando que la región amplificada sea exclusiva del genoma de *C. glabrata*.
- b) Sensibilidad: considerando que la región amplificada es altamente repetida en el genoma de *C. glabrata* y corresponden a secuencias mini y megasatélites.
- c) Eficiencia: considerando características termodinámicas de los oligonucleótidos que serán utilizados para la reacción de PCR como ausencia de regiones palindrómicas, longitud, temperatura de alineamiento y la presencia de bases G o C en sus extremos 3' que favorezcan el proceso de primado en la reacción de amplificación.

El conocimiento adquirido con este proyecto ayudará a mejorar el diagnóstico y tratamiento no tan sólo de las infecciones por *C. glabrata*, sino que también puedan generalizarse a cualquier otro patógeno de interés.

METODOLOGÍA

Estrategia general de análisis

Para poder diseñar de manera automática aquellos pares de oligos que optimicen la identificación de *C. glabrata*, en particular, o cualquier organismo de interés, en lo general, la estrategia computacional desarrollada se dividió en dos grandes partes. Dichas partes son:

- I) Análisis de la frecuencia absoluta de todas las posibles palabras dentro de la secuencia genómica. Considerando la hipótesis de que la sensibilidad y especificidad de un ensayo de PCR dependerá del número de veces que existe el locus a ser amplificado dentro de un genoma, la primera parte del análisis contempla la determinación de la frecuencia absoluta de todos los posibles k-meros o palabras del genoma y poder así, entonces, definir las palabras de mayor frecuencia. En esta primera etapa, el cálculo de frecuencias absolutas considera exclusivamente palabras 100% idénticas.
- II) Análisis de las propiedades termodinámicas de los potenciales oligonucleótidos para el ensayo de amplificación por PCR. Una vez conocidas las palabras (k-meros) con mayor frecuencia absoluta en la secuencia genómica, se realiza un análisis en términos de las propiedades termodinámicas para escoger aquellos k-meros que cumplan de mejor manera los requerimientos termodinámicos en el proceso de amplificación, como lo son la temperatura media de fusión, longitud, contenido de nucleótidos G/C en su extremo 3´, que no sean autocomplementarias, que no exista complementariedad entre el par de oligonucleótidos a ser usados en la reacción de amplificación, etc.,

A continuación, se describen con más detalle cada una de estas dos etapas de análisis.

I) Análisis de la frecuencia absoluta de todas las posibles palabras dentro de la secuencia genómica.

En 1946 olas de Brujin desarrolló una solución matemática en un problema de supercuerdas, que son utilizadas en el análisis de secuencias. Su trabajo se centró en la creación de lo que se conoce como secuencias de De Bruijn, las cuales son secuencias especiales que contienen todas las subcadenas de longitud k (k-meros) exactamente una vez como subcadenas consecutivas. Estas secuencias son fundamentales en diversos campos, incluyendo la teoría de grafos, la informática teórica y la bioinformática.

En el contexto del análisis de secuencias de DNA, las secuencias de De Bruijn son utilizadas para ensamblar genomas a partir de lecturas de secuenciación, proporcionando una representación eficiente de todas las posibles secuencias de DNA de longitud k presentes en los datos de secuenciación. En dichas secuencias, existen n^k K-meros en un alfabeto que contiene n símbolos. En el caso del alfabeto para representar una secuencia de DNA, existen cuatro símbolos: A, T, G, C, de tal manera que el número posible de k-meros o palabras de longitud diez correspondería a 4¹⁰ = 1,048,576 (Compeau, *et al.*, 2011). Considerando lo anterior, sería de esperarse que para un genoma del tamaño *de Escherichia coli*, con un poco más de 4,600,000 pb, los K-meros de longitud 10 (k = 10) deberían de encontrarse, en promedio, cuatro veces (4,600,000 pb / 1,048,576 =~ 4), mientras que las palabras de longitud 11 (k = 11) deberían de ser, en promedio, únicas (4,600,000 pb / 4,194,304 =~ 1).

La estrategia bioinformática planteada en el presente trabajo para la identificación de regiones repetidas en los genomas de interés está basada en la representación de una secuencia genómica en todos los posibles fragmentos pequeños de longitud k (k-meros) para evaluar sus frecuencias absolutas, es decir, identificar cuantas veces se repiten cada uno de los posibles fragmentos de longitud k en un genoma determinado. Una parte fundamental del algoritmo computacional en esta primera parte del análisis es que, la **posición** y **frecuencia absoluta** de cada posible palabra es almacenada en un arreglo, conocido como *arreglo hash*.

Un arreglo hash, también conocido como tabla hash, es una estructura de datos que utiliza una función de dispersión para mapear claves a valores dentro de un conjunto de datos. En este arreglo, los datos se almacenan y recuperan a través de una clave única que se asigna a un índice específico en el arreglo mediante la función de dispersión. La función de dispersión calcula un valor numérico (hash) a partir de la clave proporcionada, que, en nuestro caso, corresponden a cada uno de los k-meros del genoma. En teoría, existe un valor numérico único para cada uno de los k-meros de un genoma, que se puede utilizar como un índice dentro del arreglo para acceder de manera rápida y directa cualquiera de sus datos asociados. En nuestro caso, la posición o frecuencia absoluta de cada k-mero.

II. Análisis de las propiedades termodinámicas de los potenciales oligonucleótidos a ser empleados en el ensayo de amplificación por PCR.

II.1. Recursos bioinformáticos para el diseño de oligonucleótidos

Una herramienta muy útil en la biología molecular es la reacción en cadena de la polimerasa o (PCR) mediante el uso de oligonucleótidos, también conocidos como iniciadores o "primers", por su nombre en inglés. Entre el conjunto de recursos bioinformáticos disponibles para el diseño de oligonucleótidos se pueden mencionar los siguientes:

OligoAnalyzer. Este sistema está disponible en la página web www. Idtdna.com. La principal característica de este programa es la fácil disposición de un diseño de oligos, inscribiéndote de forma gratuita. <u>OligoAnalyzer Tool - Primer analysis and Tm Calculator | IDT (idtdna.com) (Figura 12).</u>

OligoAnalyzer



Figura 12. Portal web de OligoAnalyzer para el diseño de oligonucleótidos. (Figura tomada de página web Integrated DNATechnologies acquires ArcherTM).

GenScript. Es un sistema muy amigable para el diseño de oligonucleótidos, se encuentra en la página web www.genscript.com (Figura 13).



Figura 13. Portal web de GenScript para el diseño de oligonucleótidos. (Figura tomada de página web GenScriptTM).

Oligo Design Tools. Este software vinculado al Vector NTI Advance, OligoPerfect Designer está perfectamente diseñado para la elaboración y diseño de iniciadores u oligos en línea. Elaborado para pedidos en línea, por lo que nunca tendrá que cortar y pegar secuencias. Vector NTI Software | Thermo Fisher Scientific - MX (Figura 14).

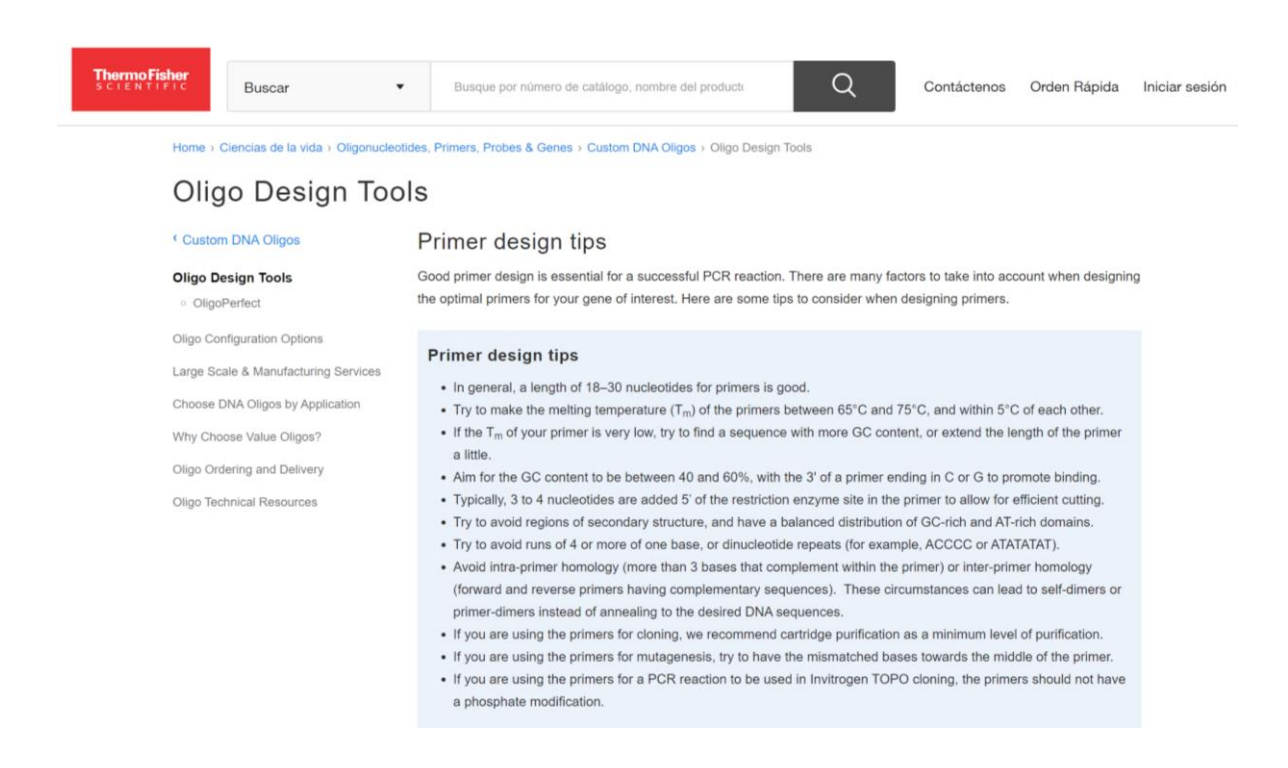


Figura 14. Portal de Thermo Fisher para el diseño de oligonucleótidos. (Figura tomada de página web VectorNTISoftware™).

II.2. Aspectos relevantes en el diseño de oligonucleótidos

Las características fundamentales que deben de ser consideradas en el diseño de oligonucleótidos incluyen la longitud de los oligonucleótidos (Wu et al. 2004), sus temperaturas de fusión (McPherson et al. 1991; Russell 2001; Wu et al.2004), así como poseer al menos una guanina o citosina en su extremo 3´, y la ausencia de una potencial posibilidad de auto-complementariedad o complementariedad con sus correspondientes pares de oligos usados en la reacción de PCR (Figura 15) (Boyle et al.,2009; Vallone et al. 2004).



Figura 15. Diseño de Oligonucleótidos para la identificación de microsatélites. Las regiones del cromosoma en donde se encuentra una familia de microsatélite son de particular importancia en la identificación de organismos de interés médico (Figura tomada de Vignal *et al.*, 2002).

II.2.1. Longitud del oligonucleótido

La longitud de los oligonucleótidos suele ser de 16 a 28 nucleótidos con una diferencia de longitud de no más de 3 nucleótidos entre el oligo forward y el reverse, que se considera óptimo para un PCR. (Wu *et al.* 2004).

II.2.2. Contenido de G/C del oligonucleótido

La proporción de G/C es un valor porcentual que indica la cantidad de nucleótidos G (guanina) y C (citosina) que aparecen en un oligonucleótido o primer. Una proporción adecuada de G/C en un oligo, deberá idealmente oscilar entre un 40%-60%.

II.2.3. Composición de nucleótidos en el extremo 3'

Los pares de bases G/C son termodinámicamente más estables que los pares de bases AT. Algunas enzimas naturales agregan selectivamente bases en el extremo 3´ de cadenas bicatenarias; por lo tanto, se estima que los oligos se unen más firmemente si su última o dos últimas bases son G o C.

II.2.4. Temperatura de fusión (Tm)

La temperatura de fusión es el valor crítico más importante para realizar una amplificación exitosa. Generalmente la temperatura de fusión (Tm) en un par de oligos se debe encontrar entre los 50 y 62°C. Es muy importante que la PCR se realice sin exceder una diferencia de 5°C entre la Tm de cada oligo a utilizar. La temperatura de fusión de PCR se puede calcular mediante la fórmula de Wallace. (Wallace *et al.*,1979) (Sambrook *et al.*,1989) (Untergasser *et al.*, 2012).

II.2.5. Ecuación de Wallace

Asume que la PCR se lleva a cabo en condiciones estándar

- [Primer] = 50mM
- [Na] = 50mM
- pH = 7.0

Tm= [4°Cx (Numero de G+C)] + [2°Cx (Numero de A+T)] Ejemplo: 5'-ACAGATAGTGGGGATCCG-3'

G + C = 10

A + T = 8

 $Tm = [4 \circ C \times (10)] + [2 \circ C \times (8)] = 56 \circ C$

II.2.6. Método de vecinos cercanos de (Nearest-Neighbor)

Asume que:

- La estabilidad del dúplex de DNA depende de bases vecinas más cercanas (apilamiento)
- Toma en cuenta los parámetros termodinámicos de la interacción en el dúplex de DNA
- Entalpía
- Entropía
- Energía Libre de Gibbs

II.2.7. Entalpía: Se refiere a la cantidad de energía calorífica liberada o absorbida por el primer. El ΔH mide el cambio de la entalpía. La medida de ΔH [primer] es igual a la suma del valor de ΔH de cada par de nucleótidos que son vecinos cercanos en el primer (figura 16).

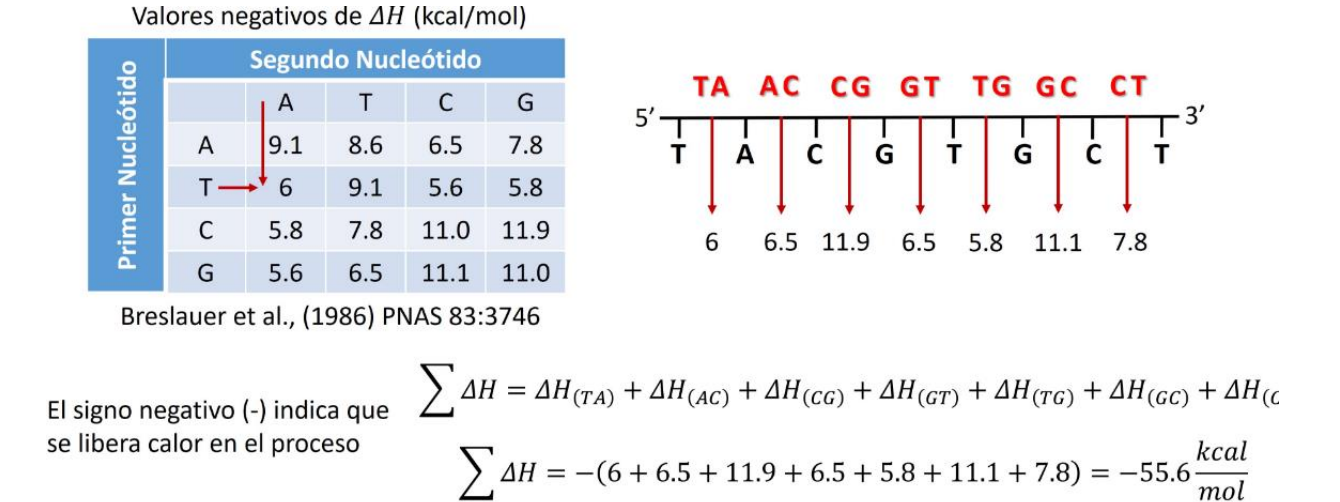
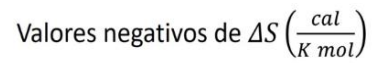
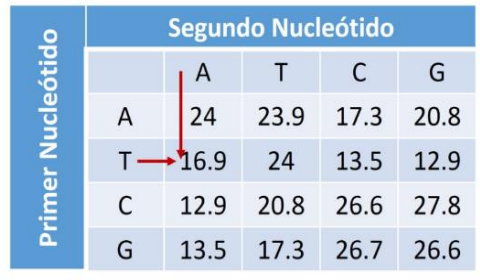


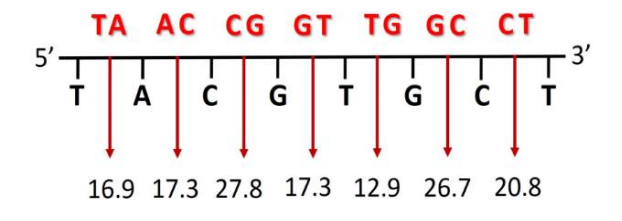
Figura 16. Ejemplo del cálculo de entalpía (Tomado y modificado de Breslauer et al., 1986).

II.2.8. Entropía: Se refiere a la cantidad de desorden que exhibe un primer. Cuando se forma la relación DNA-primer, la entropía del primer y del DNA de una sola cadena disminuye, dado a que pierden su grado de libertad de movimiento cuando se unen uno al otro. Cambian de un estado desordenado a uno ordenado. El ΔS mide el cambio de la entropía.

 ΔS [del primer] es igual a la suma del valor de ΔS de cada par de nucleótidos en el primer, que son vecinos cercanos.







Breslauer et al., (1986) PNAS 83:3746

El signo negativo (-) indica que el par de bases se vuelve menos desordenado

$$\sum \Delta S = \Delta S_{(TA)} + \Delta S_{(AC)} + \Delta S_{(CG)} + \Delta S_{(GT)} + \Delta S_{(TG)} + \Delta S_{(GC)} + \Delta S_{(CT)}$$

$$\sum \Delta S = -(16.9 + 17.3 + 27.8 + 17.3 + 12.9 + 26.7 + 20.8) = -139.7 \frac{cal}{K \ mol}$$

Figura 17. Ejemplo del cálculo de entropía Tomado y modificado de Breslauer et al., 1986).

II.2.9. Energía Libre de Gibbs (Δ G): Se refiere a la energía requerida para romper una estructura secundaria no deseada en el primer, esto ocurre cuando el primer se alinea a sí mismo (harpin) o al otro primer ($primer\ dimero$). Mientras más negativo es el valor del Δ G más estable es la estructura secundaria.

II.2.10. Formación de dímeros

El alineamiento de dos cebadores u oligos (autosecuestro), da como resultado un dímero, la aparición de dímeros afecta negativamente a los resultados de una PCR, en consecuencia, esta hibridación deberá evitarse. La formación de dímeros ocurre cuando los dímeros entran en contacto directamente con el oligo de estudio, se reconocen entre sí por la complementariedad y este es "secuestrado" o hibridado con lo que forma horquillas en las estructuras de los iniciadores (Vallone *et al.* 2004).

II.2.11. Concentración de los Iniciadores.

La concentración óptima de los iniciadores debe ser de 0.1- 0.5 µM en una reacción estándar, una concentración superior a 0.5 µM puede causar la acumulación de productos no específicos debido a uniones inespecíficas en el DNA molde. También en caso de una alta concentración de DNA en el proceso, este se quedará adherido a la polimerasa, inhibiéndola. La concentración menor a 0.1 µM puede ser una concentración insuficiente

de los iniciadores y que no se terminen los ciclos de la PCR, lo que generaría un bajo rendimiento de amplificación. De manera general, 5 pmol de cada iniciador es adecuado para 25 µL de reacción.

II.2.13. Concentración de la DNA Polimerasa.

La concentración recomendada de enzima DNA polimerasa en la reacción de PCR es de 1-2.5 unidades por 100 µL de volumen de reacción (generalmente la enzima se comercializa a una concentración de 5U/µL). Esto representa en equivalencia molar, un valor bajo en comparación a los otros componentes de la reacción. Una baja concentración de enzima favorece la fidelidad de la amplificación del DNA, una alta concentración de enzima resulta en la amplificación de productos inespecíficos.

II.2.14. Factores que pueden modificar la fidelidad de la enzima DNA polimerasa.

Algunos factores que pueden modificar la fidelidad de la DNA polimerasa son la presencia de actividad exonucleasa 3'-5', la tendencia natural de la enzima para insertar errores, la facilidad con la que los errores pueden ser corregidos, la concentración de sales, específicamente la concentración de magnesio.

II.2.15. Aditivos usados en la reacción de amplificación por PCR.

En algunas ocasiones, para optimizar la PCR es recomendable la adición de sustancias adyuvantes que incrementan la especificidad y fidelidad (Landre et al. 1995), entre las más usadas están:

- -DMSO (dimetilsulfóxido): Este al ser un desnaturalizante, impide que se plieguen oligos inespecíficos.
- Glicerol: en una concentración entre 15 y 20% mejora la amplificación de fragmentos con alta proporción de G+C e incrementa la estabilidad térmica de la enzima.
- Detergentes no iónicos: Tritón X-100, Tween 20 o Nonident P-40. Estabilizan a la Taq polimerasa e inhiben la formación estructuras secundarias en el DNA. Se utilizan en concentraciones entre 0.1 y 1%. Concentraciones mayores pueden generar amplificaciones no específicas.

- BSA (Albúmina de suero bovino): En una concentración final de 0.1 a $0.8~\mu g/\mu L$ es particularmente útil para amplificar DNA antiguo o muestras de DNA con inhibidores de PCR como la melanina.
- Betaína: A una concentración final de 1 a 1.7 M, mejora la amplificación de los fragmentos.
- Aditivos comerciales: hay adyuvantes comerciales disponibles que optimizan la reacción de PCR. Sin embargo, no revelan su composición química.

II.16. Recomendaciones generales para la reacción de amplificación por PCR

En términos generales, la recomendación para obtener optimizar la amplificación de productos de PCR se recomienda:

- a) Para mejorar la fidelidad y especificidad
 - Seleccionar una enzima con actividad 3'-5' exonucleasa.
 - Utilizar iniciadores con más de 15 nucleótidos.
 - Incrementar la temperatura de alineamiento.
 - Reducir el tiempo de desnaturalización y alineamiento en el ciclo.
 - Reducir la concentración de iniciadores.
 - Reducir el número de ciclos.
 - Reducir la concentración de Mg2+.
 - Al aumentar Mg2 también puede aumentar la estabilidad con puentes salinos entre los fosfatos de nucleótidos adyacentes.
 - Revisar que el termociclador funcione adecuadamente.
- b) Para mejorar la eficiencia de amplificación
 - Incrementar la concentración de dNTPs y enzimas.
 - Usar en concentración baja algún aditivo
 - Reducir el tamaño del fragmento que se desea amplificar (amplicón).
 - Probar con Pfu polimerasa
 - Confirmar que los iniciadores no formen dímeros.

RESULTADOS

Los resultados del presente trabajo se dividen en dos grandes bloques. En el primero se realizan análisis encaminados a identificar las palabras o k-meros más frecuentes en una secuencia genómica y la frecuencia absoluta de todos sus k-meros vecinos dentro de un rango pre-establecido en el análisis. En la segunda parte de los resultados, se analizan a los k-meros más frecuentes identificados en la primera parte del estudio, en término de sus propiedades termodinámicas. En esta segunda parte, las palabras o k-meros son referidos como oligonucleótidos. Finalmente, con base en las frecuencias absolutas de las palabras y de sus propiedades termodinámicas al ser consideradas como oligos a ser empleados en reacciones de PCR, se puedan seleccionar los oligonucleótidos más apropiados

I. Análisis de la frecuencia absoluta de todas las posibles palabras dentro de la secuencia genómica

I.1. Obtención de secuencias genómicas de organismos de estudio

La secuencia genómica de *Candida glabrata* y las de otras 135 levaduras se obtuvieron de la base de datos KEGG. La lista completa de los organismos considerados en este estudio se presenta en el Apéndice 1. Las anotaciones de las secuencias genómicas fueron obtenidas de los archivos tipo GFF (por sus siglas en inglés: <u>General Feature Format</u>).

I.2. Identificación de regiones altamente repetidas en el genoma de *C. glabrata* a partir de la frecuencia de palabras (k-meros).

El análisis de las regiones altamente repetidas en el genoma de *C. glabrata* se realizó mediante el cálculo de frecuencias absolutos de "palabras" de una longitud predefinida. Inicialmente sólo se contabilizaron coincidencias exactas para aprovechar la flexibilidad del lenguaje Python de utilizar la estructura de datos conocida como "Hash" o "directorio". En esta estructura de datos, cada palabra se utiliza como "llave" o referencia única, de tal forma que al ir recorriendo la secuencia genómica en "ventanas" que se desplazan un nucleótido a la vez, se tienen tantas ventanas como nucleótidos tiene el genoma de estudio. Palabras idénticas constituyen la misma llave, de tal forma que su valor correspondiente, dentro del

hash de frecuencias absolutas, será incrementado en una unidad cada vez que dicha *llave* aparezca en la secuencia al momento de ir "deslizando" la ventana de análisis (Figura 18).

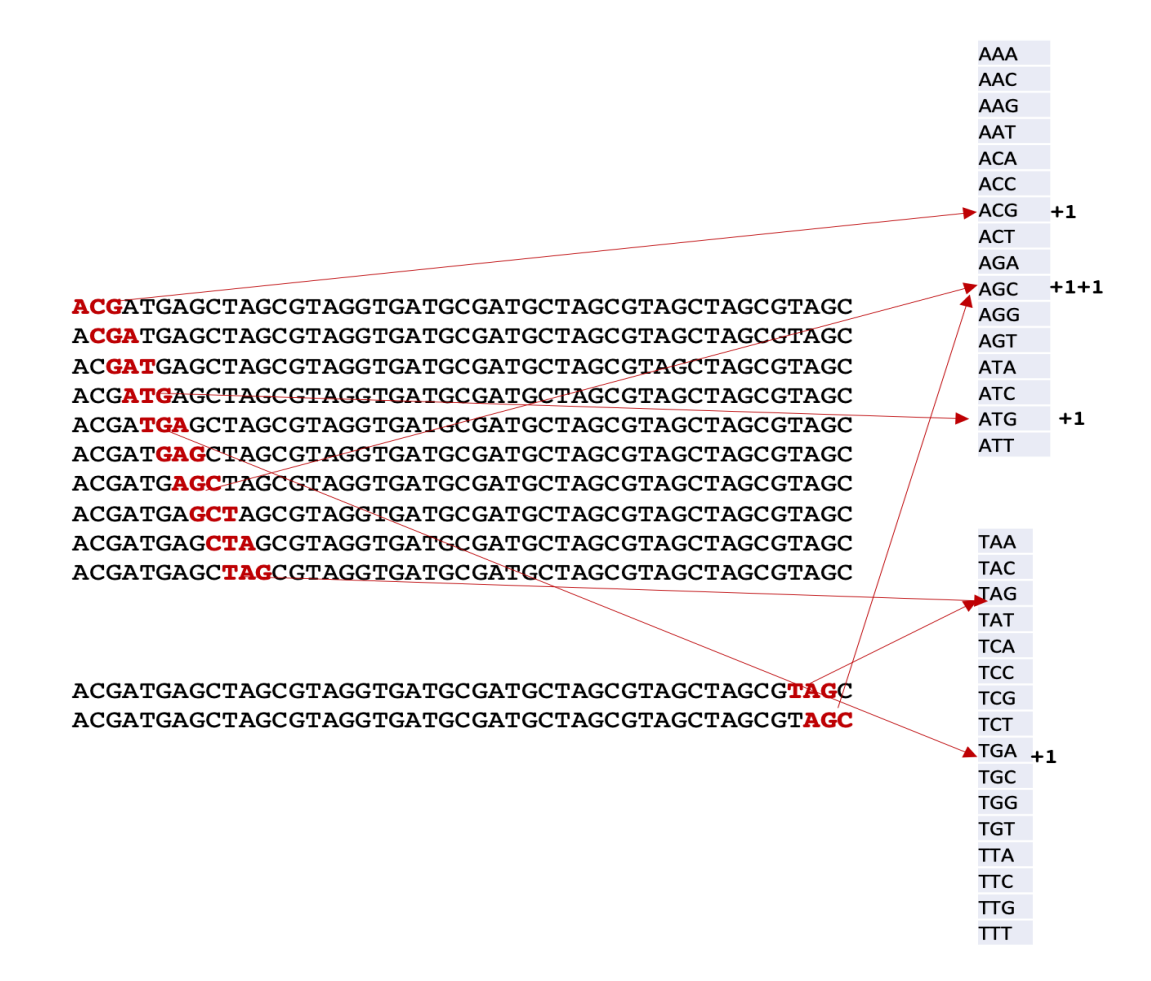


Figura 18. Cálculo de frecuencias absolutas de palabras mediante el uso de estructuras Hash. En el ejemplo el tamaño de las palabras que se quieren contabilizar es de tres nucleótidos. En nuestro ejemplo, cada renglón representa un ciclo. En cada ciclo: a) una subsecuencia de longitud 3 (letras en color rojo), es tomada de la secuencia genómica y constituye la *llave* es transformada a un valor entero, o índice, que indica la posición que tendrá que ser incrementada en una unidad. B) Posteriormente, la ventana de análisis se "desliza" en un nucleótido hacia adelante para encontrar una nueva "*llave*" y su correspondiente índice, que indica la nueva posición que tendrá que ser incrementada en una unidad. C) Al final del proceso, se consideran para análisis posteriores, sólo aquellas cuyas frecuencias sean mayores a un valor preestablecido.

Los resultados de frecuencias varían significativamente dependiendo de tres variables:

- 1) Tamaño de la palabra (lon_palabra).
- 2) Tamaño de la secuencia (lon secuencia).

3) Número de los diferentes tipos de caracteres en la secuencia (n_tipos). Para una secuencia de DNA, n_tipos = 4, ya que existen cuatro diferentes tipos de nucleótidos, mientras que para una secuencia de proteinas n_tipos = 20, que corresponde a los 20 diferentes tipos de aminoácidos.

En el caso del genoma de *C. glabrata*, n_tipos = 4 y lon_secuencia = 12,338,308 nucleótidos distribuidos en 13 cromosomas y el DNA mitocondrial. La frecuencia esperada de una palabra de longitud *lon_palabra* en una secuencia aleatoria de longitud *lon_secuencia* es igual a:

Considerando dicha ecuación, la frecuencia esperada de palabras repetidas en el genoma de *C. glabrata* se muestra en la Figura 19.

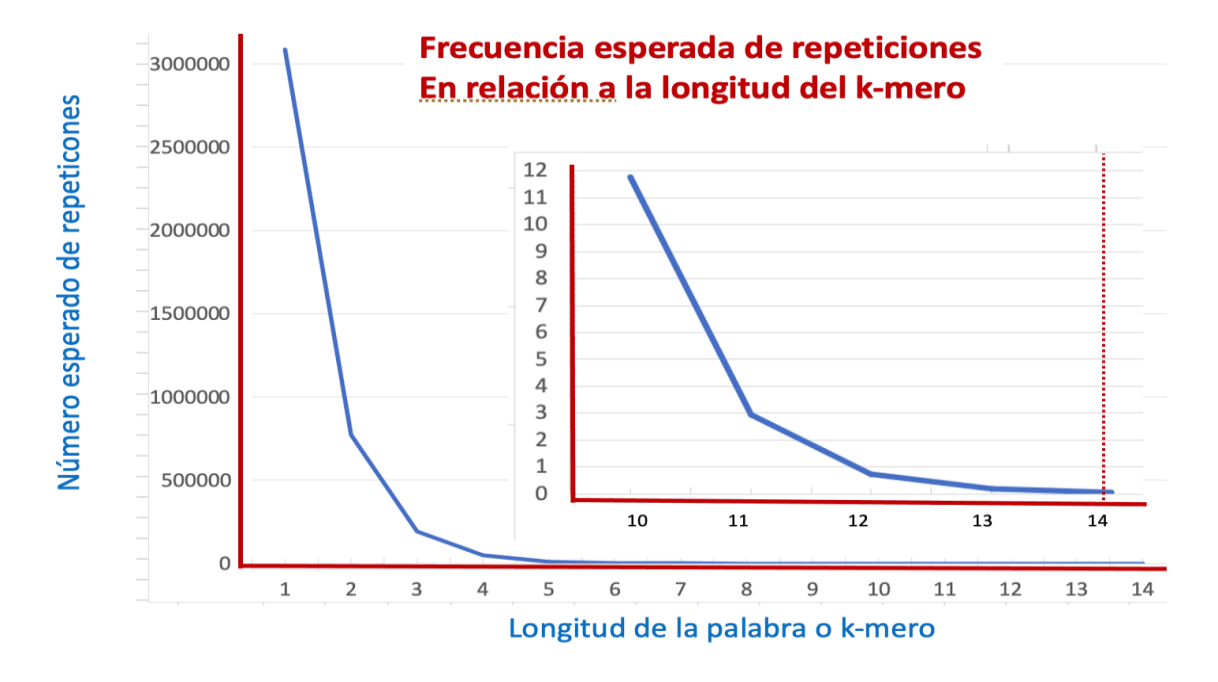


Figura 19. Cálculo de la frecuencia esperada de k-meros en función de su longitud, considerando una secuencia del tamaño del genoma de *C. glabrata*. Se muestra la gráfica a gran escala (k-meros de 1 a 14 nt) y pequeña escala (k-meros de 10 a 14 nt) de donde se puede observar que la longitud necesaria de un k-mero para que en promedio se espere que sea único o poco frecuente en el genoma de *C. glabrata*, es de al menos 14 nucleótidos.

De la anterior gráfica se puede inferir que una palabra tomada al azar, cuya longitud es de 14 nucleótidos, no se espera encontrarla en el genoma de *C. glabrata*, ya que se puede observar que va disminuyendo el número de repeticiones en función de la longitud del k-mero. En nuestro estudio se evaluaron diferentes longitudes de palabras mayores a 14 y encontramos que la longitud de 25 nucleótidos es adecuada para considerar que no aparecerá múltiples veces al azar. Por simplicidad en la representación de resultados, la palabra usada fue de 20 nt, pero para el diseño final se consideraron oligonucleótidos de 25 nt (Figura 20).

Análisis de **palabras más frecuentes** en el genoma de Candida glabrata

NNNNNNNNNNNNNNNNNNNNNNNNNNNNNNNNNNNNNNN	486	CCGTTGCCCTTGTCGATCGT	73	GATCGACAAGGGCAACGGTG	58
ACTGGATCTCGTTCTTCATC	97	GTTGCCCTTGTCGATCGTCG	72	AGTCACCGTTGCCCTTGTCG	58
CTGGATCTCGTTCTTCATCA	97	ACGACGATCGACAAGGGCAA	72	ATCGACAAGGGCAACGGTGA	58
GTGATGAAGAACGAGATCCA	97	CGTTGCCCTTGTCGATCGTC	72	TCGACAAGGGCAACGGTGAC	58
TGGATCTCGTTCTTCATCAC	97	GACGATCGACAAGGGCAACG	72	CGATCGACAAGGGCAACGGT	58
GACTGGATCTCGTTCTTCAT	97	CGACGATCGACAAGGGCAAC	72	CACCGTTGCCCTTGTCGATC	58
ATGAAGAACGAGATCCAGTC	97	TTGCCCTTGTCGATCGTCGT	72	GACCTTGTTTCGCACATCAC	58
TGATGAAGAACGAGATCCAG	97	ATCCCATTGAAGCCAAGTGA	64	CTCGAAGTCACCGTTGCCCT	57
GATGAAGAACGAGATCCAGT	97	TCACTTGGCTTCAATGGGAT	64	TCTGGCTCTGGCTCTGGTTC	57
TTTTTTTTTTTTTTTTTTTTTT	92	ATCACTTGGCTTCAATGGGA	62	GAACCAGAGCCAGAGCCAGA	57
AAAAAAAAAAAAAAAA	92	TCCCATTGAAGCCAAGTGAT	62	AGGGCAACGGTGACTTCGAG	57
ATATATATATATATATAT	84	CATCACTTGGCTTCAATGGG	62	GGGCAACGGTGACTTCGAGA	56
GGCTCTGGCTCTGG	82	CCCATTGAAGCCAAGTGATG	62	TCTCGAAGTCACCGTTGCCC	56
CCAGAGCCAGAGCC	82	ACCAGAGCCAGAGCCAGAGC	60	CTCTGGCTCTGGCTCTGGTT	56
TCTGGTTCCAACCCAGGTGG	78	GCTCTGGCTCTGGCT	60	AACCAGAGCCAGAGCCAGAG	56
CCACCTGGGTTGGAACCAGA	78	GACAAGGGCAACGGTGACTT	59	GCAACGGTGACTTCGAGACA	55
TCCAACCCAGGTGGCTCTGG	77	AAGTCACCGTTGCCCTTGTC	59	GCCGGCGAGGCCGACTACAC	55
GTTCCAACCCAGGTGGCTCT	77	CAAGGGCAACGGTGACTTCG	59	TTGAAGCCAAGTGATGCCGG	55
GGTTCCAACCCAGGTGGCTC	77	TCGAAGTCACCGTTGCCCTT	59	CGGCATCACTTGGCTTCAAT	55
AGAGCCACCTGGGTTGGAAC	77	ACAAGGCAACGGTGACTTC	59	ATTGAAGCCAAGTGATGCCG	55
CCAGAGCCACCTGGGTTGGA	77	AGCAGCACCAGGACGTACAG	59	CCTGAACCAGAGCCAGAGCC	55
TTCCAACCCAGGTGGCTCTG	77	CTGTACGTCCTGGTGCTGCT	59	GCATCACTTGGCTTCAATGG	55
GAGCCACCTGGGTTGGAACC	77	GAAGTCACCGTTGCCCTTGT	59	GGCATCACTTGGCTTCAATG	55
CAGAGCCACCTGGGTTGGAA	77	AAGGGCAACGGTGACTTCGA	59	GTAGGCTTGCCGTCAGAGTC	55
AGCCACCTGGGTTGGAACCA	75	CGAAGTCACCGTTGCCCTTG	59	GCTCTGGCTCTGGTTCAGGC	55
GCCACCTGGGTTGGAACCAG	75	GTCACCGTTGCCCTTGTCGA	58	TCTGTCTCGAAGTCACCGTT	55
CTGGTTCCAACCCAGGTGGC	75	CGACAAGGGCAACGGTGACT	58	GGTCTGTCTCGAAGTCACCG	55
TGGTTCCAACCCAGGTGGCT	75	ACCGTTGCCCTTGTCGATCG	58	AGGTCTGTCTCGAAGTCACC	55
TATATATATATATATATA	74	TCACCGTTGCCCTTGTCGAT	58	CGGTGACTTCGAGACAGACC	55
ACGATCGACAAGGGCAACGG	73	GTGATGTGCGAAACAAGGTC	58	CAACGGTGACTTCGAGACAG	55

Figura 20. Evaluación de k-meros más frecuentes en el genoma de *C. glabrata*. Esquema que muestra la frecuencia de palabras mediante referencias tipo Hash, llaves con longitudes de palabras de 20 letras; a un costado de éstas, se observa el número de repeticiones en las que se encuentran dichas palabras. Las regiones en donde se representan los nucleótidos indefinidos con la letra *n*, son las que tienen una mayor frecuencia, seguido de las palabras de bajo contenido informacional resaltadas en amarillo, consistentes en repeticiones de uno, dos o más nucleótidos idénticos. No obstante, también se pueden observar palabras informativas que se repiten más de sesenta veces, marcadas en azul. Estas secuencias son candidatas para ser consideradas en el diseño de oligos de este trabajo.

I.3. Identificación de secuencias satélites en el genoma de *C. glabrata*.

Con el propósito de identificar regiones repetidas de mayor longitud que indiquen la presencia de secuencias satélites, se evaluaron la distancias entre palabras que comparten la misma secuencia. Estas distancias entre palabras fueron evaluadas a partir de sus posiciones dentro de cada uno de los 14 cromosomas de *C. glabrata*. Como puede observarse en la (Figura 21), las longitudes entre las palabras pueden no ser únicas, lo que indica una variación en el tamaño de las secuencias satélites.

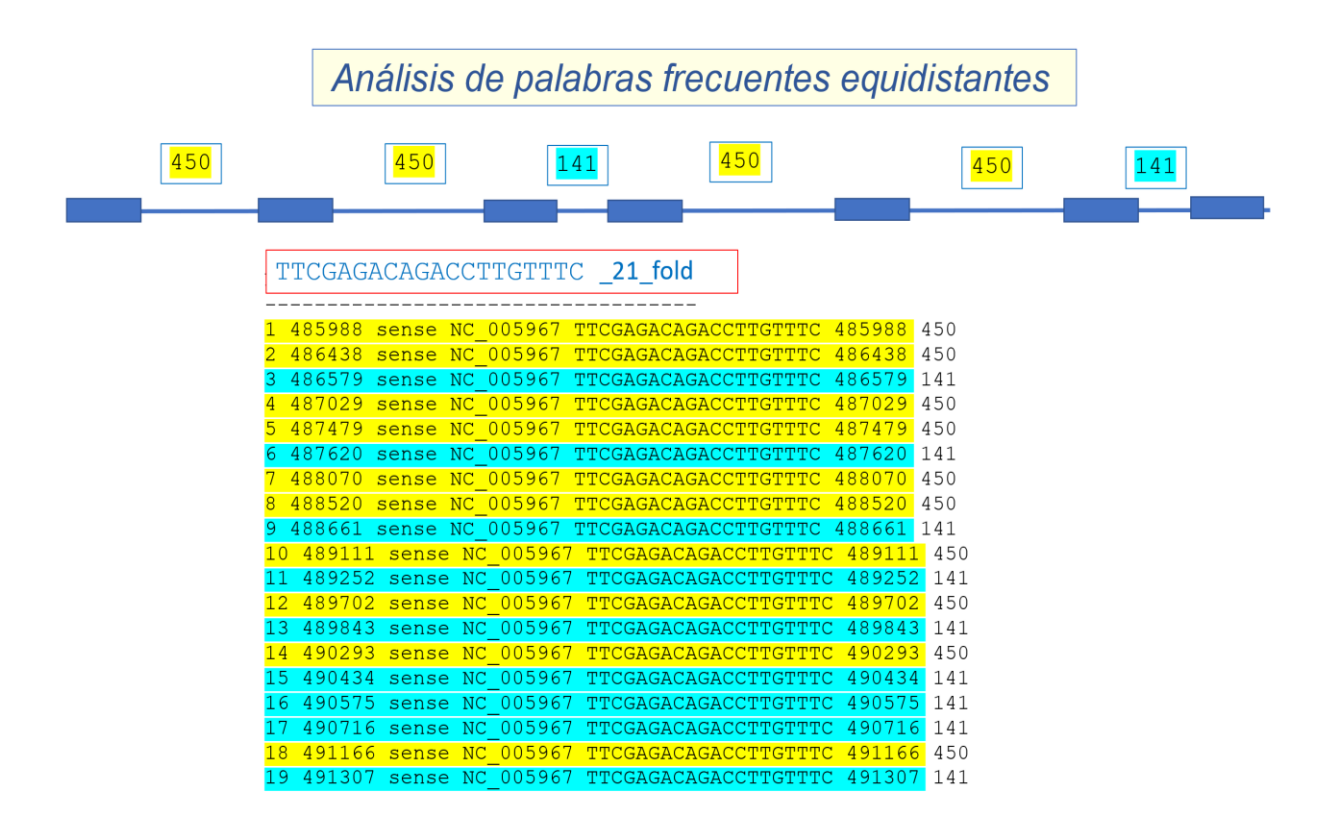


Figura 21. Cálculo de la distancia entre palabras repetidas en el genoma de *C. glabrata* que pudieran indicar la presencia de secuencias satélites. En la figura se representa la repetición de la palabra TTCGAGACAGACCTTGTTTC que, de acuerdo con las posiciones genómicas, pudieran equidistar 450 o 141 nucleótidos.

En la Figura 22, se enlistan el número de repeticiones en palabras con mayor frecuencia de aparición en el genoma de *C. glabrata* y la distancia que separa las copias entre sí, así como las palabras equidistantes con mayor frecuencia.

Análisis de la distancia a la que equidistan las palabras más frecuentes en el genoma de Candida glabrata

Número de repeticiones	Distancia entre palabras (nucleótidos) 300		
691	141		
351	450		
155	54		
135	48		
103	75		
85	60		
85	114		
77	120		
72	39		
70	135		
68	81		
68	108		
65	78		
64	24		
60	42		
57	3		
48	45		
48	174		

Figura 22. Palabras más frecuentes equidistantes en el genoma de *C. glabrata*. Esquema que representa la distancia más frecuente entre palabras idénticas, de donde se puede apreciar que la palabra, o k-mero más frecuente en el genoma de *C. glabrata* se repite 1,070 ocasiones y que las copias de dicha palabra equidistan 300 nucleótidos entre sí. La siguiente palabra con mayor frecuencia se repite 691 veces y dichas palabras equidistan 141 nucleótidos entre sí, y así, sucesivamente.

Análisis de palabras frecuentes equidistantes Longitud de la repetición: 300 nt

Posición = 1013582

ATGAAGAACGAGATCCAGTCCGACTCAATGTAGTCCGACGCAGTGGTGGCTGTCACAGTCACCGGTGGAGGACTGTAGGTGGCCGTCGAGTTTGTCGTGATCAGAC
CCCCGAATTCATTGGTGGTCGTCCAGTAGCTGATGACCAGATACTCAGTCACTTCGTTGCCCAGATCAACTGTCTTCGTCACAGCTGGAGGTGCAGGCCCGAACGACG
TGTGGGGGGGCCTCCGGCAAGTTGTAGTCACGCGTTGAACAGAGTGCTGCTCGTAACAATATCGCCCTTCTCATCAGTGGTGATGAAGAACGAGATCCAGTC
Posición = 2207785

ATGAAGAACGAGATCCAGTCCGACTCAATGTAGTCCGACGCAGTGGTGGCTGTCACAGTCACCGGTGGAGGACTGTAGGTGGCCGTCGAGTTTGTCGTGATCAGAC
CCCCGAATTCATTGGTGGTCGTCCAGTAGCCAGATACTCAGTCACTTCGTTGCCCAGATCAACTGTCTTCGTCACAGCTGGAGGTGCAGGCCCGAACGACG
TGTGGGGGGGCCTCCGGCAAGTTGTAGTCACGCGTTGGACAGAGTGCTGCTCGTAACAATATCGCCCTTCTCATCAGTGGTGATGAAGAACGAGATCCAGTC
Posición = 2208085

ATGAAGAACGAGATCCAGTCCGACTCAATGTAGTCGACGCATGGTGGCTGTCACAGTCAACCGGTTGGAGGACTGTAGGTGGCCGTCGAGTTTGTCGTGATCAGAC CCCCGAATTCATTGGTGCGTCCAGTAGCTGATGACCAGATACTCAGTCACTTCGTTGCCAGATCAACTGTCTTCGTCACAGCTGGAGGTGCAGGCCCGAACGACG TGTGGGGGGCCCTCCGGCAAGTTGTAGTCACGCGTGGCGTTGAACAGAGTGCTGCTCGTAACAATATCGCCCTTCTCATCAGTGGTGATGAAGAACGAGATCCAGT

Figura 23. Análisis de palabras que equidistan 300 nucleótidos en el genoma de *C. glabrata*. La figura muestra al K-mero ATGAAGAACGAGATCCAGTC de longitud de 20 nucleótidos y 280 nucleótidos contiguos, de tal manera que los fragmentos repetidos distan 300 nucleótidos, que se repite 1070 veces en el genoma de *C. glabrata* (Ver Figura 22). La posición del inicio de cada fragmento está indicada. Para diferenciar los fragmentos contiguos, éstos se muestran en colores azul y café de manera alternativa.

Análisis de palabras frecuentes equidistantes Longitud de la repetición: 141 nt

p = 486454

Figura 24. Análisis de palabras que equidistan 141 nucleótidos en el genoma de *C. glabrata*. La figura muestra al K-mero CGCACATCACGACCAAG de longitud de 20 nucleótidos y 121 nucleótidos contiguos, de tal manera que los fragmentos repetidos distan 141 nucleótidos, que se repite 691 veces en el genoma de *C. glabrata* (Ver Figura 22). La posición del inicio de cada fragmento está indicada. Para diferenciar los fragmentos contiguos, éstos se muestran en colores azul y café de manera alternativa.

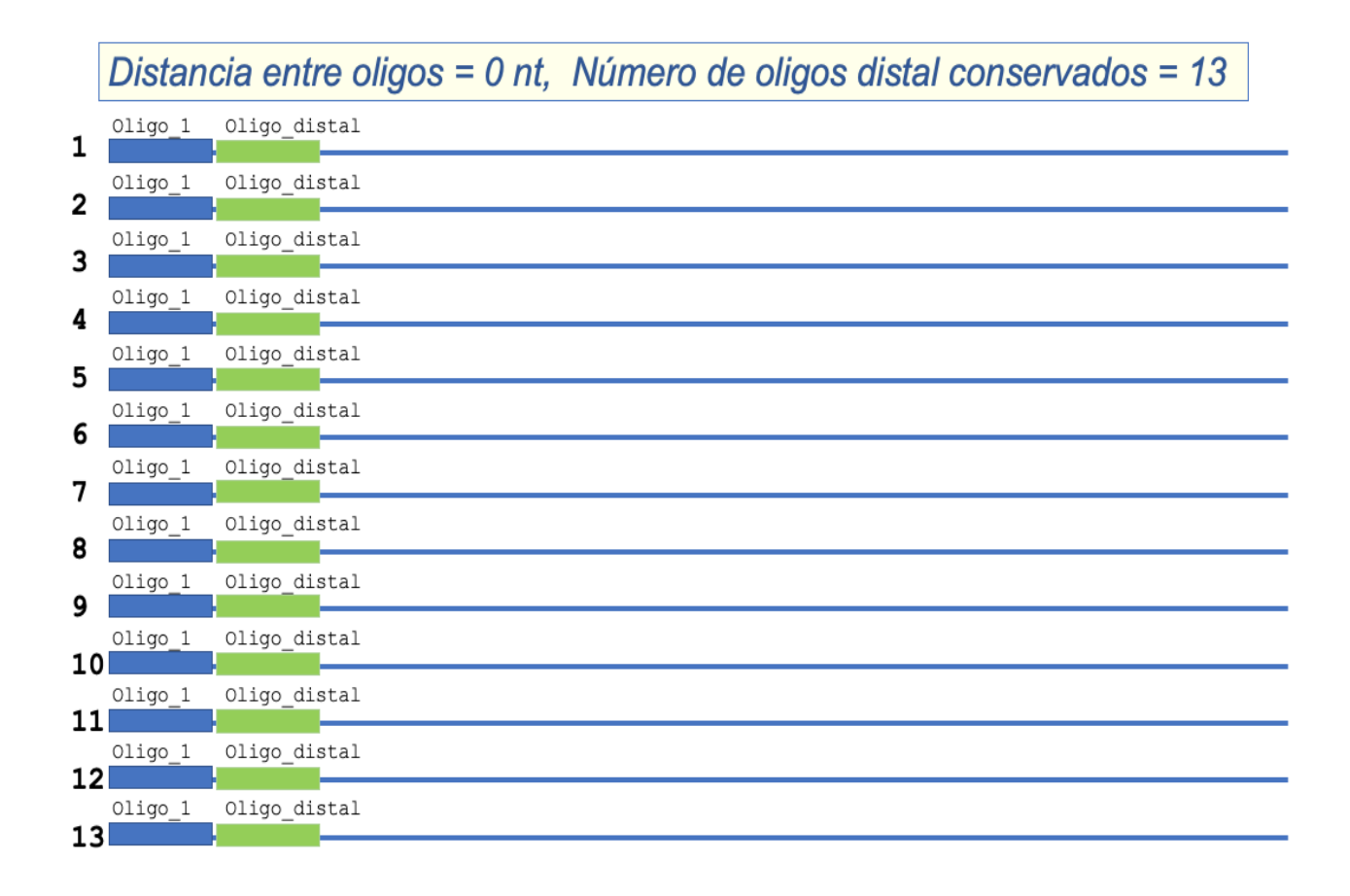
Análisis de palabras frecuentes equidistantes Longitud de la repetición: 450 nt

p = 485554

Figura 25. Análisis de palabras que equidistan 450 nucleótidos en el genoma de *C. glabrata*. La figura muestra al K-mero CGCACATCACGACCAAG de longitud de 20 nucleótidos y 430 nucleótidos contiguos, de tal manera que los fragmentos repetidos distan 450 nucleótidos, que se repite 351 veces en el genoma de *C. glabrata* (ver Figura 22). La posición del inicio de cada fragmento está indicada. Para diferenciar los fragmentos contiguos, éstos se muestran en colores azul y café de manera alternativa.

I.4. Cálculo de frecuencias de palabras vecinas de los k-meros más frecuentes.

Las palabras o k-meros correspondientes a potenciales regiones satélites en el genoma de *C. glabrata* se ordenaron en términos de su frecuencia absoluta, de mayor a menor. Para cada una de dichas palabras que, por cuestiones explicativas, llamaremos k-mero izquierdo, se realizó un proceso de análisis de palabras "vecinas" río abajo, que, por cuestiones explicativas, llamaremos k-mero derecho. Es importante mencionar que, en nuestro estudio, ambos k-meros deberán de ser de la misma longitud para favorecer que tiendan a poseer valores similares de apareamiento con el DNA, y que se verificará a posteriori en un análisis termodinámico. Los k-meros derechos así seleccionados son agrupados en sus convenientes distancias a su correspondiente k-mero izquierdo, tal y como se esquematiza en las Figura 26 y en la Tabla 3. El análisis realizado en esta sección será la base para evaluar los potenciales productos de amplificación en una reacción de PCR, en etapas posteriores del análisis.



Distancia entre oligos = 1 nt, Número de oligos distal conservados = 12 Oligo_1 N Oligo_distal 1 Oligo_1 N Oligo_distal 2 Oligo_1 N Oligo_distal 3 Oligo_1 N Oligo_distal Oligo_1 N Oligo_distal 5 Oligo_1 N Oligo_distal 6 Oligo_1 N Oligo_distal 7 Oligo_1 N Oligo_distal Oligo_1 N Oligo_distal 8 Oligo_1 N Oligo_distal Oligo_1 N Oligo_distal 10 Oligo_distal Oligo_1 Oligo_1 N Oligo_distal 12





Figura 26. Representación del cálculo de frecuencias de palabras vecinas. Dada una palabra identificada como frecuente en el genoma de *C. glabrata* (representada por el rectángulo azul y con la etiqueta Oligo_1), se contabilizó la frecuencia con la que sus palabras vecinas cuya secuencia está conservada se encontraban a distancias específica; de 0, 1, 2, y 10 nucleótidos, representados por los rectángulos de los colores verde, amarillo, café y morado, respectivamente. Dichos rectángulos tienen la etiqueta Oligo_distal. La identidad en el color de los rectángulos representa identidad en la secuencia de las palabras, esto quiere decir que los rectángulos cuyo color difiera a los colores de oligos distales cuyos colores son: verde, amarillo, café y morado, representan palabras con secuencias distintas a las del consenso.

I.5. Índice de visibilidad relativa.

En la mayoría de las técnicas de cuantificación de DNA, la capacidad de identificar un fragmento de DNA es directamente proporcional al número de nucleótidos del fragmento y

al número de veces que dicho fragmento exista en la muestra analizada. Con el propósito de contar con una medida de la *visibilidad relativa esperada* de los productos de PCR a ser amplificados, propusimos una simple función que varía de manera directa y proporcional al tamaño del producto esperado y al número de copias de dicha región en el genoma de *C. glabrata*, de tal forma que la función propuesta es:

Índice de visibilidad relativa = Lon_secuencia X número de repeticiones

Debido a que, en términos generales, la conservación de las palabras vecinas decrece a medida que la distancias entre ellas aumenta, el *índice de visibilidad relativa* no necesariamente aumentará de manera lineal conforme la longitud de la secuencia esperada se haga mayor, (oligos más distantes) y por ello, cada palabra a ser considerada como un primer oligo en la reacción de PCR, tendrá un vecino para el cual el *índice de visibilidad relativa* sea óptimo. En la Tabla 3 se muestra los valores del *índice de visibilidad relativa* para el K-mero ACTGGATCTCGTTCTTCATC que se repite 97 veces en el genoma de *C. glabrata*, y en la Figura 27 se muestra la representación gráfica del *índice de visibilidad relativa* para los k-meros TTTCGCACATCACGACCAAG y TTGAGAGCGACTGGATCTCG que se repiten 41 veces en dicho genoma.

Pb entre	Oligo izquierdo	Oligo Derecho	Veces en	Longitud	Índice de
oligos		<u> </u>	el genoma	del PCR	visibilidad relativa
0	ACTGGATCTCGTTCTTCATC	ACTGTTGATGAGAAGGGAGA	36	40	1440
1	ACTGGATCTCGTTCTTCATC	CTGTTGATGAGAAGGGAGAG	35	41	1435
2	ACTGGATCTCGTTCTTCATC	TGTTGATGAGAAGGGAGAGA	35	42	1470
3	ACTGGATCTCGTTCTTCATC	GTTGATGAGAAGGGAGAGAT	35	43	1505
4	ACTGGATCTCGTTCTTCATC	TTGATGAGAAGGGAGAGATT	35	44	1540
5	ACTGGATCTCGTTCTTCATC	TGATGAGAAGGGAGAGATTG	34	45	1530
6	ACTGGATCTCGTTCTTCATC	GATGAGAAGGGAGAGATTGT	34	46	1564
7	ACTGGATCTCGTTCTTCATC	ATGAGAAGGGAGAGATTGTT	34	47	1598
8	ACTGGATCTCGTTCTTCATC	TGAGAAGGGAGAGATTGTTA	34	48	1632
9	ACTGGATCTCGTTCTTCATC	GAGAAGGGAGAGATTGTTAC	34	49	1666
10	ACTGGATCTCGTTCTTCATC	AGAAGGGAGAGATTGTTACC	34	50	1700
11	ACTGGATCTCGTTCTTCATC	GAAGGGAGAGATTGTTACCA	34	51	1734
12	ACTGGATCTCGTTCTTCATC	AAGGGAGAGATTGTTACCAG	34	52	1768
13	ACTGGATCTCGTTCTTCATC	AGGGAGAGATTGTTACCAGC	34	53	1802
14	ACTGGATCTCGTTCTTCATC	GGGAGAGATTGTTACCAGCA	34	54	1836
15	ACTGGATCTCGTTCTTCATC	GGAGAGATTGTTACCAGCAG	31	55	1705
16	ACTGGATCTCGTTCTTCATC	GAGAGATTGTTACCAGCAGC	31	56	1736
17	ACTGGATCTCGTTCTTCATC	AGAGATTGTTACCAGCAGCA	31	57	1767
18	ACTGGATCTCGTTCTTCATC	GAGATTGTTACCAGCAGCAC	31	58	1798
19	ACTGGATCTCGTTCTTCATC	AGATTGTTACCAGCAGCACT	31	59	1829
20	ACTGGATCTCGTTCTTCATC	GATTGTTACCAGCAGCACTC	31	60	1860
21	ACTGGATCTCGTTCTTCATC	ATTGTTACCAGCAGCACTCT	31	61	1891
22	ACTGGATCTCGTTCTTCATC	TTGTTACCAGCAGCACTCTG	31	62	1922
23	ACTGGATCTCGTTCTTCATC	TGTTACCAGCAGCACTCTGT	31	63	1953
24	ACTGGATCTCGTTCTTCATC	GTTACCAGCAGCACTCTGTT	31	64	1984
25	ACTGGATCTCGTTCTTCATC	TTACCAGCAGCACTCTGTTC	32	65	2080
26	ACTGGATCTCGTTCTTCATC	TACCAGCAGCACTCTGTTCA	32	66	2112
27	ACTGGATCTCGTTCTTCATC	ACCAGCAGCACTCTGTTCAA	32	67	2144
28	ACTGGATCTCGTTCTTCATC	CCAGCAGCACTCTGTTCAAT	32	68	2176
29	ACTGGATCTCGTTCTTCATC	CAGCAGCACTCTGTTCAATG	32	69	2208
30	ACTGGATCTCGTTCTTCATC	AGCAGCACTCTGTTCAATGC	35	70	2450
31	ACTGGATCTCGTTCTTCATC	GCAGCACTCTGTTCAATGCT	32	71	2272
32	ACTGGATCTCGTTCTTCATC	CAGCACTCTGTTCAATGCTA	33	72	2376
33	ACTGGATCTCGTTCTTCATC	AGCACTCTGTTCAATGCTAC	33	73	2409
34	ACTGGATCTCGTTCTTCATC	GCACTCTGTTCAATGCTACG	32	74	2368
35	ACTGGATCTCGTTCTTCATC	CACTCTGTTCAATGCTACGC	35	75	2625
36	ACTGGATCTCGTTCTTCATC	ACTCTGTTCAATGCTACGCG	35	76	2660
37	ACTGGATCTCGTTCTTCATC	CTCTGTTCAATGCTACGCGT	35	77	2695
38	ACTGGATCTCGTTCTTCATC	TCTGTTCAATGCTACGCGTG	35	78	2730
39	ACTGGATCTCGTTCTTCATC	CTGTTCAATGCTACGCGTGA	54	79	4266
40	ACTGGATCTCGTTCTTCATC	TGTTCAATGCTACGCGTGAC	52	80	4160
41	ACTGGATCTCGTTCTTCATC	GTTCAATGCTACGCGTGACT	52	81	4212
42	ACTGGATCTCGTTCTTCATC	TTCAATGCTACGCGTGACTA	52	82	4264
43	ACTGGATCTCGTTCTTCATC	TCAATGCTACGCGTGACTAC	52	83	4316
44	ACTGGATCTCGTTCTTCATC	CAATGCTACGCGTGACTACA	52	84	4368
45	ACTGGATCTCGTTCTTCATC	AATGCTACGCGTGACTACAT	26	85	2210

Tabla 3. Evaluación del *índice de la visibilidad relativa* de las palabras más frecuentes en el genoma de *C. glabrata*. En la tabla se muestran las palabras vecinas (tercera columna) a la palabra ACTGGATCTCGTTCTTCATC (segunda columna), que resultó ser una de las palabras más frecuentes en el genoma de *C. glabrata*, con 97 repeticiones. En la primera columna se indica la separación o número de nucleótidos entre las pares palabras, y en la columna del extremo derecho se indica el número de veces que los diferentes pares de palabras se encuentran repetidos. El renglón resaltado en amarillo indica que el par de palabras ACTGGATCTCGTTCTTCATC y CTGTTCAATGCTACGCGTGA separados 39 nucleótidos, se encuentra en el genoma de *C. glabrata* 54 veces.

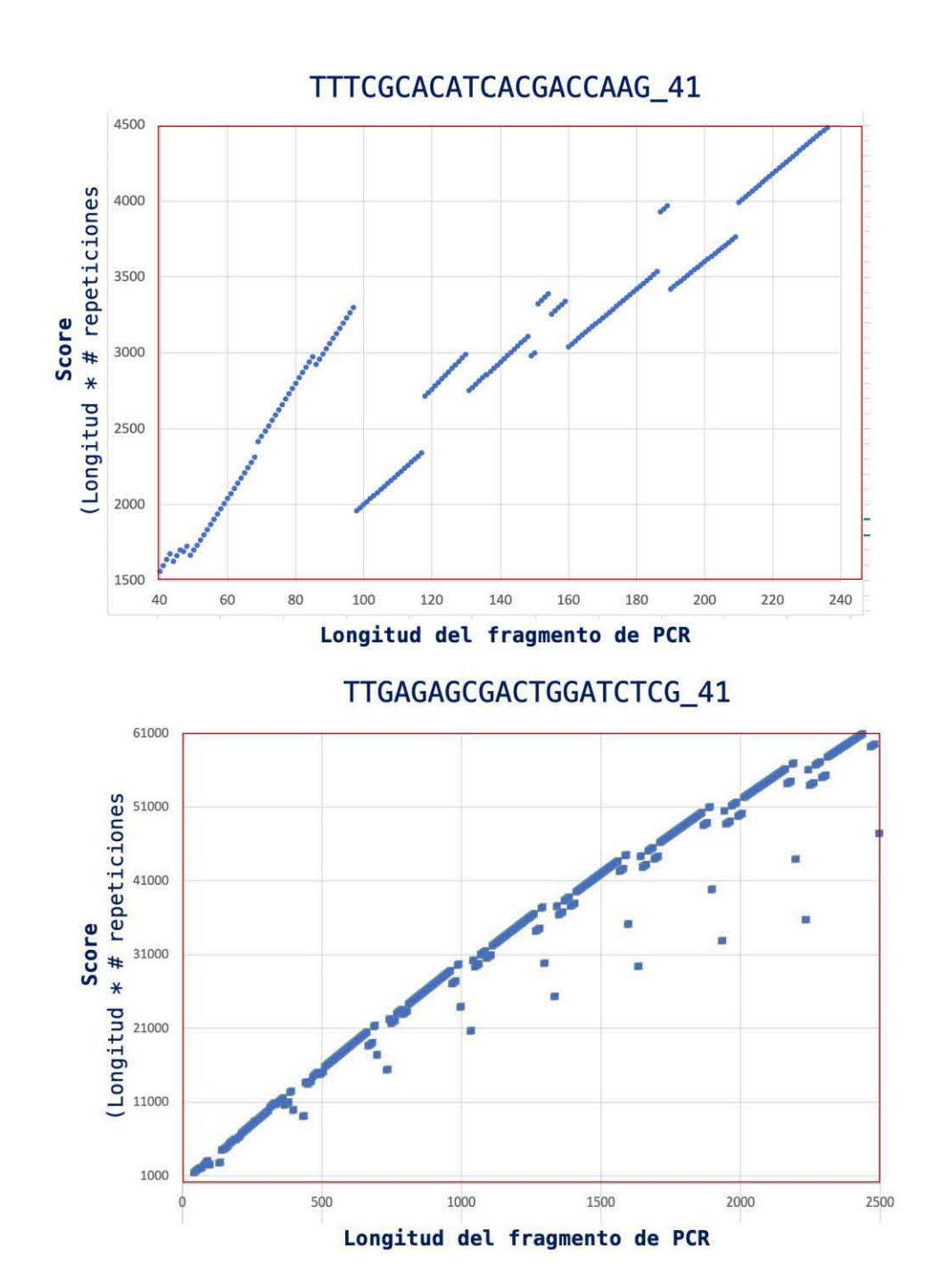
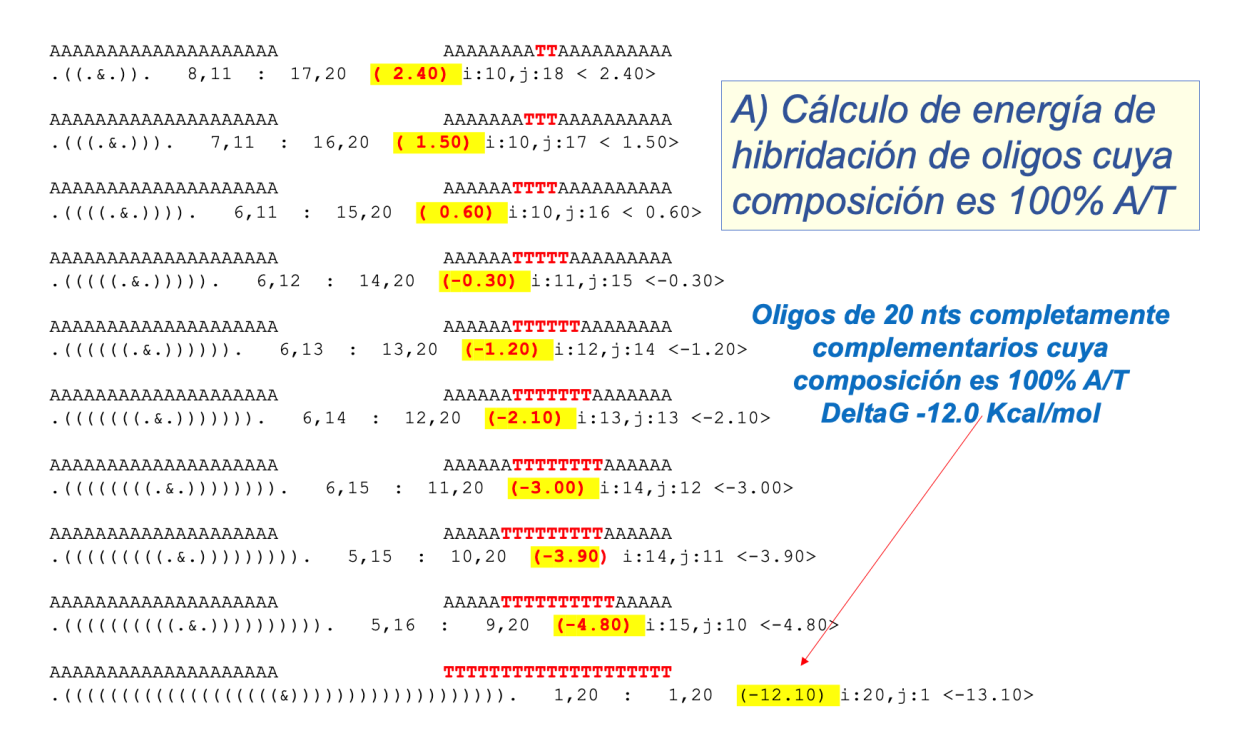


Figura 27. Evaluación del *índice de la visibilidad relativa* para dos k-meros que se repiten 41 veces en el genoma de *C. glabrata*. El *índice de visibilidad relativa* de nuestros productos de PCR a ser amplificados se obtiene al multiplicar el tamaño del fragmento amplificado por el número de copias en la que las palabras analizadas se encuentran equidistantes. Es importante notar que para palabras con la misma frecuencia inicial (TTTCGCACATCACGACCAAG y TTGAGAGCGACTGGATCTCG, 41 veces), el *índice de visibilidad relativa* puede diferir significativamente (4,500 vs 61,000, respectivamente).

II) Análisis de las propiedades termodinámicas de los potenciales oligonucleótidos para el ensayo de amplificación por PCR.

En la primera sección de este trabajo, (I. Análisis de la frecuencia absoluta de todas las posibles palabras dentro de la secuencia genómica) estuvo enfocada en la determinación de la frecuencia absoluta de todos los posibles k-meros y la definición aquellos que se repiten junto con K-meros vecinos con mayor frecuencia, siempre contemplando exclusivamente K-meros 100% idénticos. En esta segunda etapa, ampliaremos nuestro análisis para incluir condiciones que se asemejan más a lo que sucede en una reacción de PCR. En esta segunda sección emplearemos el término *oligonucleótidos*, o sencillamente, *oligos*, a los elementos descritos en la primera parte del estudio como *palabras* o *k-meros*. Adicionalmente, nuestro análisis incluirá las características termodinámicas que definen con mayor precisión, la eficiencia de los pares de oligos a ser usados en reacciones de PCR para la síntesis de DNA por la DNA polimerasa. Como un primer ejemplo, ilustraremos el efecto en el contenido G/C de los oligos parcial o totalmente complementarios, con secuencias con un contenido del 100% A/T (Figura 28A), *versus* oligos con contenidos del 100% G/C (Figura 28B).

II.1 Efecto del contenido de G/C en la energía libre de hibridación de los oligonucleótidos



```
.(.&). 9,11 : 19,20 (2.60) i:10,j:20 < 2.30>
ccccccccccccccc
            CCCCCCC<mark>GG</mark>CCCCCCCCCC
                              B) Cálculo de energía de
((.\&)). 8,11 : 18,20 (-0.70) i:10,j:19 <-1.00>
                              hibridación de oligos cuya
CCCCCCCCCCCCCCCCC
            CCCCCCCCCCCCCCCCC
.(((.a))). 7,11 : 17,20 (-4.00) i:10,j:18 <-4.30>
                              composición es 100% A/T
ccccccccccccccc
            CCCCCC<mark>GGGG</mark>CCCCCCCCCC
.((((.\&)))) 6,11 : 16,20 (-7.30) i:10,j:17 <-7.60>
.(((((.\&))))) 6,12 : 15,20 (-10.60) i:11,j:16 <-10.90>
                                Oligos de 20 nts completamente
CCCCCCCCCCCCCCCCCC
             CCCCCCGGGGGGCCCCCCC
.(((((((.&)))))). 6,13 : 14,20 (-13.90) i:12,j:15 <-14.20>
                                   complementarios cuya
                                  composición es 100% A/T
ccccccccccccccc
             CCCCCCGGGGGGGGCCCCCC
cccccccccccccc
             CCCCCGGGGGGGGCCCCCC
CCCCCCCCCCCCCCCCC
             GGGGGGGGGGGGGGG
```

Figura 28. Efecto del contenido de G/C de oligos en su energía libre de hibridación. En la figura se muestra el resultado del programa RNAplex (http://www.bioinf.uni-leipzig.de/Software/RNAplex/) para la interacción de oligonucleótidos parcial o totalmente complementarios. A) Oligos cuya composición es 100% A/T, B) Oligos con contenidos del 100% G/C.

Adicionalmente al contenido de G/C de los oligonucleótidos, el número y posición de los bases que dentro de la región de hibridación no son complementarios ("mismatches") puede influir de forma significativa en la reacción de amplificación por PCR (Figura 29). Mismatches del nucleótido ubicado en el extremo 3` de los oligonucleótidos no son compatibles con la amplificación de productos de DNA en reacciones de PCR ya que no ofrecen que se tenga un grupo 3'-OH libre a partir del cual se pueda empezar la síntesis 5'→3' de la hebra molde y se agreguen los desoxinucleótidos en la reacción. Mismatches en la región central de los oligos pueden también tener un efecto desestabilizador, mientras que en el extremo 3` tienen efectos menos significativos y pueden ser compatibles con la amplificación en la reacción de PCR (Figura 29).

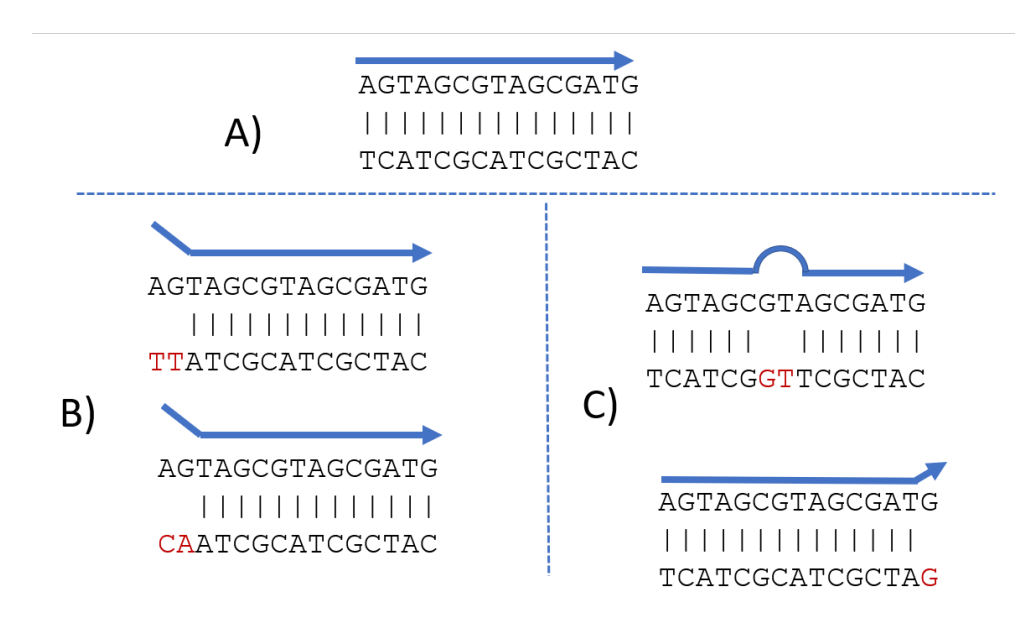


Figura 29. Tipos de complementariedad de oligos y su compatibilidad para la amplificación en ensayos de PCR. A) Totalmente complementarias. B) Parcialmente complementarias y compatibles con la amplificación de productos de PCR C) Parcialmente complementarias e incompatibles con la amplificación de productos de PCR. (Tomado y modificado de Oliveira *et al.*, 2006).

II.2. Resultados representativos para un par de oligos identificados en el proceso de análisis con el genoma de *C. glabrata*.

Del conjunto de posibles pares de oligonucleótidos resultantes del proceso de análisis, en la Figura 30 se muestra el resultado obtenido para un par en específico. Como se puede observar en dicha figura, nuestro programa no sólo identifica las palabras idénticas a las de los oligos seleccionados, si no también, las que, de acuerdo con los parámetros de la temperatura de alineamiento entre las secuencias de los oligos y el DNA genómico, tienen posibilidad de hibridar y producir productos de amplificación reales. Dichos oligos se señalan con un asterisco en la Figura 30.

Oligos	sin considerar mismatches		
2440 TGAGAGCGACTGGATCTCGTTCTTC	CTCTGTTCAATGCTACGCGTGACTA	25	48.10 45.30
2140 TGAGAGCGACTGGATCTCGTTCTTC	CTCTGTTCAATGCTACGCGTGACTA	26	48.10 45.30
1840 TGAGAGCGACTGGATCTCGTTCTTC	CTCTGTTCAATGCTACGCGTGACTA	27	48.10 45.30
1540 TGAGAGCGACTGGATCTCGTTCTTC	CTCTGTTCAATGCTACGCGTGACTA	28	48.10 45.30
1240 TGAGAGCGACTGGATCTCGTTCTTC	CTCTGTTCAATGCTACGCGTGACTA	29	48.10 45.30
940 TGAGAGCGACTGGATCTCGTTCTTC	CTCTGTTCAATGCTACGCGTGACTA	30	48.10 45.30
640 TGAGAGCGACTGGATCTCGTTCTTC	CTCTGTTCAATGCTACGCGTGACTA	31	48.10 45.30
340 TGAGAGCGACTGGATCTCGTTCTTC	CTCTGTTCAATGCTACGCGTGACTA	32	48.10 45.30
40 TGAGAGCGACTGGATCTCGTTCTTC	CTCTGTTCAATGCTACGCGTGACTA	34	48.10 45.30

 Oligos	considerando	mismato	ches	
 	_ Candida gla	brata CI	3S138	

cgr	5p	TGAG TC GGACTGGATCTCGTTCTTC*	484449	484473
cgr	5p	TGAG TC GGACTGGATCTCGTTCTTC*	484749	484773
cgr	5p	TGAG TC GGACTGGATCTCGTTCTTC*	485049	485073
cgr	5p	TGAG TC GGACTGGATCTCGTTCTTC*	485349	485373
cgr	5p	CGAG TC GGACTGGATCTCGTTCTTC*	2203009	2203033
cgr	5p	CGAGTCGGACTGGATCTCGTTCTTC*	2203316	2203340
cgr	5p	CGAGTCGGACTGGATCTCGTTCTTC*	2203619	2203643
cgr	5p	TGAGA $oldsymbol{c}$ CGACTGGATCTCGTTCTTC*	2366148	2366172
cgr	5p	TGAGA $oldsymbol{c}$ CGACTGGATCTCGTTCTTC*	2366448	2366472
cgr	5p	TGAGA $oldsymbol{c}$ CGACTGGATCTCGTTCTTC*	2366748	2366772
cgr	5p	TGAGA $oldsymbol{c}$ CGACTGGATCTCGTTCTTC*	2367048	2367072
cgr	5p	TGAGA $oldsymbol{c}$ CGACTGGATCTCGTTCTTC*	2367348	2367372
cgr	5p	TGAGAG T GACTGGATCTCGTTCTTC*	6854954	6854978
cgr	5p	TGAGAG T GACTGGATCTCGTTCTTC*	6855254	6855278
cgr	5p	TGAGAG T GACTGGATCTCGTTCTTC*	6855554	6855578
cgr	5p	TGAGAG T GACTGGATCTCGTTCTTC*	6855854	6855878
cgr	5p	TGAGAG T GACTGGATCTCGTTCTTC*	6856154	6856178
cgr	5p	TGAGAG T GACTGGATCTCGTTCTTC*	6856454	6856478
cgr	5p	TGAGAG T GACTGGATCTCGTTCTTC*	6856754	6856778
cgr	5p	TGAGAG T GACTGGATCTCGTTCTTC*	6857054	6857078
cgr	5p	TGAGAG T GACTGGATCTCGTTCTTC*	6857354	6857378
cgr	5p	TGAGAG T GACTGGATCTCGTTCTTC*	6857654	6857678
cgr	5p	TGAGAG T GACTGGATCTCGTTCTTC*	6857955	6857979
cgr	5p	TGAGAG T GACTGGATCTCGTTCTTC*	6858255	6858279
cgr	5p	TGAGAG T GACTGGATCTCGTTCTTC*	6858555	6858579
cgr	5p	TGAGAGCGACTGGATCTCGTTCTTC	6858855	6858879
cgr	5p	TGAGA C CGACTGGATCTCGTTCTTC*	10545607	10545631
cgr	5p	TGAGA C CGACTGGATCTCGTTCTTC*	10545907	10545931
cgr	5p	TGAGA C CGACTGGATCTCGTTCTTC*	10546207	10546231
cgr	5p	TGAGA C GGACTGGATCTCGTTCTTC*	10887622	10887646
cgr	5p	TGAGA C GGACTGGATCTCGTTCTTC*	10887922	10887946
cgr	5p	TGAGA C GGACTGGATCTCGTTCTTC*	10888222	10888246
cgr	5p	TGAGA C GGACTGGATCTCGTTCTTC*	10888522	10888546
cgr	5p	TGAGA C GGACTGGATCTCGTTCTTC*	10888822	10888846

cgr	5p	TGAGA C GGACTGGATCTCGTTCTTC*	10889122	10889146
cgr	5p	TGAGA C GGACTGGATCTCGTTCTTC*	10889422	10889446
_	_	TGAG TC GGACTGGATCTCGTTCTTC*	15212498	15212522
cgr	5p			
cgr	5p	TGAG TC GGACTGGATCTCGTTCTTC*	15212798	15212822
cgr	5p	TGAG TC GGACTGGATCTCGTTCTTC*	15213098	15213122
cgr	5p	TGAG TC GGACTGGATCTCGTTCTTC*	15213398	15213422
cgr	5p	TGAGAGCGACTGGATCTCGTTCTTC	17833225	17833249
cgr	5p	TGAGAGCGACTGGATCTCGTTCTTC	17833525	17833549
	-			
cgr	5p	TGAGAGCGACTGGATCTCGTTCTTC	17833825	17833849
cgr	5p	TGAGAGCGACTGGATCTCGTTCTTC	17834125	17834149
cgr	5p	TGAGAGCGACTGGATCTCGTTCTTC	17834425	17834449
cgr	5p	TGAGAGCGACTGGATCTCGTTCTTC	17834725	17834749
cgr	5p	TGAGAGCGACTGGATCTCGTTCTTC	17835025	17835049
cgr	5p	TGAGAGCGACTGGATCTCGTTCTTC	17835325	17835349
	_	TGAGAGCGACTGGATCTCGTTCTTC	17835625	17835649
cgr	5p			
cgr	5p	TGAGAGCGACTGGATCTCGTTCTTC	17835925	17835949
cgr	5p	TGAGAGCGACTGGATCTCGTTCTTC	17836225	17836249
cgr	5p	TGAGAGCGACTGGATCTCGTTCTTC	17836525	17836549
cgr	5p	TGAGAGCGACTGGATCTCGTTCTTC	17836825	17836849
cgr	5p	TGAGAGCGACTGGATCTCGTTCTTC	17837125	17837149
cgr	5p	TGAGAGCGACTGGATCTCGTTCTTC	17837425	17837449
	_			
cgr	5p	TGAGAGCGACTGGATCTCGTTCTTC	17837725	17837749
cgr	5p	TGAGAGCGACTGGATCTCGTTCTTC	17838025	17838049
cgr	5p	TGAGAGCGACTGGATCTCGTTCTTC	17838325	17838349
cgr	5p	TGAGAGCGACTGGATCTCGTTCTTC	17838625	17838649
cgr	5p	TGAGAGCGACTGGATCTCGTTCTTC	17838925	17838949
cgr	5p	TGAGAGCGACTGGATCTCGTTCTTC	17839225	17839249
_	5p	TGAGAGCGACTGGATCTCGTTCTTC	17839525	17839549
cgr	_			
cgr	5p	TGAGAGCGACTGGATCTCGTTCTTC	17839825	17839849
cgr	5p	TGAGAGCGACTGGATCTCGTTCTTC	17840125	17840149
cgr	5p	TGAGAGCGACTGGATCTCGTTCTTC	17840425	17840449
cgr	5p	TGAGAGCGACTGGATCTCGTTCTTC	17840725	17840749
cgr	3р	OMOMOMMON N C CO C N CCCCMCN CMN ★		
_		[''' [''' [-'' '' ' A A ['' [- (' [' A [' [- (' [- ' [' A [' ' A] ' ' A '' '' A A '' ''	484514	484538
	-	CTCTGTTCAACGCCACGCGTGACTA*	484514	484538
cgr	3p	$\texttt{CTCTGTTCAA}\textbf{C}\texttt{GC}\textbf{C}\texttt{ACGCGTGACTA}^{\star}$	484814	484838
cgr	3p 3p	CTCTGTTCAA C GC C ACGCGTGACTA* CTCTGTTCAA C GC C ACGCGTGACTA*	484814 485114	484838 485138
_	3p	$\texttt{CTCTGTTCAA}\textbf{C}\texttt{GC}\textbf{C}\texttt{ACGCGTGACTA}^{\star}$	484814 485114 485414	484838 485138 485438
cgr	3p 3p	CTCTGTTCAA C GC C ACGCGTGACTA* CTCTGTTCAA C GC C ACGCGTGACTA*	484814 485114	484838 485138
cgr cgr cgr	3p 3p 3p	CTCTGTTCAA C GC C ACGCGTGACTA* CTCTGTTCAA C GC C ACGCGTGACTA* CTCTGTTCAA C GCTACACGTGACTA*	484814 485114 485414	484838 485138 485438
cgr cgr cgr	3p 3p 3p 3p 3p 3p	CTCTGTTCAACGCCACGCGTGACTA* CTCTGTTCAACGCCACGCGTGACTA* CTCTGTTCAACGCTACACGTGACTA* CTCTGTTCAATGCTACGCGTGACTA CTCTGTTCAATGCCACTCGTGACTA*	484814 485114 485414 2203684 10526130	484838 485138 485438 2203708 10526154
cgr cgr cgr cgr	3p 3p 3p 3p 3p 3p	CTCTGTTCAACGCCACGCGTGACTA* CTCTGTTCAACGCCACGCGTGACTA* CTCTGTTCAACGCTACACGTGACTA* CTCTGTTCAATGCTACGCGTGACTA CTCTGTTCAATGCTACGCGTGACTA* CTCTGTTCAATGCCACTCGTGACTA*	484814 485114 485414 2203684 10526130 10526430	484838 485138 485438 2203708 10526154 10526454
cgr cgr cgr cgr cgr	3p 3p 3p 3p 3p 3p 3p	CTCTGTTCAACGCCACGCGTGACTA* CTCTGTTCAACGCCACGCGTGACTA* CTCTGTTCAACGCTACACGTGACTA* CTCTGTTCAATGCTACGCGTGACTA CTCTGTTCAATGCCACTCGTGACTA* CTCTGTTCAATGCCACTCGTGACTA* CTCTGTTCAATGCCACTCGTGACTA*	484814 485114 485414 2203684 10526130 10526430 10526730	484838 485138 485438 2203708 10526154 10526454 10526754
cgr cgr cgr cgr cgr cgr	3p 3p 3p 3p 3p 3p 3p 3p	CTCTGTTCAACGCCACGCGTGACTA* CTCTGTTCAACGCCACGCGTGACTA* CTCTGTTCAACGCTACACGTGACTA* CTCTGTTCAATGCTACGCGTGACTA CTCTGTTCAATGCCACTCGTGACTA* CTCTGTTCAATGCCACTCGTGACTA* CTCTGTTCAATGCCACTCGTGACTA* CTCTGTTCAATGCCACTCGTGACTA* CTCTGTTCAATGCCACTCGTGACTA*	484814 485114 485414 2203684 10526130 10526430 10526730 10527030	484838 485138 485438 2203708 10526154 10526454 10526754 10527054
cgr cgr cgr cgr cgr cgr cgr	3p 3p 3p 3p 3p 3p 3p 3p 3p	CTCTGTTCAACGCCACGCGTGACTA* CTCTGTTCAACGCCACGCGTGACTA* CTCTGTTCAACGCTACACGTGACTA* CTCTGTTCAATGCTACGCGTGACTA CTCTGTTCAATGCCACTCGTGACTA* CTCTGTTCAATGCCACTCGTGACTA* CTCTGTTCAATGCCACTCGTGACTA* CTCTGTTCAATGCCACTCGTGACTA* CTCTGTTCAATGCCACTCGTGACTA* CTCTGTTCAATGCCACTCGTGACTA*	484814 485114 485414 2203684 10526130 10526430 10526730 10527030 10527330	484838 485138 485438 2203708 10526154 10526454 10526754 10527054 10527354
cgr cgr cgr cgr cgr cgr cgr	3p 3p 3p 3p 3p 3p 3p 3p 3p 3p	CTCTGTTCAACGCCACGCGTGACTA* CTCTGTTCAACGCCACGCGTGACTA* CTCTGTTCAACGCTACACGTGACTA* CTCTGTTCAATGCTACGCGTGACTA CTCTGTTCAATGCCACTCGTGACTA* CTCTGTTCAATGCCACTCGTGACTA* CTCTGTTCAATGCCACTCGTGACTA* CTCTGTTCAATGCCACTCGTGACTA* CTCTGTTCAATGCCACTCGTGACTA* CTCTGTTCAATGCCACTCGTGACTA* CTCTGTTCAATGCCACTCGTGACTA*	484814 485114 485414 2203684 10526130 10526730 10527030 10527330 10527630	484838 485138 485438 2203708 10526154 10526754 10527054 10527354 10527654
cgr cgr cgr cgr cgr cgr cgr	3p 3p 3p 3p 3p 3p 3p 3p 3p	CTCTGTTCAACGCCACGCGTGACTA* CTCTGTTCAACGCCACGCGTGACTA* CTCTGTTCAACGCTACACGTGACTA* CTCTGTTCAATGCTACGCGTGACTA CTCTGTTCAATGCCACTCGTGACTA* CTCTGTTCAATGCCACTCGTGACTA* CTCTGTTCAATGCCACTCGTGACTA* CTCTGTTCAATGCCACTCGTGACTA* CTCTGTTCAATGCCACTCGTGACTA* CTCTGTTCAATGCCACTCGTGACTA*	484814 485114 485414 2203684 10526130 10526430 10526730 10527030 10527330	484838 485138 485438 2203708 10526154 10526454 10526754 10527054 10527354
cgr cgr cgr cgr cgr cgr cgr	3p 3p 3p 3p 3p 3p 3p 3p 3p 3p	CTCTGTTCAACGCCACGCGTGACTA* CTCTGTTCAACGCCACGCGTGACTA* CTCTGTTCAACGCTACACGTGACTA* CTCTGTTCAATGCTACGCGTGACTA CTCTGTTCAATGCCACTCGTGACTA* CTCTGTTCAATGCCACTCGTGACTA* CTCTGTTCAATGCCACTCGTGACTA* CTCTGTTCAATGCCACTCGTGACTA* CTCTGTTCAATGCCACTCGTGACTA* CTCTGTTCAATGCCACTCGTGACTA* CTCTGTTCAATGCCACTCGTGACTA*	484814 485114 485414 2203684 10526130 10526730 10527030 10527330 10527630	484838 485138 485438 2203708 10526154 10526754 10527054 10527354 10527654
cgr cgr cgr cgr cgr cgr cgr cgr cgr	3p 3p 3p 3p 3p 3p 3p 3p 3p 3p 3p	CTCTGTTCAACGCCACGCGTGACTA* CTCTGTTCAACGCCACGCGTGACTA* CTCTGTTCAACGCTACACGTGACTA* CTCTGTTCAATGCTACGCGTGACTA* CTCTGTTCAATGCCACTCGTGACTA* CTCTGTTCAATGCCACTCGTGACTA* CTCTGTTCAATGCCACTCGTGACTA* CTCTGTTCAATGCCACTCGTGACTA* CTCTGTTCAATGCCACTCGTGACTA* CTCTGTTCAATGCCACTCGTGACTA* CTCTGTTCAATGCCACTCGTGACTA* CTCTGTTCAATGCCACTCGTGACTA* CTCTGTTCAATGCCACTCGTGACTA* CTCTGTTCAACGCCACTCGTGACTA* CTCTGTTCAACGCCACGCGTGACTA*	484814 485114 485414 2203684 10526130 10526430 10527030 10527030 10527630 10527630 15212563	484838 485138 485438 2203708 10526154 10526454 10527054 10527354 10527654 15212587
cgr cgr cgr cgr cgr cgr cgr cgr cgr	3p 3p 3p 3p 3p 3p 3p 3p 3p 3p 3p 3p	CTCTGTTCAACGCCACGCGTGACTA* CTCTGTTCAACGCCACGCGTGACTA* CTCTGTTCAACGCTACACGTGACTA* CTCTGTTCAATGCTACGCGTGACTA* CTCTGTTCAATGCCACTCGTGACTA* CTCTGTTCAATGCCACTCGTGACTA* CTCTGTTCAATGCCACTCGTGACTA* CTCTGTTCAATGCCACTCGTGACTA* CTCTGTTCAATGCCACTCGTGACTA* CTCTGTTCAATGCCACTCGTGACTA* CTCTGTTCAATGCCACTCGTGACTA* CTCTGTTCAATGCCACTCGTGACTA* CTCTGTTCAACGCCACTCGTGACTA* CTCTGTTCAACGCCACGCGTGACTA* CTCTGTTCAACGCCACGCGTGACTA* CTCTGTTCAACGCCACGCGTGACTA*	484814 485114 485414 2203684 10526130 10526430 10527030 10527030 10527630 15212563 15212863 15213163	484838 485138 485438 2203708 10526154 10526454 10527054 10527354 10527654 15212587 15212887 15213187
cgr cgr cgr cgr cgr cgr cgr cgr cgr cgr	3p 3p 3p 3p 3p 3p 3p 3p 3p 3p 3p 3p	CTCTGTTCAACGCCACGCGTGACTA* CTCTGTTCAACGCCACGCGTGACTA* CTCTGTTCAACGCTACACGTGACTA* CTCTGTTCAATGCTACGCGTGACTA* CTCTGTTCAATGCCACTCGTGACTA* CTCTGTTCAATGCCACTCGTGACTA* CTCTGTTCAATGCCACTCGTGACTA* CTCTGTTCAATGCCACTCGTGACTA* CTCTGTTCAATGCCACTCGTGACTA* CTCTGTTCAATGCCACTCGTGACTA* CTCTGTTCAATGCCACTCGTGACTA* CTCTGTTCAATGCCACTCGTGACTA* CTCTGTTCAACGCCACCGCGTGACTA* CTCTGTTCAACGCCACGCGTGACTA* CTCTGTTCAACGCCACGCGTGACTA* CTCTGTTCAACGCCACGCGTGACTA* CTCTGTTCAACGCCACGCGTGACTA*	484814 485114 485414 2203684 10526130 10526430 10526730 10527030 10527330 10527630 15212563 15212863 15213163 15213463	484838 485138 485438 2203708 10526154 10526454 10527054 10527354 10527654 15212587 15212887 15213187 15213487
cgr cgr cgr cgr cgr cgr cgr cgr cgr cgr	3p 3p 3p 3p 3p 3p 3p 3p 3p 3p 3p 3p 3p 3	CTCTGTTCAACGCCACGCGTGACTA* CTCTGTTCAACGCCACGCGTGACTA* CTCTGTTCAATGCTACGCGTGACTA* CTCTGTTCAATGCTACGCGTGACTA* CTCTGTTCAATGCCACTCGTGACTA* CTCTGTTCAATGCCACTCGTGACTA* CTCTGTTCAATGCCACTCGTGACTA* CTCTGTTCAATGCCACTCGTGACTA* CTCTGTTCAATGCCACTCGTGACTA* CTCTGTTCAATGCCACTCGTGACTA* CTCTGTTCAATGCCACTCGTGACTA* CTCTGTTCAATGCCACTCGTGACTA* CTCTGTTCAACGCCACGCGTGACTA* CTCTGTTCAACGCCACGCGTGACTA* CTCTGTTCAACGCCACGCGTGACTA* CTCTGTTCAACGCCACGCGTGACTA* CTCTGTTCAACGCCACGCGTGACTA* CTCTGTTCAACGCTACACGTGACTA* CTCTGTTCAACGCTACACGTGACTA*	484814 485114 485414 2203684 10526130 10526430 10526730 10527030 10527330 10527630 15212563 15212863 15213163 15213463 17833290	484838 485138 485438 2203708 10526154 10526454 10527054 10527054 10527654 15212587 15212887 15213187 15213487 17833314
cgr cgr cgr cgr cgr cgr cgr cgr cgr cgr	3p 3p 3p 3p 3p 3p 3p 3p 3p 3p 3p 3p 3p 3	CTCTGTTCAACGCCACGCGTGACTA* CTCTGTTCAACGCCACGCGTGACTA* CTCTGTTCAATGCTACGCGTGACTA* CTCTGTTCAATGCTACGCGTGACTA* CTCTGTTCAATGCCACTCGTGACTA* CTCTGTTCAATGCCACTCGTGACTA* CTCTGTTCAATGCCACTCGTGACTA* CTCTGTTCAATGCCACTCGTGACTA* CTCTGTTCAATGCCACTCGTGACTA* CTCTGTTCAATGCCACTCGTGACTA* CTCTGTTCAATGCCACTCGTGACTA* CTCTGTTCAATGCCACTCGTGACTA* CTCTGTTCAACGCCACGCGTGACTA* CTCTGTTCAACGCCACGCGTGACTA* CTCTGTTCAACGCCACGCGTGACTA* CTCTGTTCAACGCCACGCGTGACTA* CTCTGTTCAACGCTACACGTGACTA* CTCTGTTCAACGCTACACGTGACTA* CTCTGTTCAACGCTACACGTGACTA* CTCTGTTCAATGCTACGCGTGACTA	484814 485114 485414 2203684 10526130 10526430 10527030 10527330 10527630 15212563 15212863 15213463 15213463 17833290 17833590	484838 485138 485438 2203708 10526154 10526454 10527054 10527054 10527654 15212587 15212887 15213187 15213487 17833314 17833614
cgr cgr cgr cgr cgr cgr cgr cgr cgr cgr	3p 3p 3p 3p 3p 3p 3p 3p 3p 3p 3p 3p 3p 3	CTCTGTTCAACGCCACGCGTGACTA* CTCTGTTCAACGCCACGCGTGACTA* CTCTGTTCAACGCTACACGTGACTA* CTCTGTTCAATGCTACGCGTGACTA* CTCTGTTCAATGCCACTCGTGACTA* CTCTGTTCAATGCCACTCGTGACTA* CTCTGTTCAATGCCACTCGTGACTA* CTCTGTTCAATGCCACTCGTGACTA* CTCTGTTCAATGCCACTCGTGACTA* CTCTGTTCAATGCCACTCGTGACTA* CTCTGTTCAATGCCACTCGTGACTA* CTCTGTTCAATGCCACTCGTGACTA* CTCTGTTCAACGCCACCGCGTGACTA* CTCTGTTCAACGCCACGCGTGACTA* CTCTGTTCAACGCCACGCGTGACTA* CTCTGTTCAACGCCACGCGTGACTA* CTCTGTTCAACGCTACACGTGACTA* CTCTGTTCAACGCTACACGTGACTA* CTCTGTTCAATGCTACGCGTGACTA CTCTGTTCAATGCTACGCGTGACTA CTCTGTTCAATGCTACGCGTGACTA CTCTGTTCAATGCTACGCGTGACTA CTCTGTTCAATGCTACGCGTGACTA	484814 485114 485414 2203684 10526130 10526430 10527030 10527030 10527630 10527630 15212563 15212863 15213163 15213463 17833290 17833590 17833890	484838 485138 485438 2203708 10526154 10526454 10527054 10527054 10527654 15212587 15212887 15213487 15213487 17833314 17833614 17833914
cgr cgr cgr cgr cgr cgr cgr cgr cgr cgr	3p 3p 3p 3p 3p 3p 3p 3p 3p 3p 3p 3p 3p 3	CTCTGTTCAACGCCACGCGTGACTA* CTCTGTTCAACGCCACGCGTGACTA* CTCTGTTCAACGCTACACGTGACTA* CTCTGTTCAATGCTACGCGTGACTA CTCTGTTCAATGCCACTCGTGACTA* CTCTGTTCAATGCCACTCGTGACTA* CTCTGTTCAATGCCACTCGTGACTA* CTCTGTTCAATGCCACTCGTGACTA* CTCTGTTCAATGCCACTCGTGACTA* CTCTGTTCAATGCCACTCGTGACTA* CTCTGTTCAATGCCACTCGTGACTA* CTCTGTTCAATGCCACTCGTGACTA* CTCTGTTCAACGCCACTCGTGACTA* CTCTGTTCAACGCCACGCGTGACTA* CTCTGTTCAACGCCACGCGTGACTA* CTCTGTTCAACGCCACGCGTGACTA* CTCTGTTCAACGCTACACGTGACTA* CTCTGTTCAATGCTACGCGTGACTA CTCTGTTCAATGCTACGCGTGACTA CTCTGTTCAATGCTACGCGTGACTA CTCTGTTCAATGCTACGCGTGACTA CTCTGTTCAATGCTACGCGTGACTA CTCTGTTCAATGCTACGCGTGACTA CTCTGTTCAATGCTACGCGTGACTA CTCTGTTCAATGCTACGCGTGACTA CTCTGTTCAATGCTACGCGTGACTA	484814 485114 485414 2203684 10526130 10526430 10527030 10527330 10527630 15212563 15212863 15213163 15213463 17833290 17833590 17833890 178334190	484838 485138 485438 2203708 10526154 10526454 10527054 10527054 10527654 15212587 15212887 15213187 15213487 17833314 17833314 17833914 178334214
cgr cgr cgr cgr cgr cgr cgr cgr cgr cgr	3p 3p 3p 3p 3p 3p 3p 3p 3p 3p 3p 3p 3p 3	CTCTGTTCAACGCCACGCGTGACTA* CTCTGTTCAACGCCACGCGTGACTA* CTCTGTTCAACGCTACACGTGACTA* CTCTGTTCAATGCTACGCGTGACTA CTCTGTTCAATGCCACTCGTGACTA* CTCTGTTCAATGCCACTCGTGACTA* CTCTGTTCAATGCCACTCGTGACTA* CTCTGTTCAATGCCACTCGTGACTA* CTCTGTTCAATGCCACTCGTGACTA* CTCTGTTCAATGCCACTCGTGACTA* CTCTGTTCAATGCCACTCGTGACTA* CTCTGTTCAATGCCACTCGTGACTA* CTCTGTTCAACGCCACTCGTGACTA* CTCTGTTCAACGCCACGCGTGACTA* CTCTGTTCAACGCCACGCGTGACTA* CTCTGTTCAACGCCACGCGTGACTA* CTCTGTTCAACGCTACACGTGACTA* CTCTGTTCAATGCTACGCGTGACTA	484814 485114 485414 2203684 10526130 10526430 10527030 10527330 10527630 15212563 15212863 15213463 15213463 17833290 17833590 17833890 17834490	484838 485138 485438 2203708 10526154 10526454 10527054 10527054 10527654 15212587 15212887 15213187 15213487 17833314 17833314 17833914 17834214 17834514
cgr cgr cgr cgr cgr cgr cgr cgr cgr cgr	3p 3p 3p 3p 3p 3p 3p 3p 3p 3p 3p 3p 3p 3	CTCTGTTCAACGCCACGCGTGACTA* CTCTGTTCAACGCCACGCGTGACTA* CTCTGTTCAACGCTACACGTGACTA* CTCTGTTCAATGCTACGCGTGACTA CTCTGTTCAATGCCACTCGTGACTA* CTCTGTTCAATGCCACTCGTGACTA* CTCTGTTCAATGCCACTCGTGACTA* CTCTGTTCAATGCCACTCGTGACTA* CTCTGTTCAATGCCACTCGTGACTA* CTCTGTTCAATGCCACTCGTGACTA* CTCTGTTCAATGCCACTCGTGACTA* CTCTGTTCAATGCCACTCGTGACTA* CTCTGTTCAACGCCACTCGTGACTA* CTCTGTTCAACGCCACGCGTGACTA* CTCTGTTCAACGCCACGCGTGACTA* CTCTGTTCAACGCCACGCGTGACTA* CTCTGTTCAACGCTACACGTGACTA* CTCTGTTCAATGCTACGCGTGACTA CTCTGTTCAATGCTACGCGTGACTA CTCTGTTCAATGCTACGCGTGACTA CTCTGTTCAATGCTACGCGTGACTA CTCTGTTCAATGCTACGCGTGACTA CTCTGTTCAATGCTACGCGTGACTA CTCTGTTCAATGCTACGCGTGACTA CTCTGTTCAATGCTACGCGTGACTA CTCTGTTCAATGCTACGCGTGACTA	484814 485114 485414 2203684 10526130 10526430 10527030 10527330 10527630 15212563 15212863 15213163 15213463 17833290 17833590 17833890 178334190	484838 485138 485438 2203708 10526154 10526454 10527054 10527054 10527654 15212587 15212887 15213187 15213487 17833314 17833314 17833914 178334214
cgr cgr cgr cgr cgr cgr cgr cgr cgr cgr	3p 3p 3p 3p 3p 3p 3p 3p 3p 3p 3p 3p 3p 3	CTCTGTTCAACGCCACGCGTGACTA* CTCTGTTCAACGCCACGCGTGACTA* CTCTGTTCAACGCTACACGTGACTA* CTCTGTTCAATGCTACGCGTGACTA CTCTGTTCAATGCCACTCGTGACTA* CTCTGTTCAATGCCACTCGTGACTA* CTCTGTTCAATGCCACTCGTGACTA* CTCTGTTCAATGCCACTCGTGACTA* CTCTGTTCAATGCCACTCGTGACTA* CTCTGTTCAATGCCACTCGTGACTA* CTCTGTTCAATGCCACTCGTGACTA* CTCTGTTCAATGCCACTCGTGACTA* CTCTGTTCAACGCCACTCGTGACTA* CTCTGTTCAACGCCACGCGTGACTA* CTCTGTTCAACGCCACGCGTGACTA* CTCTGTTCAACGCCACGCGTGACTA* CTCTGTTCAACGCTACACGTGACTA* CTCTGTTCAATGCTACGCGTGACTA	484814 485114 485414 2203684 10526130 10526430 10527030 10527330 10527630 15212563 15212863 15213463 15213463 17833290 17833590 17833890 17834490	484838 485138 485438 2203708 10526154 10526454 10527054 10527054 10527654 15212587 15212887 15213187 15213487 17833314 17833314 17833914 17834214 17834514
cgr cgr cgr cgr cgr cgr cgr cgr cgr cgr	3p 3p 3p 3p 3p 3p 3p 3p 3p 3p 3p 3p 3p 3	CTCTGTTCAACGCCACGCGTGACTA* CTCTGTTCAACGCCACGCGTGACTA* CTCTGTTCAACGCTACACGTGACTA* CTCTGTTCAATGCTACGCGTGACTA CTCTGTTCAATGCCACTCGTGACTA* CTCTGTTCAATGCCACTCGTGACTA* CTCTGTTCAATGCCACTCGTGACTA* CTCTGTTCAATGCCACTCGTGACTA* CTCTGTTCAATGCCACTCGTGACTA* CTCTGTTCAATGCCACTCGTGACTA* CTCTGTTCAATGCCACTCGTGACTA* CTCTGTTCAATGCCACTCGTGACTA* CTCTGTTCAATGCCACTCGTGACTA* CTCTGTTCAACGCCACCGCGTGACTA* CTCTGTTCAACGCCACGCGTGACTA* CTCTGTTCAACGCCACGCGTGACTA* CTCTGTTCAACGCTACGCGTGACTA* CTCTGTTCAATGCTACGCGTGACTA	484814 485114 485414 2203684 10526130 10526430 10527030 10527330 10527630 15212563 15212863 15213163 15213463 17833290 17833590 17833890 17834490 17834490 17834790 17835090	484838 485138 485438 2203708 10526154 10526454 10527054 10527354 10527654 15212587 15212887 15213187 15213487 17833314 17833614 17833914 17834514 17834814 17834814 17834814
cgr cgr cgr cgr cgr cgr cgr cgr cgr cgr	3p 3p 3p 3p 3p 3p 3p 3p 3p 3p 3p 3p 3p 3	CTCTGTTCAACGCCACGCGTGACTA* CTCTGTTCAACGCCACGCGTGACTA* CTCTGTTCAACGCTACACGTGACTA* CTCTGTTCAATGCTACGCGTGACTA CTCTGTTCAATGCCACTCGTGACTA* CTCTGTTCAATGCCACTCGTGACTA* CTCTGTTCAATGCCACTCGTGACTA* CTCTGTTCAATGCCACTCGTGACTA* CTCTGTTCAATGCCACTCGTGACTA* CTCTGTTCAATGCCACTCGTGACTA* CTCTGTTCAATGCCACTCGTGACTA* CTCTGTTCAATGCCACTCGTGACTA* CTCTGTTCAACGCCACTCGTGACTA* CTCTGTTCAACGCCACCGCGTGACTA* CTCTGTTCAACGCCACGCGTGACTA* CTCTGTTCAACGCCACGCGTGACTA* CTCTGTTCAACGCTACGCGTGACTA* CTCTGTTCAATGCTACGCGTGACTA	484814 485114 485414 2203684 10526130 10526430 10527030 10527330 10527630 15212563 15212863 15213163 15213463 17833290 17833590 17833890 17834490 17834490 178344790	484838 485138 485438 2203708 10526154 10526454 10527054 10527054 10527654 15212587 15212887 15213187 15213487 17833314 17833314 17833914 17834214 17834514 17834814

cgr	3р	CTCTGTTCAATGCTACGCGTGACTA	17835990	17836014			
cgr	3р	CTCTGTTCAATGCTACGCGTGACTA	17836290	17836314			
cgr	3р	CTCTGTTCAATGCTACGCGTGACTA	17836590	17836614			
cgr	3р	CTCTGTTCAATGCTACGCGTGACTA	17836890	17836914			
cgr	3p	CTCTGTTCAATGCTACGCGTGACTA	17837190	17837214			
cgr	3p	CTCTGTTCAATGCTACGCGTGACTA	17837490	17837514			
cgr	3p	CTCTGTTCAATGCTACGCGTGACTA	17837790	17837814			
cgr	3p	CTCTGTTCAATGCTACGCGTGACTA	17838090	17838114			
cgr	3p	CTCTGTTCAATGCTACGCGTGACTA	17838390	17838414			
cgr	3p	CTCTGTTCAATGCTACGCGTGACTA	17838690	17838714			
cgr	3p	CTCTGTTCAATGCTACGCGTGACTA	17838990	17839014			
cgr	3p	CTCTGTTCAATGCTACGCGTGACTA	17839290	17839314			
cgr	3p	CTCTGTTCAATGCTACGCGTGACTA	17839590	17839614			
cgr	3p	CTCTGTTCAATGCTACGCGTGACTA	17839890	17839914			
cgr	3p	CTCTGTTCAATGCTACGCGTGACTA	17840190	17840214			
cgr	3p	CTCTGTTCAATGCTACGCGTGACTA	17840490	17840514			
		CTCTGTTCAATGCTACGCGTGACTA	17840790	17840814			
cgr	3p	CTCTGTTCAATGCTACGCGTGACTA	17841090	17841114			
cgr	3p		17841390	17841114			
cgr	3p	CTCTGTTCAATGCTACGCGTGACTA		_ · · ·			
cgr	3p	CTCTGTTCAATGCTACGCGTGACTA	17841690	17841714			
cgr	3p	CTCTGTTCAATGCTACGCGTGACTA	17841990	17842014			
cgr	3p	CTCTGTTCAATGCTACGCGTGACTA	17842290	17842314			
cgr	3p	CTCTGTTCAATGCTACGCGTGACTA	17842590	17842614			
cgr	3p	CTCTGTTCAATGCTACGCGTGACTA	17842890	17842914			
cgr	3p	CTCTGTTCAATGCTACGCGTGACTA	17843496	17843520			
cgr	3р	CTCTGTTCAA C GCTACGCGTGACTA*	18808485	18808509			
cgr	3р	CTCTGTTCAA C GCTACGCGTGACTA*	18808787	18808811			
cgr	3р	CTCTGTTCAA C GCTACGCGTGACTA*	18809093	18809117			
cgr	3р	CTCTGTTCAA C TA C GCACGCGT G A C *	18809394	18809418			
cgr	3р	CTCTGTTCAA C GCTACG G GG T G A C T *	18809701	18809725			
====	=====						
		Candida	a albicans S				
====	=====		=======				
====	=====						
====	=====						
====	=====			3			
		Candida dub.	IIIIEIISIS CL				
cdu	3р	CTCTGTTCAA GTTACG G GTGACTAC *	3862063	3862087			
====	=====						
====							
		Candida duobu:					
===-	=====						
		Candida haem					

Candida orthopsilosis Co 90-125
Candida oxycetoniae
Candida parapsilosis
Candida pseudohaemulonii
Candida tropicalis MYA-3404
Saccharomyces cerevisiae S288c

Figura 30. Ejemplo de la salida final del programa del diseño automatizado de oligonucleótidos a ser usados en ensayos de amplificación. La salida final del programa consta de dos secciones: La primera corresponde al resultado de la primera parte del análisis referente a las frecuencias absolutas y posiciones de k-meros repetidos en una secuencia genómica. La segunda parte corresponde a los resultados del análisis considerando las propiedades termodinámicas de la unión de los oligos con sus potenciales secuencias blanco en el DNA genómico que fueron evaluadas con el programa RNAcofold. Las secuencias con asterisco representan posiciones en donde las secuencias del oligonucleótido y el DNA no son 100% complementarias (existen "mismatches"), pero de acuerdo con el estudio termodinámico, son capaces de hibridar eficientemente. Los mismatches son indicados por caracteres en color rojos y resaltados en color amarillo. Se analizan diferentes secuencias genómicas, siendo los correspondientes al genoma de estudio, Candida glabrata CBS138, los que primeramente se muestran y posteriormente, los organismos seleccionados como controles negativos, en donde se esperarían una baja o nula frecuencia de regiones reconocidas por los oligos de estudio.

II.3. Organismos de estudio considerados como control negativo

Finalmente, es importante comentar que el programa contempla también el considerar la secuencia genómica de un conjunto de organismos que se consideren controles negativos; es decir, genomas de organismos filogenéticamente relacionados en los que se desea que no exista la posibilidad teórica de la amplificación de productos de PCR dentro del ensayo. Para ello, el programa realiza el análisis termodinámico de cada uno de los pares de oligonucleótidos seleccionados y descarta aquellos pares de oligos con posibilidad de amplificación en el ensayo clínico. Para el caso de *C. glabrata*, los genomas que se usaron como control negativo son los que se muestran en la Tabla 4.

Código	Nombre	
cgr	Candida glabrata CBS138	
cal	Candida albicans SC5314	
caur	Candida auris	
cdu	Candida dubliniensis CD36	
cduo	Candida duobushaemulonis	
cha	Candida haemuloni	
cot	Candida orthopsilosis Co 90-125	
COX	Candida oxycetoniae	
сра	Candida parapsilosis	
cps	Candida pseudohaemulonii	
csu	Candida subhashii	
ctp	Candida tropicalis MYA-3404	
sce	Saccharomyces cerevisiae S288c	

Tabla 4. Organismos de estudio considerados como control negativo. Con el propósito de garantizar la ausencia de amplificaciones de DNA de organismos distintos al que se quiere identificar en el ensayo de PCR.

DESCRIPCIÓN DEL PROGRAMA DE ANÁLISIS

El programa desarrollado fue escrito en lenguaje de programación Python considerando una estructura modular constituido por bloques de análisis o subrutinas (Figura 31). La estructura modular con la que se desarrolló nuestro programa permite una organización más sencilla en el diseño, revisión y ejecución de los procesos unitarios de análisis. Por lo anterior, el programa central sólo establece el orden jerárquico en el que serán ejecutadas cada una de las subrutinas. Como podrá observarse, el nombre de las subrutinas describe de manera sucinta, la principal tarea de estas. A continuación, se presenta una breve descripción de ellas:

======= Subrutina lee_parametros =========

La primera subrutina se llama **lee_parametros** en la que el usuario puede definir los valores más importantes de las variables que definen el funcionamiento del programa. Entre las principales variables se encuentran:

- Código KEGG del organismo a ser analizado (org. i.e. cgr)
- Tamaño de la ventana de análisis (tamanio_ventana. i.e. 25)
- Número de vecinos para analizar (n_vecinos i.e. 200)
- Longitud máxima entre palabras repetidas (max_dist_satelite i.e. 2500)
- Mínimo tamaño del producto de PCR (min_tamanio_amplificacion, i.e. 100)
- Número de bases G o C en extremo 3`(numero_de_GCs. i.e. 2)
- Mínimo número de repeticiones (min_frec. i.e. 25)
- Máximo número de palabras repetidas buscar (max_palabras. i.e. 2000)
- Valor del porcentaje permitido entre el valor hibridación del oligo más estable versus el valor del oligo menos estable (cutoff_DeltaG_entre_oligos_menor. i.e. 0.85)
- Valor de auto-complementariedad permitido respecto a valor de hibridación (cutoff_complementariedad. i.e. 0.60)
- Valor del porcentaje mínimo de la TM de hibridación respecto a la TM máxima posible (cutoff_hibridacion. i.e. 0.85).

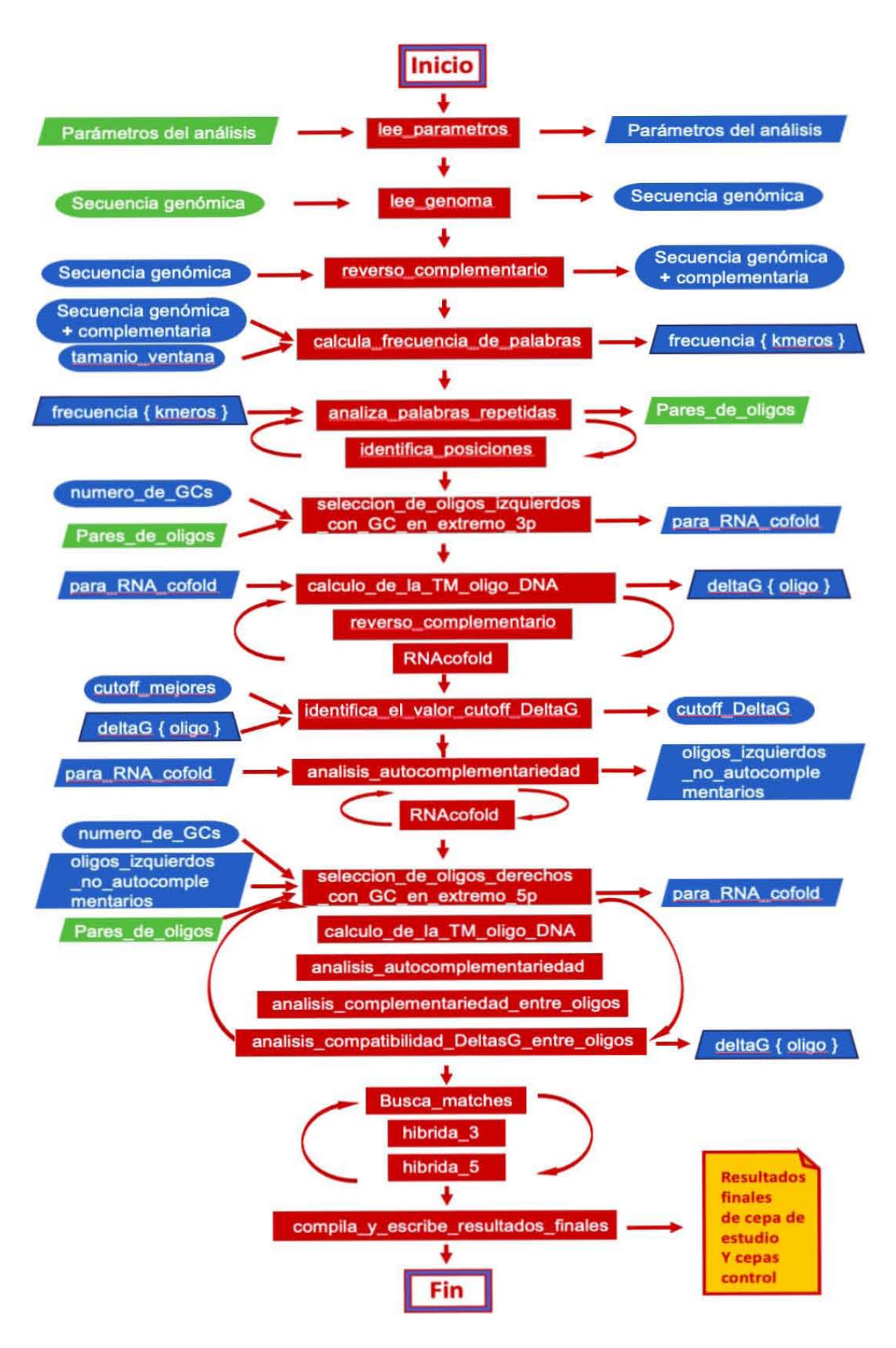


Figura 31. Diagrama de flujo para la identificación de K-meros frecuentes en secuencias genómicas y el diseño de oligonucleótidos considerando el análisis termodinámico de sus propiedades. El diagrama representa a los elementos centrales de análisis para la evaluación de las frecuencias absolutas y posiciones de k-meros repetidos en una secuencia genómica. Los rectángulos con fondo rojo representan las principales subrutinas. En el lado izquierdo se muestran los elementos de entrada a las subrutinas y del derecho, los elementos de salida. En verde se muestran la información almacenada en disco, mientras que los elementos en azul los almacenados en la memoria RAM. Los óvalos representan variables con un sólo elemento, los romboides representan listas con varios elementos y los trapecios representan a directorios, en donde los valores están asociados a valores de referencia o llaves. El circulo final de color naranja representa los resultados finales del programa.



Esta subrutina lee las secuencias de DNA de los diferentes cromosomas del genoma de estudio. Para facilidad en el análisis, las secuencias de los diferentes cromosomas son concatenadas en una sola variable (secuencia_genomica). Se obtiene también la secuencia inversa complementaria de la hebra de DNA reportada como secuencia genómica utilizando la subrutina **reverso_complementario**. Tanto la secuencia leída originalmente, como su correspondiente secuencia inversa complementaria, son concatenadas y almacenadas en la variable secuencia_genomica de tal manera que su longitud es el doble del número de nucleótidos del genoma de estudio. Como se verá más tarde, una vez identificados los primeros oligonucleótidos candidatos, la ubicación precisa de los mismos dentro de cada uno de los cromosomas y sus correspondientes direcciones relativas a las hebras del DNA (sentido o antisentido), será realizada por las subrutinas

seleccion_de_oligos_izquierdos_con_GC_en_extremo_3p y seleccion_de_oligos_derechos_con_GC_en_extremo_5p.

======= Subrutina reverso_complementario =========

Como su nombre lo indica, en esta subrutina se obtiene la secuencia inversa y complementaria de una secuencia nucleotídica en cuestión.

====== Subrutina calcula_frecuencia_de_palabras ========

En esta subrutina se cuentan la frecuencia de todos los "k-meros" de longitud definida por la variable tamanio_ventana de la secuencia genómica de estudio. Para realizar este análisis, el programa considera todos los k-meros que existen en la secuencia genómica empezando en la posición cero. Esta subsecuencia o k-mero es usada como llave del diccionario llamado frecuencia_de_kmeros para incrementar en una unidad el valor previamente almacenado en esa posición. Posteriormente, la ventana de análisis se mueve una posición a la derecha, o posición 1, y se repite el proceso. Esta operación se ejecuta reiterativamente un número de veces igual al de la longitud de la secuencia_genomica menos la longitud del tamanio_ventana. Cabe señalar que las palabras con nucleótidos no definidos marcados como "N" en la secuencia, no son consideradas en el análisis.

======= Subrutina analiza_palabras_repetidas ========

En esta subrutina ejecuta un proceso cíclico en el que se analiza las palabras cuya frecuencia absoluta en el genoma es igual o mayor a la de un valor mínimo pre-establecido en la variable min_frec, iniciando con las palabras con mayor frecuencia. Las palabras con la misma frecuencia son agrupadas como un elemento del vector llamado frecuencias. El número de palabras que serán analizadas en un análisis posterior está acotado por el valor definido en la variable max_palabras. En cada ciclo de análisis de esta subrutina se analiza la frecuencia de los vecinos de las palabras más repetidas para diferentes distancias, desde cero, hasta una distancia definida en la variable max_dist_satelite. Se analizan las posiciones de las palabras que cumplan con los límites establecidos en las variables min_frec y max_palabras dentro de la secuencia genómica almacenada en la variable secuencia_genomica. Las posiciones de las palabras dentro de cada ciclo se identifican al

llamar a la subrutina **identifica_posiciones**. El resultado de esta subrutina es almacenado como archivos dentro del directorio Pares_de_oligos.

======== Subrutina identifica_posiciones ==========

Como su nombre lo indica, este bloque de análisis identifica las posiciones de una palabra específica en la secuencia genómica y en la secuencia complementaria-inversa, que fue almacenada en la variable secuencia_genomica. Dichas posiciones son identificadas utilizando la función find. Para cada posición de la palabra, se almacenan las secuencias vecinas en el vector llamado vecinos de acuerdo con el número de nucleótidos que existen entre ellas. Las secuencias vecinas que se encuentran con cero espacios de separación entre ellas y la palabra analizada se almacenan en la posición cero del vector vecinos. Las secuencias vecinas que se encuentran con un nucleótido de separación entre ellas y la palabra analizada se almacenan en la posición uno del vector vecinos, y así sucesivamente, hasta un número de veces igual al valor resultante de la resta: max_dist_satelite - tamanio_ventana.

== Subrutina seleccion_de_oligos_izquierdos_con_GC_en_extremo_3p ==

Para garantizar que los oligonucleótidos tengan buena capacidad de iniciar el proceso de síntesis del DNA que lleva a cabo la DNA polimerasa, esta subrutina elimina todas aquellas palabras cuyo extremo 3` no sean nucleótidos de tipo "G" o "C". El número de nucleótidos G/C que por defecto se exige que tengan las palabras en el extremo 3` es uno, pero este valor puede ser modificado al cambiar el valor de la variable numero_de_GCs. Las palabras que satisfacen el criterio del número de nucleótidos G/C se almacenan en el vector llamado para_RNAcofold. Posterior al análisis de RNAcofold, los oligos izquierdos que satisfacen el criterio de hibridización estable de acuerdo a su valor de mínima energía libre de hibridización (mfe) y por no ser auto-complementarios, se almacenan en el diccionario oligos_izquierdos_no_autocomplementarios.

=== Subrutina calculo_de_la_TM_oligo_DNA ====

Todos los cálculos para evaluar las TMs (por sus siglas en inglés, Melting temperatura o Temperatura de fusión) de un oligonucleótido con el DNA, o entre oligonucleótidos, se realizan utilizando el programa **RNAcofold** del paquete de análisis Infernal ViennaRNA Package 2.0 (Lorenz *et al.* 2011).

El programa analiza tres posibles valores de hibridación:

- La del oligo con el DNA genómico considerando una completa identidad, evaluada en la subrutina calculo_de_la_TM_oligo_DNA,
- La de los oligos consigo mismos, para descartar aquellos oligos que, por su naturaleza palindrómica, puedan ser parcialmente complementarios , evaluada en la subrutina analisis_autocomplementariedad, y
- 3) La complementariedad entre los pares de oligos empleados en la reacción de PCR para descartar posibles interacciones entre ellos que desfavorezcan la reacción de amplificación, evaluada en la subrutina **analisis_complementariedad_entre_oligos**.

====== Subrutina identifica_el_valor_cutoff_DeltaG =======

Con el propósito de establecer un valor de corte de hibridación cutoff_DeltaG a partir del cual, se considerará que un oligo puede unirse de manera estable a su correspondiente región nucleotídica, se ordenan todos los oligos provenientes de la subrutina calculo_de_la_TM_oligo_DNA que fueron almacenados en el diccionario deltaG usando como llave a la variable oligo, considerando sus correspondientes valores de hibridación. El valor cutoff_DeltaG corresponderá al valor obtenido por el oligo colocado en la posición que resulta de multiplicar la variable cutoff_mejores por el número de oligos del directorio deltaG. Por defecto, el valor cutoff_mejores fue considerado de 0.25, lo que equivaldría al último elemento del primer cuartil del diccionario deltaG.

====== Subrutina analisis_autocomplementariedad =======

Esta subrutina permite identificar oligonucleótidos que pudieran reconocerse parcialmente debido su naturaleza palindrómica y que en consecuencia reduce su concentración efectiva en las reacciones de PCR. Al igual que en la subrutina anterior, el cálculo de la TM de esta subrutina fue realizada utilizando el programa RNAcofold del paquete ViennaRNA Package 2.0 (Lorenz *et al.* 2011). usando como secuencias de entrada la secuencia de cado oligo de manera duplicada.

=== Subrutina seleccion_de_oligos_derechos_con_GC_en_extremo_5p ==

En esta subrutina se realiza un proceso similar al realizado en la subrutina seleccion_de_oligos_izquierdos_con_GC_en_extremo_3p, con la diferencia de que los oligos analizados, son los pares derechos de los oligos anteriormente identificados como izquierdos y almacenados en el directorio oligos_izquierdos_no_autocomplementarios. Dichos pares fueron seleccionados previamente en la subrutina analiza_palabras_repetidas de acuerdo con su frecuencia absoluta y distancia a los oligos izquierdos en cuestión y almacenados en disco como archivos del directorio Pares_de_oligos.

Como puede verse en el diagrama de flujo del programa, esta subrutina llama en orden sucesivo a las subrutinas:

- a) calculo_de_la_TM_oligo_DNA
- b) analisis_autocomplementariedad
- c) analisis_complementariedad_entre_oligos
- d) analisis_compatibilidad_DeltasG_entre_oligos

==== Subrutina analisis_complementariedad_entre_oligos ======

Esta subrutina permite identificar aquellos pares de oligonucleótidos que se consideran utilizar en la reacción de amplificación del DNA, que son mutuamente complementarios. En este caso, las secuencias que se dan como valores de entrada al programa **RNAcofold** (Lorenz *et al.* 2011) son las del par de oligos en cuestión.

=== Subrutina analisis_compatibilidad_DeltasG_entre_oligos ===

Para garantizar una eficiente amplificación de los productos de PCR que se emplearán en el proceso de detección de *loci* específicos de un organismo, es conveniente que el par de oligos usados en cada reacción tengan una temperatura de alineamiento TM similar. La relación entre temperaturas de alineamiento de los oligos diseñados deberá tener un valor igual o superior al especificado en la variable cutoff_DeltaG_entre_oligos.

====== Subrutina busca_matches ======

La primera parte del programa, todos los análisis de frecuencias e identificación de "palabras" o "k-meros" más frecuentes en un genoma fue realizado en términos de "hits" perfectos de secuencias idénticas en la secuencia genómica del organismo de estudio. Esta simplificación de considerar sólo a las secuencias idénticas facilita enormemente el análisis inicial y reduce significativamente el tiempo requerido de cómputo. Los "k-meros" más frecuentes fueron posteriormente analizados en términos de sus correspondientes valores de mínima energía libre de alineamiento (mfe), y de no ser auto-complementarios. En la segunda parte del programa, se realiza un análisis posterior en la que los pares de "k-meros" más frecuentes que satisficieron los criterios de longitud, nucleótidos G/C en extremos 5´, etc., son caracterizados termodinámicamente por su capacidad de servir como oligonucleótidos para ser empleados en amplificaciones de DNA utilizando la técnica de amplificación mediante la reacción en cadena de la polimerasa, mejor conocida como PCR, por sus siglas en inglés. Dentro de esta subrutina se llama de manera recursiva a las subrutinas hibrida_5p y hibrida_3p.

====== Subrutina hibrida_5p =======

Esta subrutina tiene como propósito identificar las posiciones en donde un oligonucleótido pudiera hibridar en la secuencia genómica considerando una temperatura de alineamiento en la reacción de la amplificación por PCR. Es importante considerar que el número de sitios que puede reconocer un oligonucleótido particular podrá ser mucho mayor al originalmente evaluado en las primeras etapas de análisis del programa que evalúan la repetición de k-meros no degenerados en las secuencias genómicas. Con el propósito de reducir significativamente el tiempo requerido para el cómputo de los potenciales sitios de hibridación de un oligonucleótido, el programa consulta un archivo con los índices de las posiciones en donde se encuentran todos los 256 k-meros posibles de longitud 4, dentro del genoma (4 x 4 x 4 x 4 = 256). Para cada posición registrada en el directorio de índices, el programa obtiene la secuencia del genoma de longitud tamanio_ventana que corresponde al potencial sitio de unión del oligo. El valor de la mínima energía libre de hibridación (mfe) entre el oligo y el potencial sitio de unión en el genoma, es calculado usando el programa **RNAcofold** (Lorenz *et al.* 2011)

====== Subrutina hibrida_3p =======

Esta subrutina es similar a la de la subrutina **hibrida_5p** con la única diferencia de que las posiciones del oligonucleótido a ser identificadas corresponden a las secuencias inversas complementarias de las palabras vecinas al oligonucleótido considerado como izquierdo o 5p.

====== Programa RNAcofold ======

Es uno de los programas pertenecientes a la librería de análisis de la librería ViennaRNA 2.0 que permite evaluar las potenciales estructuras secundarias de moléculas de DNA o RNA de cadena sencilla posterior a su formación como moléculas diméricas y sus correspondientes valores de mínima energía libre (mfe), así como la función de partición (pf) y la matriz de probabilidad de emparejamiento de bases (Lorenz *et al.* 2011).

====== Subrutina compila_y_escribe_resultados_finales =======

En esta subrutina se escriben los archivos de resultados finales del análisis que incluyen los diferentes pares de oligonucleótidos candidatos a ser usados en las reacciones de PCR y sus potenciales sitios de hibridación. El análisis de hibridación *in sílico*, es realizado tanto para el genoma de estudio, como para todos los genomas considerados como controles negativos de organismos filogenéticamente cercanos. En nuestro diagnóstico inicial se eligió al genoma del hongo *Candida glabrata* CBS138 como genoma de estudio. Nuestro estudio consideró como control negativo a las secuencias genómicas de los 35 hongos listados en la Tabla 3.

II.5. Ensayos de amplificación de productos de PCR específicos de *C. glabrata*

Con el propósito de validar experimentalmente el diseño de oligos generados con nuestro programa, el Dr. Marco Josué Hernández Chávez, miembro del laboratorio de la Dra. Irene Castaño del IPICyT, realizó ensayos de amplificación de productos de PCR utilizando como templado el DNA genómico de *C. glabrata* y otras especies filogenéticamente relacionadas . Se utilizaron tres pares de oligonucleótidos y en todos los ensayos realizados se obtuvo amplificación exclusivamente en las reacciones en las que se usó el DNA genómico de *C. glabrata* como templado, demostrando que el diseño computacional de oligos para la detección de genomas de interés permite obtener resultados con gran especificidad y sensibilidad (Ver apéndice # 1)

CONCLUSIONES

- Se ha logrado establecer una plataforma con un importante impacto en el diagnóstico de cepas de C. glabrata, pero, sobre todo, podrá ser útil en el diagnóstico de otros patógenos.
- La frecuencia absoluta de k-meros es una condición necesaria pero no suficiente para garantizar el diseño óptimo de los oligonucleótidos.
- Se ha realizado el análisis de la frecuencia de k-meros de diferentes tamaños en el genoma de C. glabrata, evaluando la especificidad de los k-meros frecuentes de C. glabrata en relación con 95 genomas de phylum Ascomycota; así también se ha analizado la posición relativa de los k-meros identificados y su relación con las regiones codificantes, intergénicas, así como su cercanía a regiones teloméricas.
- Dentro de los 98 organismos que se analizaron, existen coincidencias en un gran número de secuencias comparativamente a las existentes en *C. glabrata*. Sin embargo, hay presentes en esta especie un número considerable de micro y minisatélites que ayudaron a identificar la especie de manera específica.
- Los experimentos de amplificación realizados por el grupo de la Dra. Irene Castaño del IPICyT, demuestran que la estrategia para el diseño de oligos específicos de *C. glabrata* permite obtener ensayos de identificación de C. glabrata con una alta especificidad y sensibilidad. Siendo una herramienta potencial en el futuro para la identificación de otros microorganismos.

PERSPECTIVAS

1) Como una perspectiva inmediata a este trabajo se contempla la elaboración de una página web que permita el diseño de oligonucleótidos específicos para cualquier organismo de interés de cualquier usuario, de tal forma que pueda ser útil, no sólo en la identificación de *Candida glabrata*, si no de otros organismos patógenos o de interés particular. Se muestra el maquetado de dicha página que se está realizando en el grupo de Genómica Computacional, del Instituto de Biotecnología-UNAM.

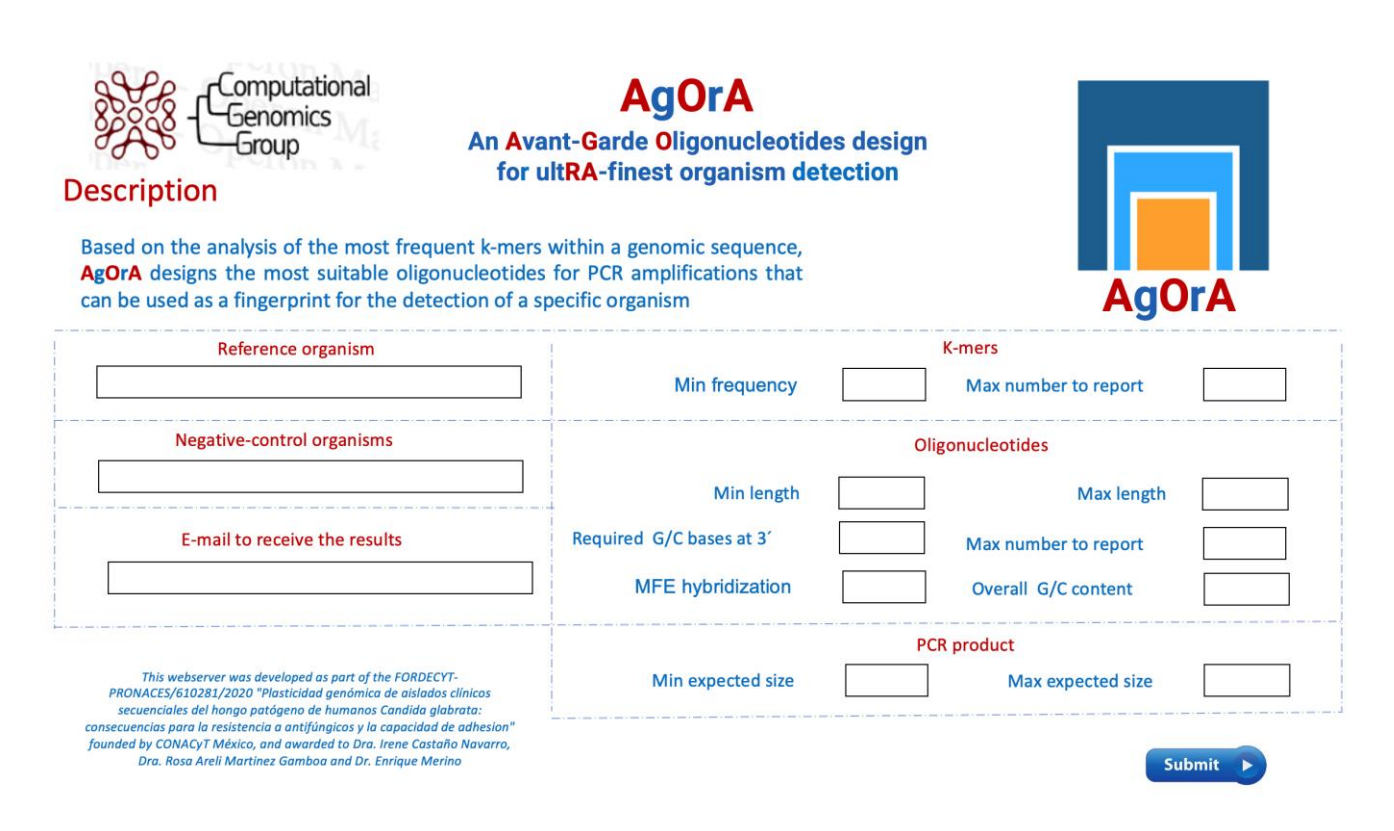


Figura 32. Página web para el diseño óptimo de oligonucleótidos a ser usados en ensayos de identificación de organismos específicos. La figura muestra un ejemplo del tipo de portal web considerado como la primera perspectiva a ser realizada próximamente.

2) Se pueden realizar modificaciones al código del programa para que, en lugar de realizar la identificación de un sólo organismo, se pueda contemplar la identificación de varios organismos simultáneamente. Por ejemplo, que permita el diseño óptimo de oligos para identificar a *Candida glabrata* y a *Candida albicans*.

Apéndice 1. Resultados de ensayos de amplificación de productos de PCR específicos de *C. glabrata* realizados por el Dr. Marco Josué Hernández Chávez del laboratorio de la Dra. Irene Castaño del IPICyT

Tabla 5. Lista de oligonucleótidos elegidos en el ensayo de identificación de *C. glabrata* mediante la amplificación por PCR

	No. Lab EMP	NAME	Seq 5' to 3'	Tm
1	5382	oli x2x35x sense	GGT GGT GAT CGT GGT AGG CTT GCC G	74
2	5383	Oli 2x 35x antisense	GAC TTC GAG ACA GAC CTT GTT TCG C	69
3	5384	oli 9x 35x sense	TGT TGA GAG CGA CTG GAT CTC GTT C	69
4	5385	oli 9x 35x antisense	AAT CTC TCC CTT CTC ATC AAC AGT G	67
15	5396	control 1x sense	AGG CTG AAA AGG CTA AGC TAG CTG C	69
16	5397	control 1x antisense	CGT CAA GAG CAC GAT TAA GGT CTC C	69

Tabla 6. Condiciones para las reacciones de PCR en el ensayo de identificación de *C. glabrata* usando los pares de oligos 1-2, 3-4 así como 15-16.

dNTPs concentration: 0.2 mM each 10 ng of DNA template Oligonucleotide concentration: 0.5 μM each			
Initial denaturation	95°C	3 minutes	
Denaturation	95°C	30 seconds	40
Annealing	69°C	30 seconds	. •
Extension	72 °C	1 minute	ciclos
Final extension	72 °C	5 minute	
Final Temperature	12 °C	5 minutes	

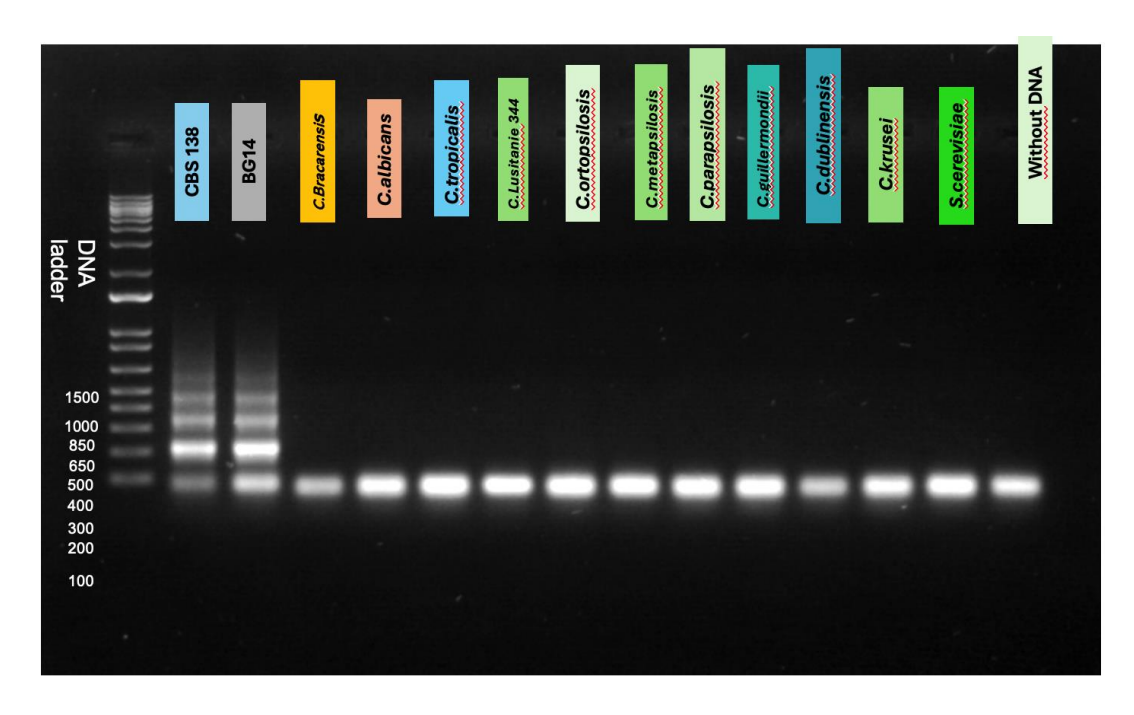


Figura 33. Productos de la reacción de PCR utilizando los oligos # 1 y # 2 utilizando DNA genómico de *C. glabrata* y especies relacionadas. Solo se obtiene amplificación con el DNA genómico de *C. glabrata* y no el de otras especies de *Candida* o especies relacionadas.

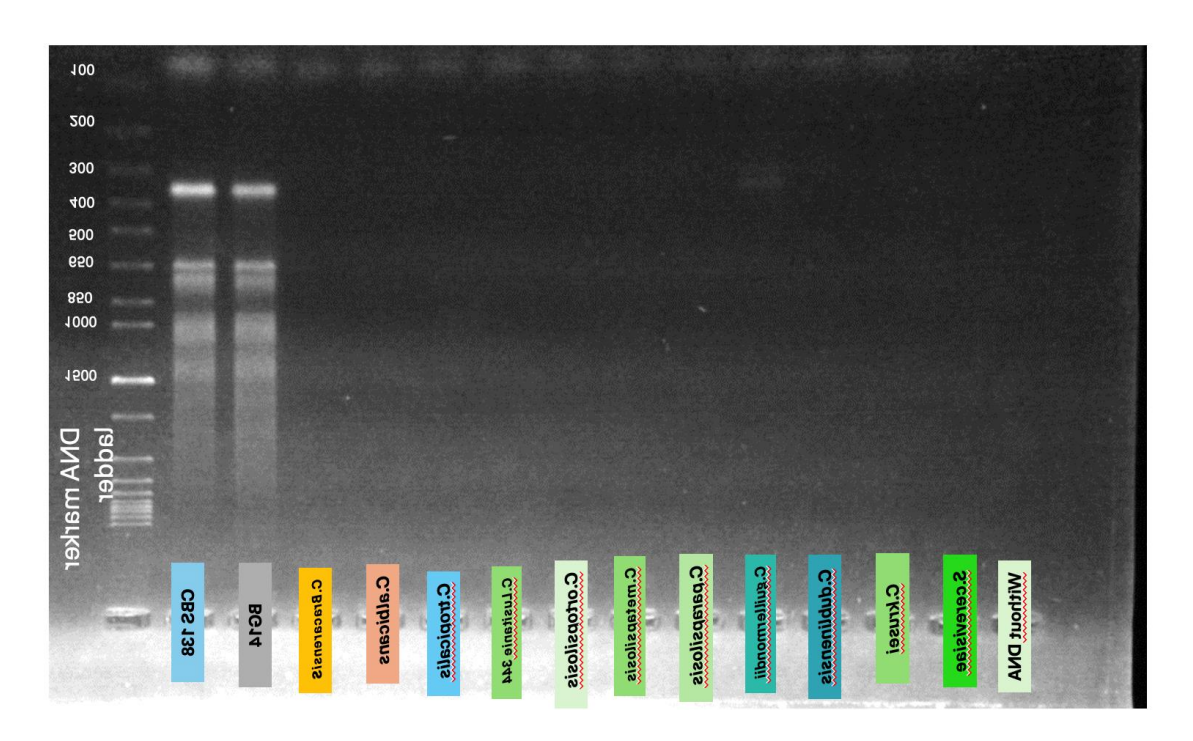


Figura 34. Productos de la reacción de PCR utilizando los oligos # 3y # 4 utilizando DNA genómico de *C. glabrata* y especies relacionadas. Solo se obtiene amplificación con el DNA genómico de *C. glabrata* y no el de otras especies de *Candida* o especies relacionadas.

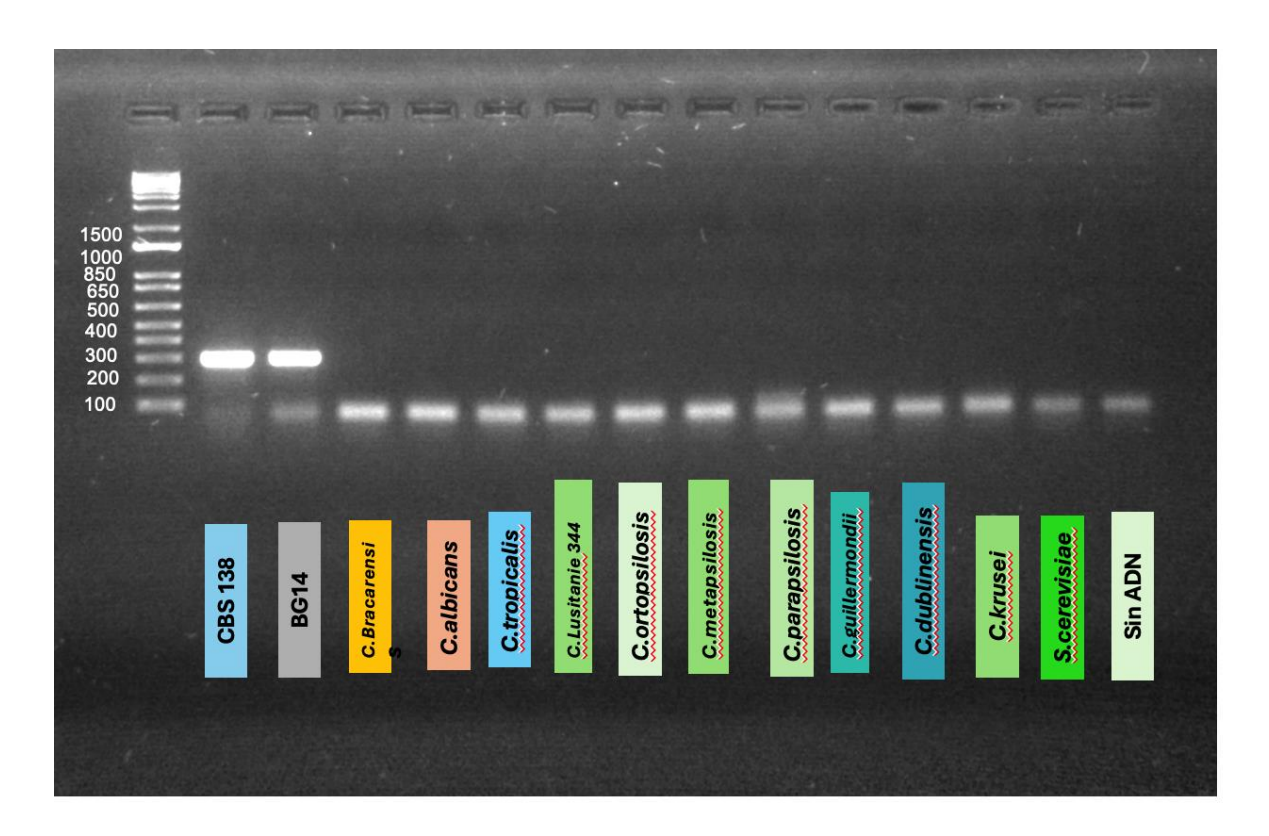


Figura 35. Productos de la reacción de PCR utilizando los oligos # 15 y # 16 utilizando DNA genómico de *C. glabrata* y especies relacionadas. Solo se obtiene amplificación con el DNA genómico de *C. glabrata* y no el de otras especies de *Candida* o especies relacionadas.

Apéndice 2. Lista de organismos considerados en el estudio.

```
aalt
Alternaria alternata SRC1lrK2f
Eukaryota, Fungi, Dikarya, Ascomycota, Pezizomycotina, -, Dothideomycetes, Pleosporomycetidae, -, -
,Pleosporales,Pleosporineae,-,-,Pleosporaceae,-,-,-,Alternaria,-,Alternaria alternata,-,-
Trichophyton benhamiae CBS 112371 (Arthroderma benhamiae CBS 112371)
Eukaryota, Fungi, Dikarya, Ascomycota, Pezizomycotina, -, Eurotiomycetes, Eurotiomycetidae, -, -, Onygenales, -, -
,-,Arthrodermataceae,-,-,-,Trichophyton,-,Trichophyton benhamiae,-,-
  abp
Agaricus bisporus var. burnettii JB137-S8
Eukaryota, Fungi, Dikarya, Basidiomycota, Agaricomycotina, -, Agaricomycetes, Agaricomycetidae, -, -
,Agaricales,-,-,-,Agaricaceae,-,-,-,Agaricus,-,Agaricus bisporus,-,-
abv
Agaricus bisporus var. bisporus H97
Eukaryota, Fungi, Dikarya, Basidiomycota, Agaricomycotina, -, Agaricomycetes, Agaricomycetidae, -, -
,Agaricales,-,-,-,Agaricaceae,-,-,-,Agaricus,-,Agaricus bisporus,-,-
Aspergillus clavatus NRRL 1
Eukaryota, Fungi, Dikarya, Ascomycota, Pezizomycotina, -, Eurotiomycetes, Eurotiomycetidae, -, -, Eurotiales, -, -, -
,Aspergillaceae,-,-,-,Aspergillus,Aspergillus subgen. Fumigati,Aspergillus clavatus,-,-
Auricularia subglabra TFB-10046 SS5
Eukaryota, Fungi, Dikarya, Basidiomycota, Agaricomycotina, -, Agaricomycetes, -, -, -, Auriculariales, -, -, -
,Auriculariaceae,-,-,-,Auricularia,-,Auricularia subglabra,-,-
afm
Aspergillus fumigatus Af293
Eukaryota, Fungi, Dikarya, Ascomycota, Pezizomycotina, -, Eurotiomycetes, Eurotiomycetidae, -, -, Eurotiales, -, -, -
,Aspergillaceae,-,-,-,Aspergillus,Aspergillus subgen. Fumigati,Aspergillus fumigatus,-,-
afv
Aspergillus flavus NRRL3357
Eukaryota, Fungi, Dikarya, Ascomycota, Pezizomycotina, -, Eurotiomycetes, Eurotiomycetidae, -, -, Eurotiales, -, -, -
,Aspergillaceae,-,-,-,Aspergillus,Aspergillus subgen. Circumdati,Aspergillus flavus,-,-
Ashbya gossypii (Eremothecium gossypii) ATCC 10895
Eukaryota, Fungi, Dikarya, Ascomycota, Saccharomycotina, -, Saccharomycetes, -, -, -, Saccharomycetales, -, -, -
,Saccharomycetaceae,-,-,-,Eremothecium,-,Eremothecium gossypii,-,-
_____
aie
Histoplasma capsulatum NAm1
Eukaryota, Fungi, Dikarya, Ascomycota, Pezizomycotina, -, Eurotiomycetes, Eurotiomycetidae, -, -, Onygenales, -, -
,-,Ajellomycetaceae,-,-,-,Histoplasma,-,Histoplasma capsulatum,-,-
ang
Aspergillus niger CBS 513.88
Eukaryota, Fungi, Dikarya, Ascomycota, Pezizomycotina, -, Eurotiomycetes, Eurotiomycetidae, -, -, Eurotiales, -, -, -
,Aspergillaceae,-,-,-,Aspergillus,Aspergillus subgen. Circumdati,Aspergillus niger,-,-
```

```
Aspergillus nidulans FGSC A4
Eukaryota, Fungi, Dikarya, Ascomycota, Pezizomycotina, -, Eurotiomycetes, Eurotiomycetidae, -, -, Eurotiales, -, -, -
,Aspergillaceae,-,-,-,Aspergillus,Aspergillus subgen. Nidulantes,Aspergillus nidulans,-,-
Aspergillus oryzae RIB40
Eukaryota, Fungi, Dikarya, Ascomycota, Pezizomycotina, -, Eurotiomycetes, Eurotiomycetidae, -, -, Eurotiales, -, -, -
,Aspergillaceae,-,-,-,Aspergillus,Aspergillus subgen. Circumdati,Aspergillus oryzae,-,-
Baudoinia panamericana UAMH 10762 (Baudoinia compniacensis UAMH 10762)
Eukaryota, Fungi, Dikarya, Ascomycota, Pezizomycotina, -, Dothideomycetes, Dothideomycetidae, -, -
"Mycosphaerellales,-,-,-,Teratosphaeriaceae,-,-,-,Baudoinia,-,Baudoinia panamericana,-,-
bfu
Botrytis cinerea B05.10
Eukaryota, Fungi, Dikarya, Ascomycota, Pezizomycotina, -, Leotiomycetes, -, -, -, Helotiales, -, -, -, Sclerotiniaceae, -, -
,-,Botrytis,-,Botrytis cinerea,-,-
bgh
Blastomyces gilchristii SLH14081
Eukaryota, Fungi, Dikarya, Ascomycota, Pezizomycotina, -, Eurotiomycetes, Eurotiomycetidae, -, -, Onygenales, -, -
,-,Ajellomycetaceae,-,-,-,Blastomyces,-,Blastomyces gilchristii,-,-
bnn
Brettanomyces nanus CBS 1945
Eukaryota, Fungi, Dikarya, Ascomycota, Saccharomycotina, -, Saccharomycetes, -, -, -, Saccharomycetales, -, -, -
,Pichiaceae,-,-,-,Brettanomyces,-,Brettanomyces nanus,-,-
bor
Bipolaris oryzae ATCC 44560
Eukaryota, Fungi, Dikarya, Ascomycota, Pezizomycotina, -, Dothideomycetes, Pleosporomycetidae, -, -
,Pleosporales,Pleosporineae,-,-,Pleosporaceae,-,-,-,Bipolaris,-,Bipolaris oryzae,-,-
bsc
Bipolaris sorokiniana ND90Pr
Eukaryota, Fungi, Dikarya, Ascomycota, Pezizomycotina, -, Dothideomycetes, Pleosporomycetidae, -, -
,Pleosporales,Pleosporineae,-,-,Pleosporaceae,-,-,-,Bipolaris,-,Bipolaris sorokiniana,-,-
bze
Bipolaris zeicola 26-R-13
Eukaryota, Fungi, Dikarya, Ascomycota, Pezizomycotina, -, Dothideomycetes, Pleosporomycetidae, -, -
,Pleosporales,Pleosporineae,-,-,Pleosporaceae,-,-,-,Bipolaris,-,Bipolaris zeicola,-,-
Candida albicans SC5314
Eukaryota, Fungi, Dikarya, Ascomycota, Saccharomycotina, -, Saccharomycetes, -, -, -, Saccharomycetales, -, -, -
,Debaryomycetaceae,-,-,-,Candida,-,Candida albicans,-,-
caur
Candida auris
Eukaryota, Fungi, Dikarya, Ascomycota, Saccharomycotina, -, Saccharomycetes, -, -, -, Saccharomycetales, -, -, -
,Metschnikowiaceae,-,-,-,Clavispora,-,[Candida] auris,-,-
```

```
cci
Coprinopsis cinerea okayama7#130
Eukaryota, Fungi, Dikarya, Basidiomycota, Agaricomycotina, -, Agaricomycetes, Agaricomycetidae, -, -
,Agaricales,-,-,-,Psathyrellaceae,-,-,-,Coprinopsis,-,Coprinopsis cinerea,-,-
cdu
Candida dubliniensis CD36
Eukaryota, Fungi, Dikarya, Ascomycota, Saccharomycotina, -, Saccharomycetes, -, -, -, Saccharomycetales, -, -, -
,Debaryomycetaceae,-,-,-,Candida,-,Candida dubliniensis,-,-
 ____
Colletotrichum fioriniae PJ7
Eukaryota, Fungi, Dikarya, Ascomycota, Pezizomycotina, -, Sordariomycetes, Hypocreomycetidae, -, -
,Glomerellales,-,-,-,Glomerellaceae,-,-,-,Colletotrichum,-,Colletotrichum fioriniae,-,-
Cryptococcus gattii WM276
Eukaryota, Fungi, Dikarya, Basidiomycota, Agaricomycotina, -, Tremellomycetes, -, -, -, Tremellales, -, -, -
,Cryptococcaceae,-,-,-,Cryptococcus,-,Cryptococcus gattii VGI,-,-
car
Candida glabrata CBS138
Eukaryota, Fungi, Dikarya, Ascomycota, Saccharomycotina, -, Saccharomycetes, -, -, -, Saccharomycetales, -, -, -
,Saccharomycetaceae,-,-,-,Nakaseomyces,-,[Candida] glabrata,-,-
cim
Coccidioides immitis RS
Eukaryota, Fungi, Dikarya, Ascomycota, Pezizomycotina, -, Eurotiomycetes, Eurotiomycetidae, -, -, Onygenales, -, -
,-,-,-,-,Coccidioides,-,Coccidioides immitis,-,-
clu
Clavispora Iusitaniae ATCC 42720
Eukaryota, Fungi, Dikarya, Ascomycota, Saccharomycotina, -, Saccharomycetes, -, -, -, Saccharomycetales, -, -, -
,Metschnikowiaceae,-,-,-,Clavispora,-,Clavispora lusitaniae,-,-
clus
Clavispora Iusitaniae CBS 6936
Eukaryota, Fungi, Dikarya, Ascomycota, Saccharomycotina, -, Saccharomycetes, -, -, -, Saccharomycetales, -, -, -
,Metschnikowiaceae,-,-,-,Clavispora,-,Clavispora lusitaniae,-,-
cmt
Cordyceps militaris CM01
Eukaryota, Fungi, Dikarya, Ascomycota, Pezizomycotina, -, Sordariomycetes, Hypocreomycetidae, -, -
,Hypocreales,-,-,-,Cordycipitaceae,-,-,-,Cordyceps,-,Cordyceps militaris,-,-
cnb
Cryptococcus neoformans var. neoformans B-3501A
Eukaryota, Fungi, Dikarya, Basidiomycota, Agaricomycotina, -, Tremellomycetes, -, -, -, Tremellales, -, -, -,
,Cryptococcaceae,-,-,-,Cryptococcus,-,Cryptococcus neoformans,-,-
Cryptococcus neoformans var. neoformans JEC21 (Filobasidiella neoformans JEC21)
Eukaryota, Fungi, Dikarya, Basidiomycota, Agaricomycotina, -, Tremellomycetes, -, -, -, Tremellales, -, -, -
,Cryptococcaceae,-,-,-,Cryptococcus,-,Cryptococcus neoformans,-,-
cot
```

```
Candida orthopsilosis Co 90-125
Eukaryota, Fungi, Dikarya, Ascomycota, Saccharomycotina, -, Saccharomycetes, -, -, -, Saccharomycetales, -, -, -
,Debaryomycetaceae,-,-,-,Candida,-,Candida orthopsilosis,-,-
cput
Coniophora puteana RWD-64-598 SS2
Eukaryota, Fungi, Dikarya, Basidiomycota, Agaricomycotina, -, Agaricomycetes, Agaricomycetidae, -, -
,Boletales,Coniophorineae,-,-,Coniophoraceae,-,-,-,Coniophora,-,Coniophora puteana,-,-
cpw
Coccidioides posadasii C735 delta SOWgp
Eukaryota, Fungi, Dikarya, Ascomycota, Pezizomycotina, -, Eurotiomycetes, Eurotiomycetidae, -, -, Onygenales, -, -
,-,-,-,Coccidioides,-,Coccidioides posadasii,-,-
cten
Yamadazyma tenuis ATCC 10573 (Candida tenuis ATCC 10573)
Eukaryota, Fungi, Dikarya, Ascomycota, Saccharomycotina, -, Saccharomycetes, -, -, -, Saccharomycetales, -, -, -
,Debaryomycetaceae,-,-,-,Yamadazyma,-,Yamadazyma tenuis,-,-
_____
Chaetomium thermophilum var. thermophilum DSM 1495
Eukaryota, Fungi, Dikarya, Ascomycota, Pezizomycotina, -, Sordariomycetes, Sordariomycetidae, -, -, Sordariales, -
,-,-,Chaetomiaceae,-,-,-,Chaetomium,-,Chaetomium thermophilum,-,-
 -----
Candida tropicalis MYA-3404
Eukaryota, Fungi, Dikarya, Ascomycota, Saccharomycotina, -, Saccharomycetes, -, -, -, Saccharomycetales, -, -, -
,Debaryomycetaceae,-,-,-,Candida,-,Candida tropicalis,-,-
dha
Debaryomyces hansenii CBS767
Eukaryota, Fungi, Dikarya, Ascomycota, Saccharomycotina, -, Saccharomycetes, -, -, -, Saccharomycetales, -, -, -
,Debaryomycetaceae,-,-,-,Debaryomyces,-,Debaryomyces hansenii,-,-
dsq
Dichomitus squalens LYAD-421 SS1
Eukaryota, Fungi, Dikarya, Basidiomycota, Agaricomycotina, -, Agaricomycetes, -, -, -, Polyporales, -, -, -
,Polyporaceae,-,-,-,Dichomitus,-,Dichomitus squalens,-,-
Encephalitozoon cuniculi GB-M1
Eukaryota, Fungi,-, Microsporidia,-,-,-,-, Apansporoblastina,-,-, Unikaryonidae,-,-,-, Encephalitozoon,-
,Encephalitozoon cuniculi,-,-
Encephalitozoon hellem ATCC 50504
Eukaryota, Fungi,-, Microsporidia,-,-,-,-, Apansporoblastina,-,-, Unikaryonidae,-,-,-, Encephalitozoon,-
,Encephalitozoon hellem,-,-
ein
Encephalitozoon intestinalis ATCC 50506
Eukaryota, Fungi,-, Microsporidia,-,-,-,-, Apansporoblastina,-,-, Unikaryonidae,-,-,-, Encephalitozoon,-
,Encephalitozoon intestinalis,-,-
ela
Eutypa lata UCREL1
```

```
Eukaryota, Fungi, Dikarya, Ascomycota, Pezizomycotina, -, Sordariomycetes, Xylariomycetidae, -, -, Xylariales, -, -, -
,Diatrypaceae,-,-,-,Eutypa,-,Eutypa lata,-,-
erc
Eremothecium cymbalariae DBVPG#7215
Eukaryota, Fungi, Dikarya, Ascomycota, Saccharomycotina, -, Saccharomycetes, -, -, -, Saccharomycetales, -, -, -
,Saccharomycetaceae,-,-,-,Eremothecium,-,Eremothecium cymbalariae,-,-
Encephalitozoon romaleae SJ-2008
Eukaryota, Fungi,-, Microsporidia,-,-,-,-, Apansporoblastina,-,-, Unikaryonidae,-,-,-, Encephalitozoon,-
,Encephalitozoon romaleae,-,-
Fusarium graminearum (Gibberella zeae PH-1)
Eukaryota, Fungi, Dikarya, Ascomycota, Pezizomycotina, -, Sordariomycetes, Hypocreomycetidae, -, -
,Hypocreales,-,-,-,Nectriaceae,-,-,-,Fusarium,-,Fusarium graminearum,-,-
fme
Fomitiporia mediterranea MF3/22
Eukaryota,Fungi,Dikarya,Basidiomycota,Agaricomycotina,-,Agaricomycetes,-,-,-,Hymenochaetales,-,-,-
,Hymenochaetaceae,-,-,-,Fomitiporia,-,Fomitiporia mediterranea,-,-
fox
Fusarium oxysporum f. sp. lycopersici 4287
Eukaryota, Fungi, Dikarya, Ascomycota, Pezizomycotina, -, Sordariomycetes, Hypocreomycetidae, -, -
,Hypocreales,-,-,-,Nectriaceae,-,-,-,Fusarium,-,Fusarium oxysporum,-,-
Fusarium pseudograminearum CS3096
Eukaryota, Fungi, Dikarya, Ascomycota, Pezizomycotina, -, Sordariomycetes, Hypocreomycetidae, -, -
,Hypocreales,-,-,-,Nectriaceae,-,-,-,Fusarium,-,Fusarium pseudograminearum,-,-
Fusarium verticillioides 7600
Eukaryota, Fungi, Dikarya, Ascomycota, Pezizomycotina, -, Sordariomycetes, Hypocreomycetidae, -, -
,Hypocreales,-,-,-,Nectriaceae,-,-,-,Fusarium,-,Fusarium verticillioides,-,-
qlz
Glarea lozovensis ATCC 20868
Eukaryota, Fungi, Dikarya, Ascomycota, Pezizomycotina, -, Leotiomycetes, -, -, -, Helotiales, -, -, -, Helotiaceae, -, -, -
,Glarea,-,Glarea lozoyensis,-,-
gtr
Gloeophyllum trabeum ATCC 11539
Eukaryota, Fungi, Dikarya, Basidiomycota, Agaricomycotina, -, Agaricomycetes, -, -, -, Gloeophyllales, -, -, -
,Gloeophyllaceae,-,-,-,Gloeophyllum,-,Gloeophyllum trabeum,-,-
_____
hir
Heterobasidion irregulare TC 32-1
Eukarvota, Fungi, Dikarya, Basidiomycota, Agaricomycotina, -, Agaricomycetes, -, -, -, Russulales, -, -, -
,Bondarzewiaceae,-,-,-,Heterobasidion,-,Heterobasidion irregulare,-,-
Kazachstania africana CBS 2517
```

```
Eukaryota, Fungi, Dikarya, Ascomycota, Saccharomycotina, -, Saccharomycetes, -, -, -, Saccharomycetales, -, -, -
,Saccharomycetaceae,-,-,-,Kazachstania,-,Kazachstania africana,-,-
kla
Kluyveromyces lactis NRRL Y-1140
Eukaryota, Fungi, Dikarya, Ascomycota, Saccharomycotina, -, Saccharomycetes, -, -, -, Saccharomycetales, -, -, -
,Saccharomycetaceae,-,-,-,Kluyveromyces,-,Kluyveromyces lactis,-,-
Kluyveromyces marxianus DMKU3-1042
Eukaryota, Fungi, Dikarya, Ascomycota, Saccharomycotina, -, Saccharomycetes, -, -, -, Saccharomycetales, -, -, -
,Saccharomycetaceae,-,-,-,Kluyveromyces,-,Kluyveromyces marxianus,-,-
lbc
Laccaria bicolor S238N-H82
Eukaryota, Fungi, Dikarya, Basidiomycota, Agaricomycotina, -, Agaricomycetes, Agaricomycetidae, -, -
,Agaricales,-,-,-,Tricholomataceae,-,-,-,Laccaria,-,Laccaria bicolor,-,-
lel
Lodderomyces elongisporus NRRL YB-4239
Eukaryota, Fungi, Dikarya, Ascomycota, Saccharomycotina, -, Saccharomycetes, -, -, -, Saccharomycetales, -, -, -
,Debaryomycetaceae,-,-,-,Lodderomyces,-,Lodderomyces elongisporus,-,-
______
lth
Lachancea thermotolerans CBS 6340 (Kluyveromyces thermotolerans CBS 6340)
Eukaryota, Fungi, Dikarya, Ascomycota, Saccharomycotina, -, Saccharomycetes, -, -, -, Saccharomycetales, -, -, -
,Saccharomycetaceae,-,-,-,Lachancea,-,Lachancea thermotolerans,-,-
mai
Metarhizium robertsii ARSEF 23
Eukaryota, Fungi, Dikarya, Ascomycota, Pezizomycotina, -, Sordariomycetes, Hypocreomycetidae, -, -
,Hypocreales,-,-,-,Clavicipitaceae,-,-,-,Metarhizium,-,Metarhizium robertsii,-,-
Metarhizium acridum CQMa 102
Eukaryota, Fungi, Dikarya, Ascomycota, Pezizomycotina, -, Sordariomycetes, Hypocreomycetidae, -, -
,Hypocreales,-,-,-,Clavicipitaceae,-,-,-,Metarhizium,-,Metarhizium acridum,-,-
mbe
Marssonina brunnea f. sp. 'multigermtubi' MB m1
Eukaryota, Fungi, Dikarya, Ascomycota, Pezizomycotina, -, Leotiomycetes, -, -, -, Helotiales, -, -, -, Dermateaceae, -, -
,-,Marssonina,-,Marssonina brunnea,-,-
mgl
Malassezia globosa CBS 7966
Eukaryota,Fungi,Dikarya,Basidiomycota,Ustilaginomycotina,-,Malasseziomycetes,-,-,-,Malasseziales,-,-,-
,Malasseziaceae,-,-,-,Malassezia,-,Malassezia globosa,-,-
-----
mar
Pyricularia oryzae 70-15 (Magnaporthe oryzae 70-15)
Eukarvota, Fungi, Dikarva, Ascomycota, Pezizomycotina, -, Sordariomycetes, Sordariomycetidae, -, -
,Magnaporthales,-,-,-,Pyriculariaceae,-,-,-,Pyricularia,-,Pyricularia oryzae,-,-
Melampsora larici-populina 98AG31
```

```
Eukaryota, Fungi, Dikarya, Basidiomycota, Pucciniomycotina, -, Pucciniomycetes, -, -, -, Pucciniales, -, -, -,
,Melampsoraceae,-,-,-,Melampsora,-,Melampsora larici,-,-
mpr
Moniliophthora perniciosa FA553
Eukaryota, Fungi, Dikarya, Basidiomycota, Agaricomycotina, -, Agaricomycetes, Agaricomycetidae, -, -
,Agaricales,-,-,-,Marasmiaceae,-,-,-,Moniliophthora,-,Moniliophthora perniciosa,-,-
 Moniliophthora roreri MCA 2997
Eukaryota, Fungi, Dikarya, Basidiomycota, Agaricomycotina, -, Agaricomycetes, Agaricomycetidae, -, -
,Agaricales,-,-,-,Marasmiaceae,-,-,-,Moniliophthora,-,Moniliophthora roreri,-,-
Malassezia restricta KCTC 27527
Eukaryota, Fungi, Dikarya, Basidiomycota, Ustilaginomycotina, -, Malasseziomycetes, -, -, -, Malasseziales, -, -, -
,Malasseziaceae,-,-,-,Malassezia,-,Malassezia restricta,-,-
msym
Malassezia sympodialis ATCC 42132
Eukaryota, Fungi, Dikarya, Basidiomycota, Ustilaginomycotina, -, Malasseziomycetes, -, -, -, Malasseziales, -, -, -
,Malasseziaceae,-,-,-,Malassezia,-,Malassezia sympodialis,-,-
mtm
Thermothelomyces thermophilus ATCC 42464 (Myceliophthora thermophila ATCC 42464)
Eukaryota, Fungi, Dikarya, Ascomycota, Pezizomycotina, -, Sordariomycetes, Sordariomycetidae, -, -, Sordariales, -
,-,-,Chaetomiaceae,-,-,-,Thermothelomyces,-,Thermothelomyces thermophilus,-,-
Nosema ceranae BRL01
Eukaryota, Fungi, -, Microsporidia, -, -, -, -, -, -, Apansporoblastina, -, -, Nosematidae, -, -, -, Nosema, -, Nosema
ceranae,-,-
Neurospora crassa OR74A
Eukaryota, Fungi, Dikarya, Ascomycota, Pezizomycotina, -, Sordariomycetes, Sordariomycetidae, -, -, Sordariales, -
,-,-,Sordariaceae,-,-,-,Neurospora,-,Neurospora crassa,-,-
ncs
Naumovozyma castellii CBS 4309
Eukaryota, Fungi, Dikarya, Ascomycota, Saccharomycotina, -, Saccharomycetes, -, -, -, Saccharomycetales, -, -, -
,Saccharomycetaceae,-,-,-,Naumovozyma,-,Naumovozyma castellii,-,-
ndi
Naumovozyma dairenensis CBS 421
Eukaryota, Fungi, Dikarya, Ascomycota, Saccharomycotina, -, Saccharomycetes, -, -, -, Saccharomycetales, -, -, -
,Saccharomycetaceae,-,-,-,Naumovozyma,-,Naumovozyma dairenensis,-,-
_____
nfi
Aspergillus fischeri NRRL 181 (Neosartorya fischeri NRRL 181)
Eukarvota, Fungi, Dikarva, Ascomycota, Pezizomycotina, -, Eurotiomycetes, Eurotiomycetidae, -, -, Eurotiales, -, -, Eurotiomycetes, Eurotiomycetes, Eurotiomycetidae, -, -, Eurotiales, -, -, Eurotiomycetes, Eurotiom
,Aspergillaceae,-,-,-,Aspergillus,Aspergillus subgen. Fumigati,Aspergillus fischeri,-,-
Fusarium vanettenii 77-13-4 (Nectria haematococca mpVI 77-13-4)
```

```
Eukaryota, Fungi, Dikarya, Ascomycota, Pezizomycotina, -, Sordariomycetes, Hypocreomycetidae, -, -
,Hypocreales,-,-,-,Nectriaceae,-,-,-,Fusarium,-,Fusarium vanettenii,-,-
npa
Neofusicoccum parvum UCRNP2
Eukaryota, Fungi, Dikarya, Ascomycota, Pezizomycotina, -, Dothideomycetes, -, -, -, Botryosphaeriales, -, -, -
,Botryosphaeriaceae,-,-,-,Neofusicoccum,-,Neofusicoccum parvum,-,-
Neurospora tetrasperma FGSC 2508
Eukaryota, Fungi, Dikarya, Ascomycota, Pezizomycotina, -, Sordariomycetes, Sordariomycetidae, -, -, Sordariales, -
,-,-,Sordariaceae,-,-,-,Neurospora,-,Neurospora tetrasperma,-,-
Podospora anserina S mat+
Eukaryota, Fungi, Dikarya, Ascomycota, Pezizomycotina, -, Sordariomycetes, Sordariomycetidae, -, -, Sordariales, -
,-,-,Chaetomiaceae,-,-,-,Podospora,-,Podospora anserina,-,-
lda
Paracoccidioides lutzii Pb01 (Paracoccidioides brasiliensis Pb01)
Eukaryota, Fungi, Dikarya, Ascomycota, Pezizomycotina, -, Eurotiomycetes, Eurotiomycetidae, -, -, Onygenales, -, -
,-,-,-,-,Paracoccidioides,-,Paracoccidioides lutzii,-,-
pbn
Paracoccidioides brasiliensis Pb18
Eukaryota, Fungi, Dikarya, Ascomycota, Pezizomycotina, -, Eurotiomycetes, Eurotiomycetidae, -, -, Onygenales, -, -
,-,-,-,-,Paracoccidioides,-,Paracoccidioides brasiliensis,-,-
Phanerochaete carnosa HHB-10118-sp
Eukaryota, Fungi, Dikarya, Basidiomycota, Agaricomycotina, -, Agaricomycetes, -, -, -, Polyporales, -, -, -
,Phanerochaetaceae,-,-,-,Phanerochaete,-,Phanerochaete carnosa,-,-
Penicillium rubens Wisconsin 54-1255 (Penicillium chrysogenum Wisconsin 54-1255)
Eukaryota, Fungi, Dikarya, Ascomycota, Pezizomycotina, -, Eurotiomycetes, Eurotiomycetidae, -, -, Eurotiales, -, -, -
,Aspergillaceae,-,-,-,Penicillium,-,Penicillium rubens,-,-
pdp
Penicillium digitatum Pd1
Eukaryota, Fungi, Dikarya, Ascomycota, Pezizomycotina, -, Eurotiomycetes, Eurotiomycetidae, -, -, Eurotiales, -, -, -
,Aspergillaceae,-,-,-,Penicillium,-,Penicillium digitatum,-,-
pfj
Pseudocercospora fijiensis CIRAD86
Eukaryota, Fungi, Dikarya, Ascomycota, Pezizomycotina, -, Dothideomycetes, Dothideomycetidae, -, -
,Mycosphaerellales,-,-,-,Mycosphaerellaceae,-,-,-,Pseudocercospora,-,Pseudocercospora fijiensis,-,-
----
Anthracocystis flocculosa PF-1 (Pseudozyma flocculosa PF-1)
Eukarvota.Fungi,Dikarya,Basidiomycota,Ustilaginomycotina,-,Ustilaginomycetes,-,-,-,Ustilaginales,-,-,-
,Ustilaginaceae,-,-,-,Anthracocystis,-,Anthracocystis flocculosa,-,-
Pestalotiopsis fici W106-1
```

```
Eukaryota, Fungi, Dikarya, Ascomycota, Pezizomycotina, -, Sordariomycetes, Xylariomycetidae, -, -, Xylariales, -, -, -
,Sporocadaceae,-,-,-,Pestalotiopsis,-,Pestalotiopsis fici,-,-
pgr
Puccinia graminis f. sp. tritici CRL 75-36-700-3
Eukaryota, Fungi, Dikarya, Basidiomycota, Pucciniomycotina, -, Pucciniomycetes, -, -, -, Pucciniales, -, -, -,
,Pucciniaceae,-,-,-,Puccinia,-,Puccinia graminis,-,-
pqu
Meyerozyma guilliermondii (Pichia guilliermondii) ATCC 6260
Eukaryota, Fungi, Dikarya, Ascomycota, Saccharomycotina, -, Saccharomycetes, -, -, -, Saccharomycetales, -, -, -
,Debaryomycetaceae,-,-,-,Meyerozyma,-,Meyerozyma guilliermondii,-,-
Scheffersomyces stipitis (Pichia stipitis) CBS 6054
Eukaryota, Fungi, Dikarya, Ascomycota, Saccharomycotina, -, Saccharomycetes, -, -, -, Saccharomycetales, -, -, -
,Debaryomycetaceae,-,-,-,Scheffersomyces,-,Scheffersomyces stipitis,-,-
pkz
Pichia kudriavzevii CBS573
Eukaryota, Fungi, Dikarya, Ascomycota, Saccharomycotina, -, Saccharomycetes, -, -, -, Saccharomycetales, -, -, -
,Pichiaceae,-,-,-,Pichia,-,Pichia kudriavzevii,-,-
plj
Purpureocillium lilacinum
Eukaryota, Fungi, Dikarya, Ascomycota, Pezizomycotina, -, Sordariomycetes, Hypocreomycetidae, -, -
,Hypocreales,-,-,-,Ophiocordycipitaceae,-,-,-,Purpureocillium,-,Purpureocillium lilacinum,-,-
_____
Parastagonospora nodorum SN15 (Phaeosphaeria nodorum SN15)
Eukaryota, Fungi, Dikarya, Ascomycota, Pezizomycotina, -, Dothideomycetes, Pleosporomycetidae, -, -
"Pleosporales, Pleosporineae, -, -, Phaeosphaeriaceae, -, -, -, Parastagonospora, -, Parastagonospora nodorum, -, -
Komagataella phaffii GS115 (Pichia pastoris GS115)
Eukaryota, Fungi, Dikarya, Ascomycota, Saccharomycotina, -, Saccharomycetes, -, -, -, Saccharomycetales, -, -, -
,Phaffomycetaceae,-,-,-,Komagataella,-,Komagataella phaffii.-,-
ppl
Postia placenta Mad-698-R
Eukaryota, Fungi, Dikarya, Basidiomycota, Agaricomycotina, -, Agaricomycetes, -, -, -, Polyporales, -, -, -
,Dacryobolaceae,-,-,-,Postia,-,Postia placenta,-,-
psco
Mollisia scopiformis CBS 120377
Eukaryota, Fungi, Dikarya, Ascomycota, Pezizomycotina, -, Leotiomycetes, -, -, -, Helotiales, -, -, -, Mollisiaceae, -, -, -
,Phialocephala,-,Phialocephala scopiformis,-,-
-----
psq
Punctularia strigosozonata HHB-11173 SS5
Eukaryota, Fungi, Dikarya, Basidiomycota, Agaricomycotina, -, Agaricomycetes, -, -, -, Corticiales, -, -, -
,Punctulariaceae,-,-,-,Punctularia,-,Punctularia strigosozonata,-,-
Pyrenophora teres f. teres 0-1
```

```
Eukaryota, Fungi, Dikarya, Ascomycota, Pezizomycotina, -, Dothideomycetes, Pleosporomycetidae, -, -
,Pleosporales,Pleosporineae,-,-,Pleosporaceae,-,-,-,Pyrenophora,-,Pyrenophora teres,-,-
----
sapo
Scedosporium apiospermum IHEM 14462
Eukaryota, Fungi, Dikarya, Ascomycota, Pezizomycotina, -, Sordariomycetes, Hypocreomycetidae, -, -
,Microascales,-,-,-,Microascaceae,-,-,-,Scedosporium,-,Scedosporium apiospermum,-,-
Saccharomyces cerevisiae S288c
Eukaryota, Fungi, Dikarya, Ascomycota, Saccharomycotina, -, Saccharomycetes, -, -, -, Saccharomycetales, -, -, -
,Saccharomycetaceae,-,-,-,Saccharomyces,-,Saccharomyces cerevisiae,-,-
Schizophyllum commune H4-8
Eukaryota, Fungi, Dikarya, Basidiomycota, Agaricomycotina, -, Agaricomycetes, Agaricomycetidae, -, -
,Agaricales,-,-,-,Schizophyllaceae,-,-,-,Schizophyllum,-,Schizophyllum commune,-,-
shs
Stereum hirsutum FP-91666 SS1
Eukaryota, Fungi, Dikarya, Basidiomycota, Agaricomycotina, -, Agaricomycetes, -, -, -, Russulales, -, -, -
,Stereaceae,-,-,-,Stereum,-,Stereum hirsutum,-,-
sla
Serpula lacrymans var. lacrymans S7.9
Eukaryota, Fungi, Dikarya, Basidiomycota, Agaricomycotina, -, Agaricomycetes, Agaricomycetidae, -, -
,Boletales,Coniophorineae,-,-,Serpulaceae,-,-,-,Serpula,-,Serpula lacrymans,-,-
Sugiyamaella lignohabitans CBS 10342
Eukaryota, Fungi, Dikarya, Ascomycota, Saccharomycotina, -, Saccharomycetes, -, -, -, Saccharomycetales, -, -, -
,Trichomonascaceae,-,-,-,Sugiyamaella,-,Sugiyamaella lignohabitans,-,-
Sordaria macrospora k-hell
Eukaryota, Fungi, Dikarya, Ascomycota, Pezizomycotina, -, Sordariomycetes, Sordariomycetidae, -, -, Sordariales, -
,-,-,Sordariaceae,-,-,-,Sordaria,-,Sordaria macrospora,-,-
spaa
Spathaspora passalidarum NRRL Y-27907
Eukaryota, Fungi, Dikarya, Ascomycota, Saccharomycotina, -, Saccharomycetes, -, -, -, Saccharomycetales, -, -, -
,Debaryomycetaceae,-,-,-,Spathaspora,-,Spathaspora passalidarum,-,-
spo
Schizosaccharomyces pombe 972h-
Eukaryota, Fungi, Dikarya, Ascomycota, Taphrinomycotina, -, Schizosaccharomycetes, -, -, -
,Schizosaccharomycetales,-,-,-,Schizosaccharomycetaceae,-,-,-,Schizosaccharomyces,-
.Schizosaccharomyces pombe,-,-
ssck
Sporothrix schenckii 1099-18
Eukaryota, Fungi, Dikarya, Ascomycota, Pezizomycotina, -, Sordariomycetes, Sordariomycetidae, -, -
,Ophiostomatales,-,-,-,Ophiostomataceae,-,-,-,Sporothrix,-,Sporothrix schenckii,-,-
ssl
Sclerotinia sclerotiorum 1980 UF-70
```

```
Eukaryota, Fungi, Dikarya, Ascomycota, Pezizomycotina, -, Leotiomycetes, -, -, -, Helotiales, -, -, -, Sclerotiniaceae, -, -
,-,Sclerotinia,-,Sclerotinia sclerotiorum,-,-
tasa
Trichosporon asahii var. asahii CBS 2479
Eukaryota, Fungi, Dikarya, Basidiomycota, Agaricomycotina, -, Tremellomycetes, -, -, -, Trichosporonales, -, -, -
,Trichosporonaceae,-,-,-,Trichosporon,-,Trichosporon asahii,-,-
Tetrapisispora blattae CBS 6284
Eukaryota, Fungi, Dikarya, Ascomycota, Saccharomycotina, -, Saccharomycetes, -, -, -, Saccharomycetales, -, -, -
,Saccharomycetaceae,-,-,-,Tetrapisispora,-,Tetrapisispora blattae,-,-
Torulaspora delbrueckii CBS 1146
Eukaryota, Fungi, Dikarya, Ascomycota, Saccharomycotina, -, Saccharomycetes, -, -, -, Saccharomycetales, -, -, -
,Saccharomycetaceae,-,-,-,Torulaspora,-,Torulaspora delbrueckii,-,-
tmf
Talaromyces marneffei ATCC 18224
Eukaryota, Fungi, Dikarya, Ascomycota, Pezizomycotina, -, Eurotiomycetes, Eurotiomycetidae, -, -, Eurotiales, -, -, -
,Trichocomaceae,-,-,-,Talaromyces,-,Talaromyces marneffei,-,-
tml
Tuber melanosporum Mel28
Eukaryota, Fungi, Dikarya, Ascomycota, Pezizomycotina, -, Pezizomycetes, -, -, -, Pezizales, -, -, -, Tuberaceae, -, -, -
,Tuber,-,Tuber melanosporum,-,-
Phaeoacremonium minimum UCRPA7 (Togninia minima UCRPA7)
Eukaryota, Fungi, Dikarya, Ascomycota, Pezizomycotina, -, Sordariomycetes, Sordariomycetidae, -, -, Togniniales, -
,-,-,Togniniaceae,-,-,-,Phaeoacremonium,-,Phaeoacremonium minimum,-,-
Tremella mesenterica DSM 1558
Eukaryota, Fungi, Dikarya, Basidiomycota, Agaricomycotina, -, Tremellomycetes, -, -, -, Tremellales, -, -, -
,Tremellaceae,-,-,-,Tremella,-,Tremella mesenterica,-,-
tpf
Tetrapisispora phaffii CBS 4417
Eukaryota, Fungi, Dikarya, Ascomycota, Saccharomycotina, -, Saccharomycetes, -, -, -, Saccharomycetales, -, -, -
,Saccharomycetaceae,-,-,-,Tetrapisispora,-,Tetrapisispora phaffii,-,-
tre
Trichoderma reesei QM6a
Eukaryota, Fungi, Dikarya, Ascomycota, Pezizomycotina, -, Sordariomycetes, Hypocreomycetidae, -, -
,Hypocreales,-,-,-,Hypocreaceae,-,-,-,Trichoderma,-,Trichoderma reesei,-,-
_____
Talaromyces rugulosus W13939
Eukaryota, Fungi, Dikarya, Ascomycota, Pezizomycotina, -, Eurotiomycetes, Eurotiomycetidae, -, -, Eurotiales, -, -, -
,Trichocomaceae,-,-,-,Talaromyces,-,Talaromyces rugulosus,-,-
Trichoderma reesei RUT C-30
```

```
Eukaryota, Fungi, Dikarya, Ascomycota, Pezizomycotina, -, Sordariomycetes, Hypocreomycetidae, -, -
,Hypocreales,-,-,-,Hypocreaceae,-,-,-,Trichoderma,-,Trichoderma reesei,-,-
ttt
Thermothielavioides terrestris NRRL 8126 (Thielavia terrestris NRRL 8126)
Eukaryota, Fungi, Dikarya, Ascomycota, Pezizomycotina, -, Sordariomycetes, Sordariomycetidae, -, -, Sordariales, -
,-,-,Chaetomiaceae,-,-,-,Thermothielavioides,-,Thermothielavioides terrestris,-,-
Trichophyton verrucosum HKI 0517
Eukaryota, Fungi, Dikarya, Ascomycota, Pezizomycotina, -, Eurotiomycetes, Eurotiomycetidae, -, -, Onygenales, -, -
,-,Arthrodermataceae,-,-,-,Trichophyton,-,Trichophyton verrucosum,-,-
Trametes versicolor FP-101664 SS1
Eukaryota, Fungi, Dikarya, Basidiomycota, Agaricomycotina, -, Agaricomycetes, -, -, -, Polyporales, -, -, -
,Polyporaceae,-,-,-,Trametes,-,Trametes versicolor,-,-
uma
Ustilago maydis 521
Eukaryota, Fungi, Dikarya, Basidiomycota, Ustilaginomycotina, -, Ustilaginomycetes, -, -, -, Ustilaginales, -, -, -
,Ustilaginaceae,-,-,-,Ustilago,-,Ustilago maydis,-,-
ure
Uncinocarpus reesii 1704
Eukaryota, Fungi, Dikarya, Ascomycota, Pezizomycotina, -, Eurotiomycetes, Eurotiomycetidae, -, -, Onygenales, -, -
,-,Onygenaceae,-,-,-,Uncinocarpus,-,Uncinocarpus reesii,-,-
val
Verticillium alfalfae VaMs.102 (Verticillium albo-atrum VaMs.102)
Eukaryota, Fungi, Dikarya, Ascomycota, Pezizomycotina, -, Sordariomycetes, Hypocreomycetidae, -, -
"Glomerellales,-,-,-,Plectosphaerellaceae,-,-,-,Verticillium,-,Verticillium alfalfae,-,-
vda
Verticillium dahliae VdLs.17
Eukaryota, Fungi, Dikarya, Ascomycota, Pezizomycotina, -, Sordariomycetes, Hypocreomycetidae, -, -
,Glomerellales,-,-,-,Plectosphaerellaceae,-,-,-,Verticillium,-,Verticillium dahliae.-.-
vpo
Vanderwaltozyma polyspora DSM 70294
Eukaryota, Fungi, Dikarya, Ascomycota, Saccharomycotina, -, Saccharomycetes, -, -, -, Saccharomycetales, -, -, -
,Saccharomycetaceae,-,-,-,Vanderwaltozyma,-,Vanderwaltozyma polyspora,-,-
wic
Wallemia ichthyophaga EXF-994
Eukaryota, Fungi, Dikarya, Basidiomycota, Wallemiomycotina, -, Wallemiomycetes, -, -, -, Wallemiales, -, -, -,
,Wallemiaceae,-,-,-,Wallemia,-,Wallemia ichthyophaga,-,-
wse
Wallemia mellicola CBS 633.66 (Wallemia sebi CBS 633.66)
,Wallemiaceae,-,-,-,Wallemia,-,Wallemia mellicola,-,-
Yarrowia lipolytica CLIB122
```

Eukaryota,Fungi,Dikarya,Ascomycota,Saccharomycotina,-,Saccharomycetes,-,-,-,Saccharomycetales,-,-,-,Dipodascaceae,-,-,-,Yarrowia,-,Yarrowia lipolytica,-,
zmk

Zygotorulaspora mrakii NRRL Y-6702

Eukaryota,Fungi,Dikarya,Ascomycota,Saccharomycotina,-,Saccharomycetes,-,-,-,Saccharomycetales,-,-,-,Saccharomycetaceae,-,-,-,Zygotorulaspora,-,Zygotorulaspora mrakii,-,
zro

Zygosaccharomyces rouxii CBS 732

Eukaryota,Fungi,Dikarya,Ascomycota,Saccharomycotina,-,Saccharomycetes,-,-,-,Saccharomycetales,-,-,-,Saccharomycetaceae,-,-,-,Zygosaccharomyces,-,Zygosaccharomyces rouxii,-,
ztr

Zymoseptoria tritici IPO323

Eukaryota,Fungi,Dikarya,Ascomycota,Pezizomycotina,-,Dothideomycetes,Dothideomycetidae,-,-,Mycosphaerellales,-,-,-,Mycosphaerellaceae,-,-,-,Zymoseptoria,-,Zymoseptoria tritici,-,-

Referencias Bibliográficas

- Alcoba-Florez J, Mendez-Alvarez S, Cano J, Guarro J, Perez-Roth E, del Pilar Arevalo M: (2005) Phenotypic and molecular characterization of *Candida nivariensis sp.* nov., a possible new opportunistic fungus. J Clin Microbiol, 43:4107–4111.
- 2. Anderson HW. (1917). Yeast-like fungi of the human intestinal tract Journal of infectious diseases. 21 (341).
- 3. Anderson, S., Kurland, C. (1998) Reductive evolution of resident genomes. Trends Microbiol. 6(7):263-8.
- Arendrup MC, Perlin DS, Jensen RH, Howard SJ, Goodwin J, Hope W (2012) Differential in vivo activities of anidulafungin, caspofungin, and micafungin against *Candida glabrata* isolates with and without FKS resistance mutations. Antimicrob Agents Chemother 56:2435– 2442
- 5. Armour, J. A., R. Neumann, S. Gobert y A. J. Jeffreys. (1994). Isolation of human simple repeat loci by hybridization selection. Human Molecular Genetics. 3: 599-605.
- Bennett RJ, Forche A, Berman J. (2014) Rapid mechanisms for generating genome diversity: whole ploidy shifts, aneuploidy, and loss of heterozygosity. Cold Spring Harb Perspect Med. 2014;4:a019604
- Bishop JA, Chase N, Magill SS, Kurtzman CP, Fiandaca MJ, Merz WG: (2008). Candida bracarensis detected among isolates of Candida glabrata by peptide nucleic acid fluorescence in situ hybridization: susceptibility data and documentation of presumed infection. J Clin Microbiol, 46:443–446.
- 8. Bolotin-Fukuhara, M., Fairhead, C. (2014). Candida glabrata: a deadly companion? Yeast, Volume 31, Issue 8, p. 279-88.
- 9. Botstein, D., R. L. White, M. Skolnick y R. W. Davis. (1980). Construction of a genetic linkage map in man using restriction fragment length polymorphisms. American Journal of Human Genetics. 32: 314-331.
- 10. Boyle, B., Dallaire, N., MacKay, J. (2009). Evaluation of the impact of single nucleotide polymorphisms and primer mismatches on quantitative PCR. BMC Biotechnol. Aug 28; 9:75.

- 11. Breslauer, K., Frank, R., Blöcker, H. & Marky, L. (1986). Predicting DNA duplex stability from the base sequence. *Proceedings of the National Academy of Sciences, 83(11).* 3746–3750.
- 12. Brown, G., Denning, D., Gow, N., Levitz., Netea, M., White, T. (2012). Hidden killers: human fungal infections. Sci Transl Med. 4(165).
- 13. Brunke, S., Hube, B. (2013). Two unlike cousins: Candida albicans and Candida glabrata infection strategies. Cell Microbiol. 15(5):701-8.
- 14. Butler G, Rasmussen MD, Lin MF, et al. (2009). Evolution of pathogenicity and sexual reproduction in eight Candida genomes. *Nature*. 459:657–62
- 15. Capriotti, A. (1961). Torulopsis castelli sp. nov., a Yeast Isolated from a Finnish Soil. Microbiology. Volume 26, Issue 1.
- 16. Casadevall A, Fang FC, Pirofski L-A. (2011) Microbial virulence as an emergent property: consequences and opportunities. *PLoS Pathog.* 7:e1002136.
- 17. Casadevall, A., Coelho, C., Alanio, A., (2018) Mechanism of Cryptococcus neoformans-Mediated Host Damage. Front Immunol. 30:9:855.
- 18. Cheng, H. H. y L. B. Crittenden. (1994). Microsatellite markers for genetic mapping in the chicken. Poultry Science. 73: 539-546.
- 19. Cheng, H. H., I. Levin, R. L. Vallejo, H. Khatib, J. B. Dodgson, L. B. Crittenden y J. Hillel. (1995). Development of a genetic map of the chicken with markers of high utility. Poultry Science. 74: 1855-1874.
- 20. Compeau, Phillip E C; Pevzner, Pavel A; Tesler, Glenn (2011). «How to apply de Bruijn graphs to genome assembly». *Nature Biotechnology* 29 (11): 987-991.
- 21. Cormack, BP., Ghori, N., Falkow, S. (1999). An adhesin of the yeast pathogen *Candida glabrata* mediating adherence to human epithelial cells. Science 285 (5427).
- 22. Corradi, N., Slamovits, C., (2011). The intriguing nature of microsporidian genomes. Brief Funct Genomics. 115-24.
- 23. Correia A, Sampaio P, James S et al. *Candida bracarensis sp.* nov., a novel anamorphic yeast species phenotypically similar to Candida glabrata. International journal of systematic and evolutionary microbiology. (2006). 56(Pt 1):313–7
- 24. Corzo-León DE., Alvarado-Matute, T., Colombo, A., Surveillance of Candida spp bloodstream infections: epidemiological trends and risk factors of death in two Mexican tertiary care hospitals. PLoS One (2014) 12;9(5):e97325.

- 25. Cui, L., Morris, A., Ghedin, E. (2013) The human mycobiome in health and disease. Genome Med 30;5(7):63.
- 26. David LH. The magnitude of fungal diversity: the 1.5 million species estimate revisited. *Mycol. Res.* (2001). 105:1422–1432.
- 27. Diekema, D., Arbefeville, S, Boyken, L., Kroeger, J., Pfaller, M. (2012). The changing epidemiology of healthcare associated candidemia over three decades.
- 28. Dodgson, J. B., H. H. Cheng y R. Okimoto. (1997). DNA marker technology: a revolution in animal genetics. Poultry Science. 76: 1108-1114.
- 29. Domergue, R., Castaño I., De las Peñas, A., Zupancic, M., Lockatell, V., Hebel, R., Johnson, D., Cormack. (2005). Nicotinic acid limitation regulates silencing of *Candida* adhesins during UTI. Science. 308(5723).
- 30. Dujon, B., D. Sherman, et al. (2004). "Genome evolution in yeasts." Nature 430(6995): 35-44
- 31. Ehrlich, G., Hiller, L., Hu, F. (2008). What makes pathogens pathogenic. Genome Biol. 9(6):225.
- 32. Fanning S, Mitchell AP (2012) Fungal Biofilms. PLoS Pathog 8(4): e1002585.
- 33. Foulet, F., Nicolas, N., Eloy, O., Botterel, F., Gantier, J., Bretagne, S., (2005). Microsatellite Marker Analysis as a Typing System for *Candida glabrata*. Journal or Clinical Microbiology. 43(9): 4574-4579.
 - 32. Frías-De-León, MG., Hernández-Castro, R., Conde-Cuevas, E., García-Coronel, I., (2021). "Candida glabrata Antifungal Resistance and Virulence Factors, a Perfect Pathogenic Combination. Pharmaceutics 13 (10).
- 35. Gabaldón T., Martin T., Marcet-Houben M., Durrens P., Bolotin-Fukuhara M., Lespinet O., Arnaise S., Boisnard S., Aguileta G., Atanasova R., et al., (2013) Comparative genomics of emerging pathogens in the Candida glabrata clade. *BMC Genomics*. 14:623. doi: 10.1186/1471-2164-14-623.
- 36. Gabaldón, T., Carreté, L., (2016) The birth of a deadly yeast: tracing the evolutionary emergence of virulence traits in Candida glabrata. Fems Yeast Research, Volume, 16, Issue 2.

- 37. Ghannoum, M., Jurenvic, R., Mukherjee, P., Cui, F., Gillevet, P. (2010). Characterization of the oral fungal microbiome (mycrobiome) in healthy individuals.
- Goldstein, B. D. y C. Schlotterer C. (1999). Microsatellites evolution and applications. Oxford University Press, New York, 352pp.
- 39. Grimley, P., Wright, L, Jennings, A. Torulopsis glabrata infection in man. (1965). The American Journal of Clinical Pathology. Vol 43, num3.
- 40. Groot PW, Bader O, de Boer AD, Weig M, Chauhan N. Eukaryot Cell. (2013); 12:470-81.
- 41. Hagman A, Säll T, Compagno C, et al. (2013). Yeast "make-accumulate-consume" life strategy evolved as a multi-step process that predates the whole genome duplication. *PloS One*. 8:e68734.
- 42. Hancock, J. (1999). Microsatellites and other simple sequence: genomic context and mutational mechanisms. En: Goldstein D., Schlotterer C. (eds.). Microsatellites evolution and applications, Oxford University Press, New York, pp. 1-10.
- 43. Hazen, K., Hazen, B., Allietta, M., (1995) Cell wall anchoring to cytoplasmic membrane of Candida. FEMS Miocrobiol Lett. Jan 15; 125(2-3): 143-7.
- 44. Healey, K., Jimenez, C., Shor, E., Perlin, D. (2016). Genetic of multidrug resistance in Candida glabrata. Front Microbiol. 15;7:1995.
- 45. Ho, H., Haynes, K. (2015). *Candida glabrata*: new tools and technologies-expanding the toolkit. FEMS Yeast Res. 2015;15
- 46. Jeffreys, A. J., V. Wilson y S. L. Thein. (1985). Hypervariable «minisatelite» regions in human DNA. Nature. 314: 67-73.
- 47. Jones T, Federspiel NA, Chibana H, et al. (2004). The diploid genome sequence of *Candida albicans*. *P Natl Acad Sci USA*. 101:7329–34.
- 48. Kaur, R., Domergue, R., Zupancic, M., Cormack, B. (2005). A yeast by any other name: *Candida glabrata* and interaction with the host.
- 49. Kiasat, N., Rezaei-Matehkolaei, A., Mahmoudabadi, Ali., (2019). Microsatellite Typing and Antifungal Susceptibility of *Candida glabrata* Strains Isolated from Patients With *Candida Vaginitis*. Frontiers in Microbiology 10:1678.
- 50. Kumar K., Askari F., Sagar M., Kaur R. (2019) *Candida glabrata*: A lot more than meets the eye. Microorganisms 7 (2): 39.
- 51. Kuhn DM, Vyas VK FEMS Levadura Res. (2012); 12(4):398-414.

- 52. Kurtzman CP, Robnett CJ. (1991). Phylogenetic relationships among species of Saccharomyces, Schizosaccharomyces, Debaryomyces and Schwanniomyces determined from partial ribosomal RNA sequences. Yeast/Volume 7, Issue1/P.61-72.
- 53. Kurtzman CP, Robnett CJ. (1998). Identification and phylogeny of ascomycetous yeasts from analysis of nuclear large subunit (26S) ribosomal DNA partial sequences. Antonie Van Leeuwenhoek 73:331–71.
- 54. Kurtzman CP, Fell JW. (1998). The Yeasts, A taxonomic Study. 4th edition. London: Elsevier Science.
- 55. Kurtzman CP, Robnett CJ. (2003) Phylogenetic relationship among yeasts of the Saccharomyces complex determined from multigene sequence analyses. FEMS Yeast Research, Volume 3, Issue 4, June 2003, pages 417-432.
- 56. Kurtzman, CP., Fell JW., Boekhout, T., (2011) Methods for Isolation phenotypic characterization and maintenance of yeast. Yeasts 87-110.
- 57. Lafontaine I, Fischer G, Talla E, et al. (2004). Gene relics in the genome of the yeast *Saccharomyces cerevisiae*. *Gene*. 335:1–17
- 58. Landre P. A., D. H. Gelfand y R. H. Watson. (1995) The use of cosolvents to enhance amplification by the polymerase chain reaction. PCR Strategies. Academic Press, EE.UU., pp. 3-16.
- 59. Levin, I., L. Santagelo, H. Cheng, B. Crittenden y B. Dodgson. (1994). An autosomal genetic linkage map of the chicken. The Journal of Heredity. 85: 79-85.
- 60.Li, Y., Bao, W. (2007). Why do some yeast species require niacin for growth? Different modes of NAD synthesis. FEMS Yeast Res. 7(5):657-64.
- 61. Litt, M. y J. A. Luty. (1989). A hypervariable microsatellite revealed by in vitro amplification of a dinucleotide repeat within the cardiac muscle actin gene. American Journal of Human Genetics. 44: 397-401.
- 62. Lockhart, P., Brennan, M., Thornhill, M., Michalowicz, B., Sasser, H. (2009) Poor oral hygiene as a risk factor for infective endocarditis-related bacteremia. J Am Dent Assoc. 140(10).
- 63. Lockhart, S., Chowdhary, A., Gold, J., (2023) The rapid emergence of antifungal-resistant human-pathogenic fungi. Nature Reviews Microbiology. 21,818-832.

- 64. Lorenz, R., Bernhart, H., Stadler, P. Hofacker, I. (2011) ViennaRNA Package 2.0 Algorithms for Molecular Biology 6.
- 65. Luo, Z., van Vuuren, H., (2009) Functional analyses of *PAU* genes in *Saccharomyces cerevisiae*. Microbiology, Volume 155, Issue 12.
- 66. MacCallum, D., Castillo, L., Nather, K., Munro, C., Brown, A., Odds, F. (2009). Property Differences among the four major *Candida albicans* strain clades. Eukaryotic cell, p373-387.
- 67. McPherson, MJ, Quirke, P, Taylor R (eds) (1991): "PCR. A Practical Approach". Oxford: Oxford University Press.
- 68. Maillet L, Boscheron C, Gotta M, et al. (1996). Evidence for silencing compartments within the yeast nucleus: a role for telomere proximity and Sir protein concentration in silencermediated repression. *Genes Dev.* 10:1796–811
- 69. Marcet-Houben, M., Gabaldon, T. (2010). Acquisition of prokaryotic genes by fungal genomes. Trends Genet. 26(1):5.
- 70. Marcet-Houben M, Gabaldon T. (2015). Beyond the whole-genome duplication: phylogenetic evidence for an ancient interspecies hybridization in the Baker's yeast lineage. PLoS Biol. 13:e1002220.
- 71. Mason, K., Downward, J., Mason, K., Falkowski, N., Eaton, K., Kao, J., Young, V., Huffnagle, G. (2012). Infect Immun. 80(10): 3371-80.
- 72. Mayer, L., Wilson, D., Hube, B. (2013) *Candida albicans* pathogenicity mechanisms. Virulence, 119-128.
- 73. Miramón P., Lorenz, M., (2016). The SPS amino acid sensor mediates nutrient acquisition and immune evasion in *Candida glabrata*.
- 74. Moran, G., Stokes, C., Thewes, S., Hube, B., Coleman, D., Sullivan, D. (2004) Comparative genomics using *Candida albicans* DNA microarrays reveals absence and divergence of virulence- associated genes in *Candida dubliniensis*.
- 75. Moreira A, Silva S, Botelho C, et al. (2015). *Candida bracarensis*: evaluation of virulence factors and its tolerance to amphotericin B and fluconazole. Mycopathologia. 5–6:305–15.
- 76. Mülhlhausen, S., Kollmar, M. (2014). Molecular Phylogeny of Sequenced Saccharomycetes Reveals Polyphyly of the Alternative Yeast Codon Usage. Genome Biology and Evolution. Volume 6, Issue 12.

- 77. Mullis, K. B., F. Faloona, S. Scharf, R. Saiki, G. Horn y H. Erlich. (1986). Specific enzymatic amplification of DNA in vitro: the polymerase chain reaction. Cold Spring. Harb. Symp.Quant.Biol. 51: 263-273.
- 78. Oliveira E. J., J. G. Pádua, M. I. Zucchi, R. Vencovsky y M. L. Carneiro-Vieira. (2006). Origin, evolution, and genome distribution of microsatellites. Genetics and Molecular Biology 29: 294-307.
- 79. Pérez-García, L., Díaz-Jiménez, D., Mora-Montes, H., (2011) Role of Cell Wall Polysaccharides during Recognition of Candida albicans by the Innate Immune System. Glycobiology. Volime 1:
- 80. Pryszcz LP, Huerta-Cepas J, Gabaldón T. (2011). MetaPhOrs: orthology and paralogy predictions from multiple phylogenetic evidence using a consistency-based confidence score. *Nucleic Acids Res.* 39: e32.
- 81. Plaut, A. Human Infection with *Cryptococcus glabratus*. (1950) Report involving uterus and fallopian tube. American Journal of Clinical Pathology. Vol. 20. No.4. pp. 377-80.
- 82. Rai, M., Balusu, S., Kaur, R., (2012) Functional genomic analysis of Candida glabrata-macrophage interaction: role of chromatin remodeling in virulence. Plos Pathogens; 8(8).
- 83. Rodrigues CF, Silva S, Henriques M. (2014). *Candida glabrata*: a review of its features and resistance. *Eur J Clin Microbiol Infect Dis* 33:673–88.
- 84. Roetzer A, Gregori C, Jennings AM et al (2008) Candida glabrata environmental stress response involves *Saccharomyces cerevisiae* Msn2/4 orthologous transcription factors. Mol Microbiol 69(3):603–620
- 85. Russell, DW., (2001). Molecular Cloning: A Laboratory Manual. 3^a ed. Ed Cold Spring Harbor Laboratory Press. Nueva York. USA. 2344.
- 86. Sambrook, J., Fritsch, E., Maniatis, T. (1989). Molecular cloning: a laboratory manual. 2ed. New York: Cold Spring Harbor Laboratory Press.
- 87. Takashima, M., Sugita, T., (2022) Taxonomy of Pathogenic Yeasts *Candida*, *Cryptococcus*, *Malassezia*, and *Trichosporon*. Med. Mycol. J. 63, 119–132.
- 88. Tsai, H., Krol, A., Bennett, J., (2006) Candida glabrata PDR1, a transcriptional regulator of a pleiotropic drug resistance network, mediates azole resistance in clinical isolates and petite mutants. Antimicrobial Agents Chemotherapy; 50(4):1384-92.

- 89. Tautz, D. y C. Schlotterer. (1994). Simple sequences. Current Opinion in Genetics and Development. 4: 832-837
- 90. Untergasser A, Cutcutache I, Koressaar T, Ye J, Faircloth BC, Remm M and Rozen SG. 2012. Primer3 new capabilities and interfaces. Nucleic Acids Research 40(15): e115.
- 91. Vale-Silva, L y Sanglard D. (2017). Comparative Genomics of Two Sequential *Candida glabrata* Clinical Isolates: 2413-2426
- 92. Vallone, P., Butler, J., (2004) AutoDimer: a screening tool for primer-dimer and hairpin structures. Biotechniques, Vol.37, No 2.
- 93. Vance, J. F. y K. M. Othmane. (1998). Methods of genotyping. In: Haines, J.L., Pericak-Vance, M.A. eds. Approaches to gene mapping in complex human diseases. A John Wiley & Son, Inc., Publication. NY. pp 213-228.
- 94. Vanhala, T., M. Tuiskula-Haavisto, K. Elo, J. Vilkki y A. MakiTanila. (1998). Evaluation of genetic variability and genetic distances between eight chicken lines using microsatellite markers. Poultry Science. 77: 783-790.
- 95. Vignal, A., Milan, D., San Cristobal, M., Eggen, A. (2002). A review on SNP and other types of molecular markers and their use in animal genetics. Genetics Selection Evolution. 34, 275.
- 96. Wallace, B., Shaffer, J., Murphy, R.F., Bonner, J., Hirose, T., Itakura., (1979) Hybridization of synthetic oligodeoxyribonucleotides to Φ X 174 DNA: the effect of single base pair mismatch. Nucleic Acids Research, Volume 6, Issue 11, pages 3543-3558.
- 97. Warren, T. A. McTaggart, L. Richarson, S. Zhang. (2010) Candida bracarensis Infection in an Immunoconpromised Patient. Journal of Clinical Microbiology. 48(12) 4677-4679.
- 98. Weber, J. L. y P. E. May. (1989). Abundant class of human DNA polymorphism which can be typed using the polymerase chain reaction. Am. J. Hum. Genet. 44: 388-396.
- 99. Wolfe, K., Shields, D. (1997). Molecular evidence for ancient duplication of the entire yeast genome. Nature. 387(6634):708.
- 100. Wu, Z., Irizarry, R., Martínez-Murillo, F., (2004) A Model-Based Background Adjustment for Oligonucleotide Expression Arrays. Journal of the American Statistical Association. Volume 99, -Issue 468.
- 101. Xu, Z., Green, B., Benoit, N., Schatz., Wheelan, S., Cormack, B. (2020). De novo genome assembly of *Candida glabrata* reveals cell wall protein complement and structure of

dispersed tandem repeat arrays. Molecular Microbiology, Volume 113, Issue 6, p. 1029-1224.